

الفصل الرابع

انعراج الأشعة السينية في البلورات

١- الأشعة المستخدمة لدراسة البلورات:

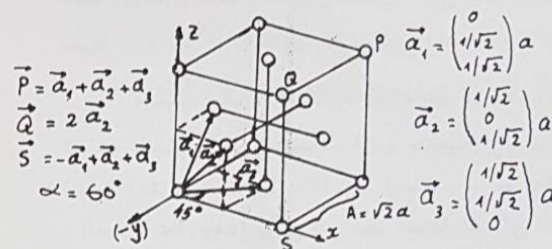
معدل المسافة بين ذرات المادة الصلبة من رتبة الالكتروم ($\text{Å} = 10^{-8}$ سم) لهذا فلدراسة المادة الصلبة وسبر غورها تتمعمل اشعاعات ذات أطوال أمواج من نفس مرتبة المسافة بين الذرات (10^{-8} سم). وبنتيجة تفاعل هذه الاشعاعات مع ذرات المادة فانها تنبع (diffracted) وتتدخل (Interference) مع بعضها مكونة صورة (مخطط) انبعاج (diffraction pattern) يعتمد على طبيعة تركيب بلورة المادة، معنى هذا أن بالامكان استخدام البلورات لبيان معرفة قوانينه نستطيع تحديد حجم الخلية الاولية، موقع أنوية الذرات، توزيع الالكترونات داخل الخلية الاولية ... الخ، أي تحديد التركيب الداخلي للبلورات.

ويدرس تركيب البلورات باستخدام انبعاج الأشعة السينية (الفوتونات) والنيوترونات والالكترونات. وزاوية الانبعاج تعتمد بصورة أساسية على التركيب البلوري للبلورة المحدثة للانبعاج وعلى طول موجة الأشعة المستخدمة.

ندرس الآن مسألة طاقة الفوتونات والالكترونات والنيوترونات من أجل أن تكون أطوال موجتها من رتبة المسافة بين ذرات البلورات.

* معنى هذا اليمكن استخدام الضوء المرئي ($\lambda \sim 5000 \text{ \AA}$) لدراسة التركيب الداخلي للبلورات الموجات الصلبة بطريقة الانعراج.

معنى هذا أنه إذا كانت الأشعة المستخدمة ذات طول موجي صغير جداً (أصغر بكثير من الانكليزية)، فإن زاوية الانعراج تكون صغيرة جداً بحيث يصعب قياسها عملياً.



شکل تمرین 6 ب

جـ- الاشعة الاساسية للشبكة $6cc$ هي ثلاثة أشعة فضائية:

$$\vec{a}_1 = \frac{a}{2}(\vec{j} + \vec{k} - \vec{i}), \quad \vec{a}_2 = \frac{a}{2}(\vec{k} + \vec{i} - \vec{j}), \quad \vec{a}_3 = \frac{a}{2}(\vec{i} + \vec{j} - \vec{k})$$

متاوية في الطول $\frac{\sqrt{3}a}{2}$ (حيث a طول ضلع المكعب - الخلية الاصطلاحية)

والزاوية بين كل اثنين منها تساوي θ حيث :

$$\cos \theta = \frac{\vec{a}_1 \cdot \vec{a}_2}{|a_1| |a_2|} = -\frac{1}{3}$$

وأشعة الشبكة الثلاثية التي تتساوى الزوايا بين كل اثنين منها θ (حيث $\frac{1}{3} = \cos \theta$) تتطبق على أشعة الانسحاب الأساسية للشبكة b_{CC} ولكن أطوالها متساوية وتساوي a . لذلك فهي تحدد خلية أساسية للشبكة b_{CC} ولكن طول ملتها $\frac{2a}{\sqrt{3}}$ ، أي أنها باختيار معين للإحداثيات $(x - y - z)$ نستطيع صياغة أشعة الشبكة الثلاثية بالصورة : $(1 - 2 + 2z, 2 - 2 + 2z, \frac{2}{\sqrt{3}}) = (a, a, \frac{a}{\sqrt{3}}) = \vec{a}$ ، $(a, a, \frac{a}{\sqrt{3}}) = \vec{a}$. وهذه الأشعة هي نفس أشعة b_{CC} . معنى هذا أن الشبكة المحددة بالأشعة $\vec{a}, \vec{a}, \vec{a}$ أعلاه هي شبكة مكعبة b_{CC} .

حيث λ - طول الموجة المواكبة لحركة الالكترون مقاسة بالانكسنومات، و E - طاقته الحركية مقاسة بالالكترون فولت. ولكي تكون λ متساوية الى انكسنوم واحد يجب أن تكون طاقة الالكترون متساوية الى 150 الكترون - فولت تقريباً، اي يتحرك بسرعة 7×10^6 متر / ثانية تقريباً.

وبسبب امتلاك الالكترونات لشحنة كهربائية فهي تتفاعل بشدة مع ذرات المادة المكونة من جسيمات أولية مشحونة . وبسبب هذا التفاعل الشديد تضعف قابلية اختراق الالكترونات للمواد (وذلك بالنسبة لقابلية اختراق الاشعة السينية - الفوتونات). وهذا يؤدي الى صغر ميافحة اختراق الالكترونات لبلورات المواد، لذلك تستعمل الحزم الالكترونية في دراسة التركيبات البلورية (من طريق ظاهرة الانبعاث) لافلام المواد الرقيقة ($5 \text{ m}\mu\text{m}$) التي سماها بحدود 1000 \AA . اوردة سطوح البلورات السميكة .

النيوترونات: تستخدم نفس صيغة المعادلة (4 - 4) لحساب طول الموجة المواكبة لحركة النيوترون في حرزته بعد استعمال كتلة النيوترون ($m_n = 1.67 \times 10^{-27} \text{ كجم}$). اي :

$$\lambda_n = \frac{2\pi h}{\sqrt{2m_n E}} \quad (4 - 4)$$

ومن أجل λ تساوي انكسنوم واحد فإن طاقة النيوترون تساوي 0,08 الكترون فولت تقريباً. ان هذه الطاقة القليلة هي من رتبة الطاقة الحرارية في درجة حرارة المختبر (20°C). ولهذا السبب تدعى هذه النيوترونات بالحرارية (thermal neutrons).

وبسبب امتلاك النيوترونات الى عزم مغناطيسي خاص بها لذلك فهي تتفاعل بشدة مع الکترونات الذرة التي تسبب الخصائص المغناطيسية للمادة المكونة منها.

* الطاقة الحرارية توصف بالكمية K حيث K هو ثابت بولتزمان و T - درجة الحرارة المطلقة .

الأشعة السينية (x -rays) : طول موجة الأشعة السينية (λ) يحدده طاقة فوتونها (E) طبقاً للمعادلة المعروفة .

حيث $\lambda = \frac{h}{E}$ (1 - 4) . ثابت بلانك ($\frac{h}{2\pi} = 6.62 \times 10^{-34} \text{ جول. ثانية}$) و E - التواتر الزاوي ($E = 2\pi c$ حيث c - التواتر). وحيث يرتبط التواتر الزاوي مع طول الموجة بالعلاقة $\lambda = \frac{2\pi c}{E}$ حيث c - سرعة اية موجات كهرومغناطيسية (الضوء والأشعة السينية) في الفراغ $c = 3 \times 10^8 \text{ متر/ ثانية}$. اذن:

$$\lambda = \frac{2\pi c}{E} \quad (2 - 4)$$

حيث يحسب طول الموجة بالانكسنوم (\AA) والطاقة بالكيلو الکترون - فولت (keV). لذلك نرى أنه من أجل أن تكون λ في الحدود (0.4 \AA الى 1.2 \AA) يجب أن تكون طاقة الفوتون (او طاقة الاشعة السينية) في الحدود (10 الى 50 كيلو الکترون فولت). ونذكر أن هذا العدد من طاقات الأشعة الكهرومغناطيسية يمثل مدى الأشعة السينية، وسنعود لهذه الملاحظة .

الالكترونات: طول الموجة المواكبة .

للألكترون المتحرك في حركة بسرعة v تعطى العلاقة دوبروييل:

$$\lambda = \frac{h}{p} \quad (3 - 4)$$

حيث p - كمية حركة (اندفاعة) الالكترون وتساوي $p = m_e v$ حيث m_e - كتلة الالكترون . وباستخدام العلاقة المعروفة $\frac{p^2}{2m_e} = E$ الرابطة بين الطاقة الحركية للألكترون E واندفاعه p نحصل على :

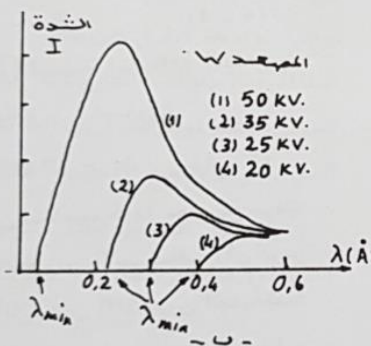
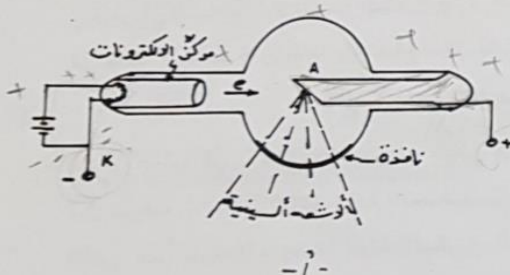
$$\lambda_e = \frac{2\pi h}{\sqrt{2m_e E}} \quad (4 - 4)$$

لذلك تستخدم الحزم النيوترونية أساساً في دراسة تركيب البلورات المغناطيسية وكذلك تستخدم في دراسة البلورات اللامغناطيسية لأن النيوترونات الحرارية تتفاعل مع أنوية ذرات هذه المواد.

الفصل الحالي مخصص أساساً لدراسة انبعاث الأشعة السينية في البلورات لذلك سنركز على معرفة هذه الأشعة: مصادرها، طاقاتها، أمتصاصها، قوانين انبعاجها ... الخ.

2 - إنتاج الأشعة السينية

تنتج الأشعة السينية عن عملية تصادم حزمة الالكترونات مع هدف (Target) صلب وذلك في جهاز خاص معد لهذا الغرض. والشكل (4 - 1) يوضح تخطيطياً جهازاً عاماً لإنتاج الأشعة السينية. وهو يتكون أساساً من شعيرة (Filament) تصنع عادة التنكستن W وهي تطلق الالكترونات عند تسخينها. أثناء مرور التيار الكهربائي فيها حسب ظاهرة الإشعاع الكهروحراري (Thermoelectric effect). وهذه الالكترونات تُعجل تحت تأثير فرق الجهد المسلط بينقطبين كهربائيين: السالب (-) المتصل بالشعيرة والموجب المتصل بالمصد (أو الهدف A). وحزمة الالكترونات تتركز عند مرورها بقطب معدني أسطواني مرکز. والمصد (الهدف)



شكل (4 - 1)

يصنع عادة من معادن ثقيلة (W ، Cu ، Pt ، W ، ... الخ). وأثناء تصادم الالكترونات مع المصعد فإنها تتحرك فيه مسافة صغيرة جداً وتفقد طاقتها الحركية. أغلب طاقتها (بحدود 97 %) تتحول إلى حرارة مما يؤدي إلى ارتفاع كبير في درجة

فرق الجهد ΔV . ان هذه الاستنتاجات التقليدية قد تنطبق بشكلها العام مع النتائج العملية عدى وجود بعض الاختلافات التي لا يمكن تفسيرها في اطار هذه النظرية.

والشكل (4 - 1 ب) يبين منحنيات توزيع شدة E الاشعة السينية من معدن التكستن W كهدف، مع طول الموجة (λ - 1) مستحملة لقيم مختلفة لفرق الجهد ΔV . ويفسر منها تطابقا عاما مع استنتاجات النظرية التقليدية. ولكن الاختلاف الواضح عن هذه النظرية هو تفسير أن المنحنيات (λ - 1) لا تبدأ من مبدأ المحاور بل تقطع المحور E عند قيم معينة λ_{min} (تعتمد على ΔV)؛ مما يعني هنا لا يوجد اشعاع طول موجته λ أقل من λ_{min} (الموافقة لفرق جهد معين). وتفسر هذه الحالة يعالج من قبل نظرية الميكانيكا الكمية في الاشعاع E فإذا كان الاشعاع ناتجا عن الطاقة المفقودة من قبل الالكترون المتباطيء، فإن طاقة الاشعاع E لا يمكن أن تكون أكبر من طاقة الالكترون الابتدائية E_0 ، أي

$$E \leq E_0 \quad (4 - 8)$$

لهذا فإن تردد الاشعاع بدورة لا يمكن أن يتتجاوز القيمة $E = \frac{hc}{\lambda}$ أو أن طول الموجة المشعة لا يمكن أن تكون أقل من λ_{max} حيث:

$$\lambda_{max} = \frac{2\pi c}{w_{max}} = \frac{(2\pi k c / e)}{E} \quad (4 - 9)$$

$$\lambda_{max} = \frac{12390}{E} \quad (4 - 7)$$

والنتائج العملية تبين أن كمية اشعاع التباطؤ (E_{th}) للأشعة السينية (وبالتالي الشدة العظمى) تتوقف على:

* في النظرية الكمية، الشدة هي عدد الفوتونات المارة خلال وحدة المساحة في وحدة الزمن، أما الطاقة فهي تمثل طاقة فوتون واحد لزام.

حرارة المصعد، لذلك يبرد هذا الاخير باستهلاك طاقة الماء أو الزيت الذي يسخن عبر قنوات خاصة محفورة فيه.

عند تسليم فرق الجهد ΔV (في حدود 50 كيلو فولت) بين المصعد A والمبهج (أو الشعيرة) K، فإن كل الالكترون سيخسر طاقة حركية مقدارها ΔV عند وصوله إلى المصعد. وعند دخوله إلى داخل مادة المصعد فإنه سيغادر تباططاً (deceleration)، وهذا الاعدام يسمى اشعاع التباطؤ أو الاستيقاف (Bremsstrahlung). واستطاعة (قدرة) هذا الاعدام P تناسب طردا مع مربع الشحنة (e^2) ومربع التباطؤ (ΔV^2):

$$P \sim e^2 \Delta V^2 \quad (4 - 6)$$

وبفرض أن التباطؤ لا يتغير طيلة الفترة الزمنية (Δt) لعملية استيقاف الالكترون في مادة المصعد فإن طاقة الاشعاع خلال فترة الاستيقاف تساوي:

$$E = \frac{1}{2} P \Delta t = \frac{1}{2} e^2 \Delta V^2 \Delta t \quad (4 - 7)$$

أي أن طاقة كل اشعاع الكهرومغناطيسي من الالكترون تناسب طردا مع مربع سرعته قبل شروقها بالدخول داخل مادة المصعد ΔV وعكسا مع زمن الاستيقاف (Δt). الزمن اللازم حتى يتوقف (وطبقا لهذه النظرية التقليدية أعلاه) فإن الالكترون المتباطئ يشع موجات كهرومغناطيسي بكل أطوال الامواج من الصفر حتى الانهائية! ويقل مقدار طول موجة اشعاع بزيادة سرعة الالكترون v وبالتالي بزيادة

* الشحنة المتتسعة أو المتباطئة تكون دائما مصدررا لاشعاع موجات كهرومغناطيسي استطاعتتها متناسبة مع مربع التباطؤ أو التسارع ΔV .

فروقات الطاقة بين سويات الطاقة (Energy levels) للالكترونات الداخلية للذرات الثقيلة ل المادة المصعد تكون كبيرة ، وبالتالي فـي انتقال الكتروني بينها يكون مصحوباً باشعاع أشعة ذات طاقة لا h كبيرة - أكبر من طاقة الضوء المرئي، أي اشعاع سيني.

فالالكترون ذو الطاقة العالية عند اصطدامه بذرات مادة المصعد فإنه يقوم

فالإلكترون ذو الطاقة العالية عند اصطدامه بذرات مادة المصعد فإنه يقوم باخراج الكترون الطبقة L لذرة المصعد (أو الكترون الطبقة L) أو الكترون الطبقة M (أو الكترون الطبقة M). وعند اخراج هذا الإلكترون فإنه يترك مكانه فارغا وبالتالي فإن الكترونا من الطبقة الأعلى الثانية L ($E = h\nu_2$) أو الثالثة M ($E = h\nu_3$)... الخ سيسقط إلى الطبقة K ليحتل مكان هذا الإلكترون وهكذا .. حتى تمتلأ الطبقة مرة ثانية. وأثناء سقوط هذا الإلكترون لطبقة أخف (طاقيا) يصدر اشعاعا كهرومغناطيسيا يتبعين توافره بواسطة الفرق بين سويات الطاقة $\Delta E = E_K - E_L$ ، وفروق الطاقة هذه بحالة الإلكترونات الداخلية أكبر من فروق الطاقة التي تعطي الطيف المرئي. وتتعزز توافرات فروق الطاقة للإلكترونات الداخلية في جزء الطيف الذي يدعى بالأشعة السينية. هكذا تفسر الخطوط المميزة لطيف الأشعة السينية . ولتدقيق التفسير أعلاه ، نرسم مستويات طاقة أية ذرة من ذرات المصعد

(الهدف) كما في الشكل (٤ - ٣) حيث نلاحظ :

- عند اخراج الكترون المدار الاول (الطبقة μ) فان الكترونا من الطبقة λ و λ' و λ'' ... الخ، سيسقط الى الطبقة μ ليحل مكان هذا الالكترون، فتصدر بذلك أشعة سينية نسميها سلسلة μ عناصرها تسمى حسب مصدر انتقال الالكترون أي حسب زيادة تردد الاشعاع بالاحرف μ ، λ ، λ' ... الخ اي أن سلسلة μ

- (١) درجة حرارة الشعيرة، وبالتالي عدد الالكترونات المتحركة منها وبالتالي تيار أنبوبة الاشعة السينية (٢).

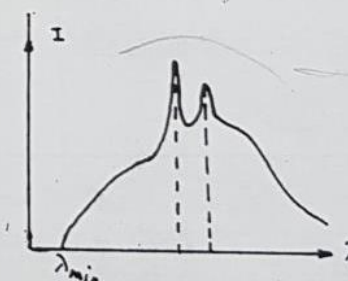
- (2) مربع جهد المصعد (L)
 (3) العدد الذري لمادة الهدف Z

الشاعر التميمي

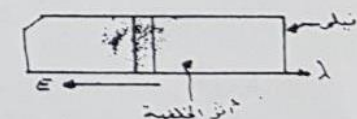
$$I_{ph} \sim izu^2$$

ويستحصل عملياً على الاشعة السينية الاستيقافية من تيار الالكترونات (الواقع تحت جهد في حدود 50 كيلو فولت) القاصل لهدف من مادة ثقيلة (W و Pt و Co و Fe و ...).

وبزيادة سرعة الالكترونات القاصفة يمكن أن تظهر أشعة سينية أخرى (غير أشعة الاستيقاف) ناتجة عن تهيج ذرات مادة المصعد ويسقط بالاشعاع السيني المميز (characteristic) لنوع ذرات مادة المصعد. وبالتالي ستحصل على طيف متكون من تراكب نوعين من الأشعة السينية. أشعة التباطؤ التي لا تعتمد على نوع مادة المصعد وطيفها مستمر ويدعى بالخلفية (Background)، والأشعة السينية المميزة الصادرة عن ذرات مادة المصعد وطيفها متقطع نتيجة لمصدرها الذري: كما هو موضح في الشكل (4 - 2). وظيف الأشعة السينية هذه المسجل على



(2 - 4) شکل



151

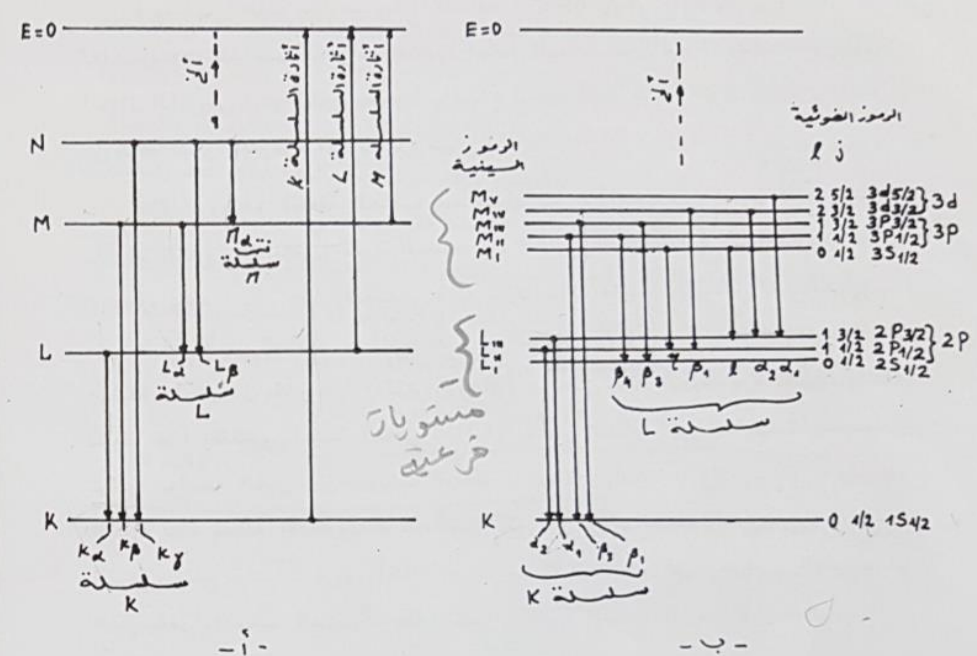
ولقد لوحظ تجريبياً أن أي خط طيفي من خطوط سلسلة ما يتكون من خطين دقيقين منفصلين أو أكثر. نسمى هذه حالة الترکيب الدقيق (Fine Structure). وهذه الحالة متأتية من أن سوي الطاقة L و M و ... الخ منقسم، في الواقع، طيفياً إلى عدة سويات طاقة فرعية (Sublevels) كما هو موضح في الشكل (4 - ب). علوصف الترکيب الدقيق للطيف يستخدم مخطط مخطط سويات الطاقة الفرعية. سوي الطاقة الفرعية يوصف بقيمة الاعداد الكمية (L, M, J) . وعلى هذا الأساس يوصف سوي الطاقة بالرمز الضوئي $|LMJ\rangle$ مثلاً وهو يمثل $J = \frac{3}{2}$ ، $M = \frac{3}{2}$ ، $L = \frac{3}{2}$ وبالرمز M_L المستخدم في دراسة الاعمدة السينية. وهذا كله موضح في الشكل (4 - ب) حيث يتبيّن أن "الخط" K مثلاً متراكب من خطين متباورين M_K و $M_{K''}$ ناتجان عن الانتقال من L_{II} و L_{III} إلى K على التوالي (طاقة K أكبر من طاقة L بقليل). والانتقال بين سويات الطاقة الفرعية يتم طبقاً لقواعد الاصطفاء.

(Selection rules):

$$(10 - 4) \quad \Delta L = 0, \pm 1, \quad \Delta M_L = 0, \pm 1, \quad \Delta M_K = 0, \pm 1$$

حيث Δ يمثل التغير. والانتقالات المسموحة بها أي التي لا تخالف قواعد الاصطفاء تختلف، بحسبها البعض حسب احتمالية الانتقال التي استجدها آينشتاين.

* تسمى (L, M, J) على التوالي بالأعداد الكمية الرئيسية، السمتين أو المداري، المداري الكلي. ولقيمة معينة M يأخذ J القيم $(h-1), h, h+1, \dots, h+L$. نرمز بالحروف K, L, M, J ... الخ. لتمثيل الأعداد $M = 0, 1, 2, \dots, L$ على التوالي وبالحروف $S, P, D, \dots, \text{الخ}$. لتمثيل الأعداد $J = 0, 1, 2, \dots, L$ على التوالي.



شكل (4 - 3)

تحتوي على الخطوط الطيفية $K, M, L, \dots, \text{الخ}$.

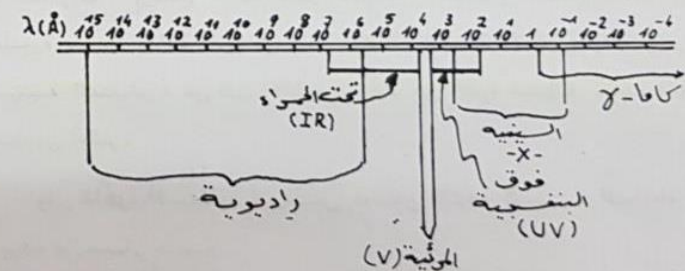
- بنفس الشيء يقال عند اخراج الكترون المدار الثاني (الطبقة L)، حيث تصدر سلسلة L المتكونة أيضاً من الخطوط M, L, M, L, \dots, L ... الخ.

- وهكذا لدينا أيضاً سلسلة M, L, M, L, \dots, M ... الخ).

والجدول التالي يبين طول موجة بعض خطوط الأشعة السينية (\AA):

العنصر	K_{α_1}	K_{β_1}	K_{α_2}	L_{α_1}
Al (13)	8,3392	8,3367	7,981	—
Cr (24)	2,2935	2,2896	2,0848	—
Fe (26)	1,93991	1,93597	1,7565	—
Co (27)	1,7927	1,7889	1,6207	—
Cu (29)	1,5443	1,5405	1,3922	13,357
Mo (42)	0,7135	0,7092	0,6323	5,4063
La (57)	0,3753	0,3707	0,3279	2,6651
W (74)	0,2138	0,2089	0,1843	1,4763

ونذكر بأن عملية اخراج الالكترون e مثلاً من ذرة مادة الهدف يمكن احداثها ليس فقط باصطدام الكترونات سريعة بل وباصطدام فوتون أشعة سينية ملائمة من منبع عند ذلك تسمى الأشعة السينية المترددة عن ذرة الهدف بالأشعة المترددة. وأخيراً نذكر بأن الأشعة السينية كأشعة كهرومغناطيسية يمكن أن تدرج في الطيف العام للاشعة الكهرومغناطيسية الموضح في الشكل (4 - 4).



شكل (4 - 4)

3 - امتصاص الأشعة السينية :

الشكل (4 - 5) يوضح مرور حزمة متوازية لأشعة سينية شدتتها I_0 ، خلال مادة

"متخصصة" لها سمكها منتظم x وكثافتها ρ gm/cm^3 .

بعد مرور الأشعة السينية خلال المتصص فان شدتتها

تنقص نحو القيمة I ($I_0 > I$). وتحقق

العلاقة التالية :

$$(11 - 4) \frac{dI}{I} = -\mu dt$$

أي أن النقصان بشدة الأشعة خلال مرورها بسمك x

شكل (4 - 5) من المادة المتخصصة يتاسب مع الشدة I من المادة المتخصصة

والسمك x . ثابت التناوب μ يسمى المعامل الخطى الامتصاصى

(linear absorption coefficient) وحداته (cm^{-1}). والإشارة

السابقة تبين أن الشدة في حالة تناقص خلال مرور الأشعة بال المادة المتخصصة . لو

كانت μ غير معتمدة على x فان تكامل المعادلة (4 - 11) من I_0 إلى I عند

تغير السمك من الصفر الى x هو :

$$(12 - 4) I = I_0 e^{-\mu x}$$

معامل الامتصاص يحسب عملياً من المعادلة (4 - 12). ونميز أربعة صيغ لمعامل الامتصاص :

(1) معامل الامتصاص الخطى μ : يعطى مقدار الامتصاص لوحدة المساحات لوحدة السمك من المادة المتخصصة:

$$(13 - 4) \mu = \frac{\ln(I_0/I)}{x} \quad \text{سم}^{-1}$$

(2) المعامل الكتلي للامتصاص (m) (mass-absorption Coefficient)

وعلى فرض استعمال μ تأخذ المعادلة (4 - 12) الشكل التالي:

$$(14 - 4) \quad I = I_0 e^{-\frac{\mu}{\rho} \cdot \lambda^2}$$

حيث (μ/ρ) يقاس بوحدات $\text{غ}/\text{سم}^2$. ونرمز بالرمز μ/λ أو μ/λ^2 لليشير إلى معامل الامتصاص لعنصر معين λ . وحيث أن μ/λ^2 يعتمد على طول موجة الأشعة السينية، لذلك يستخدم رمز آخر هو μ/λ^2 أو λ^2/μ لإشارة إلى المعامل الكثلي لامتصاص عنصر معين عدده الذري λ للأشعة السينية ذات الطول λ .

ولمعرفة علاقة μ/λ^2 كدالة لطول الموجة λ ينبغي مسبقاً معرفة سبب نقصان شدة الأشعة السينية عند مرورها خلال المادة. فأشعة الحرارة المارة خلال المادة تفقد جزءاً من شدتها للأسباب التالية: حدوث الظاهرة الكهرومagnetostatic وحدوث ظاهرة Auger ، وحدوث ظاهرة استطارة الأشعة وخروجها من الحزمة. للظاهرتين الأولى والثانية يكون فقدان فوتونات الأشعة السينية حقيقياً. وهذه الفوتونات المفقودة تتعرض كلها من قبل الكترونات ذرات المادة الممتصة. ونتيجة لذلك ينطلق الكترون الذرة من أحد مداراته، فيصاحب ذلك تزول "الكترونا من المدارات" الأعلى ليحل محل اللكترون المنطلق، فتشعر عندئذ أشعة سينية متفلورة مميزة لمادة الممتص (غير الأشعة السينية الأصلية). وقد تتصدى هذه الأشعة السينية المتفلورة من قبل اللكترون آخر في الذرة لينطلق بعيداً عنها ويدعى الكترون Auger.

وفي ظاهرة الاستطارة لا يتمتص فوتون الأشعة السينية الساقطة حقيقة بل ينحرف عن مسار حزمته.

والظاهرة الكهرومagnetostatic هي المترتبة (أي أكثر من فقدان عن طريق الاستطارة)

يعطي مقدار الامتصاص لوحدة المساحة لوحدة كتلة المادة الممتصة:

$$(14 - 4) \quad \mu_m = \frac{\mu}{M} \cdot \rho \text{ (م}^2/\text{غم)}$$

(3) المعامل الذري للامتصاص (μ_a):

يعطي مقدار الامتصاص لوحدة المساحة لذرة واحدة:

$$(15 - 4) \quad \mu_a = \frac{\mu}{N_{Av}} \cdot \frac{A}{\rho^2}$$

حيث A - الكتلة المولية - غ/مول، N_{Av} - عدد أفوئادرو $6,02 \times 10^{23}$ ذرة/مول و ρ - عدد الذرات، لكل غرام.

(4) المعامل المولي للامتصاص (μ_m):

يعطي مقدار الامتصاص لوحدة المساحة لمول واحد من المادة الممتصة:

$$(16 - 4) \quad \mu_m = \frac{\mu}{M} \cdot \frac{A}{\rho^2}$$

والمعادلات الأربع مرتبطة بعضها بالعلاقة التالية:

$$(17 - 4) \quad \mu_m = \mu_a \cdot \rho = \mu_a \cdot (N_{Av}/A)$$

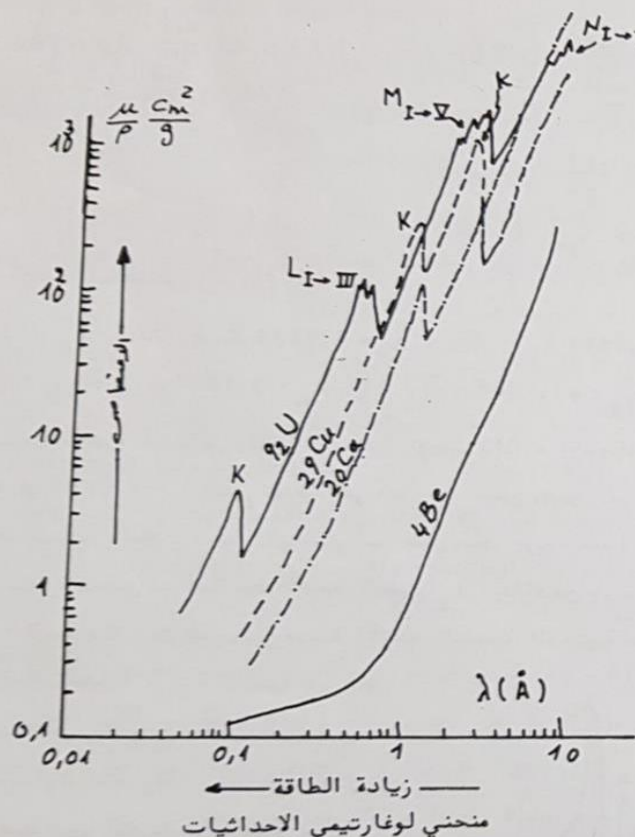
ومن هذه المعاملات يستعمل μ_a بكثرة. وهو خاصية ذرية ويعتمد فقط على طول موجة الأشعة وعلى العدد الذري للمادة الممتصة بغض النظر عن طور تلك المادة. فامتصاص خليط الاوكسجين والهيدروجين أو الماء أو الثلج متساوي في كل الحالات*. لهذا السبب يستخدم μ_a (وليس μ_m). ومعامل الامتصاص μ_m للمركب أو للسائل أو الخليط من العناصر A، B، C ... الخ يعطي بالعلاقة:

$$(18 - 4) \quad \mu_m = W_A \left(\frac{\mu}{\rho} \right)_A + W_B \left(\frac{\mu}{\rho} \right)_B + \dots = \sum_k W_k \left(\frac{\mu}{\rho} \right)_k$$

* هذه الخاصية لا تتمتع بها الأشعة المرئية أو تحت الحمراء أو فوق البنفسجية.

وذلك للعناصر الخفيفة (كالبيريليوم 28) ولموجات الأشعة السينية القصيرة جداً.

لهذا، عموماً، نقول بأن منحنى علاقة $\frac{d^2\mu}{d\lambda^2}$ مع λ يكون معمداً ويحتوي على ما يسمى بحافات الامتصاص (Absorption edges) كما هو موضح في الشكل (4 - 6). وعلى العموم يلاحظ نقصان الامتصاص بتنقصان طول الموجة. وهذا متوقع لأن زيادة طاقة الأشعة السينية يزيد من قابليتها على اختراق المواد. والتقاطعات في المنحنى (حافات الامتصاص) تبين وصول طاقة فوتون الأشعة السينية إلى حد بامكانه (عند امتصاصه من قبل اللكترون) أن يطلق الكترون K (الذى نسمى الحافة K) أو L₁ أو L₂ أو L₃ (الذى نسمى الحافة L₁ أو L₂ أو L₃ على التوالي)... الخ. عندئذ يزداد الامتصاص بشكل حاد مما يؤدي إلى ظهر حافات الامتصاص. واللكترون المنطلق هو الكترون الظاهرة الكهروضوئية.



شكل (4 - 6)

4 - انعراج الأشعة السينية - شرط بраг:

اكتشف بраг (Bragg) في العام 1913 بأن حزمة الأشعة السينية الوحيدة اللون (أي ذات طول موجي معين λ) الساقطة باتجاه معين على بلورة معينة، تتشتت بحيث تظهر لوحة التشتت هذه نهايات عظمى لشدة الأشعة السينية المستشدة أو المنعرجة. (وهذه النهايات العظمى تسمى حالياً باعكاسات بраг). وظهور هذه النهايات العظمى لا يلاحظ دائمًا. بل يستوجب تحقق شرط يسمى شرط بраг.

ولتفسير ملاحظاته العملية افترض بраг احتواء البلورات على مستويات ذرية متوازية فاصلتها d . وظروف حدوث النهاية العظمى لشدة الأشعة المنشطة تستوجب ما يلي:

- (1) تنعكس الأشعة السينية عن المستويات الذرية المتوازية حسب قوانين الانعكاس في المرايا أي أن زاوية السقوط تساوي زاوية الانعكاس.
 - (2) لا تنعكس كل الحزمة الساقطة عن أول مستوى ذري عاكس بل ينعكس جزءاً فقط من شدة الحزمة الساقطة، والجزء المتبقى يتوقف أكثر داخل البلورة لينعكس جزء آخر منه عن المستوى العاكس الثاني المواري للأول، وهكذا. لذلك فإن الأشعة ستخترق لتصل حتى طبقات عميقة داخل البلورة مخترقة آلاف المستويات البلورية المتوازية.
 - (3) الأشعة المنعكسة عن المستويات الذرية المتوازية المجاورة تتدخل مع بعضها تداخلاً بناءً (تداخل تقوية).
- والشكل (4 - 8) يبين انعكاس الأشعة السينية الساقطة عن مستويين ذريين بطريقة الانعكاس المعايير. فوق المسار بين الشعاعين يساوي $d = 2 \sin \theta / \lambda$ حيث θ - زاوية السقوط (الزاوية بين الشعاع الساقط والمستوى العاكس).

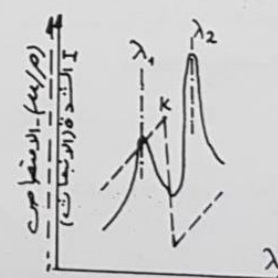
وأخيراً نذكر بعض قيم $(\frac{\mu}{\rho})_{2,\lambda}$ لبعض العناصر عند أطوال أمواج معينة :

4Be	: 0,13	$\frac{cm^2}{gm}$	(0,15 Å)	${}^{13}Al$: 0,19	$\frac{cm^2}{gm}$	(0,15 Å)
	: 0,53	$\frac{cm^2}{gm}$	(1 Å)		: 13,5	$\frac{cm^2}{gm}$	(1 Å)
${}^{26}Fe$: 0,5	$\frac{cm^2}{gm}$	(0,15 Å)				
	: 92,36	$\frac{cm^2}{gm}$	(1 Å)				

وحفافات الامتصاص :

$$Al (\lambda_K = 7,9511 \text{ Å}), Fe (\lambda_K = 1,7433 \text{ Å}), Ni (\lambda_K = 1,4880 \text{ Å}) \\ Cu (\lambda_K = 1,3804 \text{ Å}), \lambda_{L_{II}} = 13,2887 \text{ Å}, Ag (\lambda_K = 0,4858 \text{ Å}), \lambda_{L_{II}} = 3,6983 \text{ Å}$$

وستستخدم ظاهرة امتصاص الأشعة السينية وجود حفافات الامتصاص بصناعة المرشحات (Filters) التي تهدف إلى فصل خط سيني معين (ذو طول موجة معين) من الخطوط السينية المجاورة له (أي التي لها طول موجة قريب منه). وستطرق إلى المرشح البسيط : نسعى لدراسة خط الأشعة السينية λ_2 وذلك عن طريق ترشيحه من الخط λ_1 القريب منه. عند ذلك تمرر حزمة الأشعة السينية المحتوية على الخطين



شكل (4 - 7)

امتصاصاً قليلاً في منطقة الطول الموجي λ_2 للخط المطلوب مروره أو دراسته. وكل الخطوط λ_1 أو القريبة منها تمتلك بشدة من قبل المرشحة.

وزاوية انعكاس براغ (زاوية براغ) تفاص بالصورة الموضحة في الشكل (4 - 8) أي أنها تساوي نصف الزاوية بين اتجاه الأشعة السينية الساقطة واتجاه الأشعة المنعكسة .

أول ملاحظة من شرط برااغ هو كون $d \leq \lambda$ ، حيث أن d في حدود 1 \AA ادن $2\text{ \AA} \leq \lambda$ وهذا الشرط يتحقق لأشعة السينية .

عند تحقق الشرط (4 - 20) لطول موجي معين λ ولغاصلة معينة d ، نحصل على انعكاس برااغ عند الزاوية θ . ولكننا نستطيع أن نحصل على انعكاس برااغ عند الزاوية θ_1 ، θ_2 ، θ_3 ... التي تتحقق المعادلات :

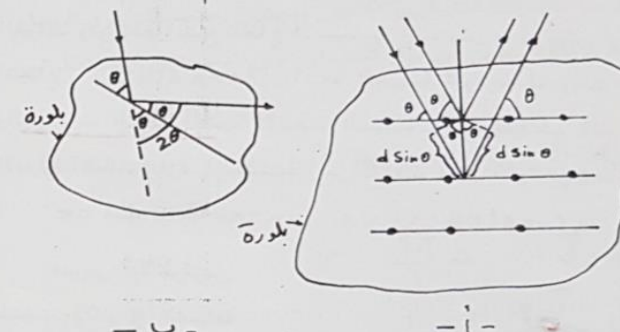
$$(21 - 4) \quad \sin \theta_1 = \frac{\lambda_1}{2d_1}, \quad \sin \theta_2 = \frac{\lambda_1}{d_1}, \quad \sin \theta_3 = \frac{3\lambda_1}{2d_1}, \quad \dots$$

أي أن رتبة الانعكاس تدخل بقوة في المعادلة (4 - 20) . ولكننا يجب أن نؤكد بأن زاوية السقوط تساوي زاوية الانعكاس أي أن الحصول على المرتبة الثانية للانعكاس يتطلب تغيير زاوية السقوط إلى θ_2 وكذلك زاوية الانعكاس إلى θ_2 . ونؤكد، دفعاً للالتباس، خطأ تصور وجود زاوية سقوط واحدة معينة والحصول على انعكاسات بزوايا مختلفة تبعاً للمرتبة .

ان العلاقة (4 - 20) تبين أن حزمة الأشعة السينية الوحيدة اللون λ التي تسقط على بلورة ما بزاوية ما θ (بصورة عامة) قد لا تتعكس . ولكن يتحقق قانون برااغ لابد من تغيير λ أو θ . فتغير λ و θ في مجال كبير يمكن أن يعطي معلومات لابد منها لوضع صورة واضحة عن البنية البلورية .

و عند سقوط حزمة سينية بيضاء (وهي حزمة لها طيف (أو مدى) مستمر من أطوال الأمواج المختلفة) على بلوره فاننا نلاحظ انعكاسات برااغية كثيرة ومختلفة . ولتفسير ظهورها يمكن تصور البلوره مكونة من مجاميع كثيرة مختلفة من المستويات البلورية

ولكي يتدخل هذان الشعاعان تداخلا بناء (تداخل التقوية) يجب أن يساوي فرق



شكل (4 - 8)

المسار \hat{c} إلى أعداد كاملة لطول موجة الأشعة الساقطة λ أي أن :

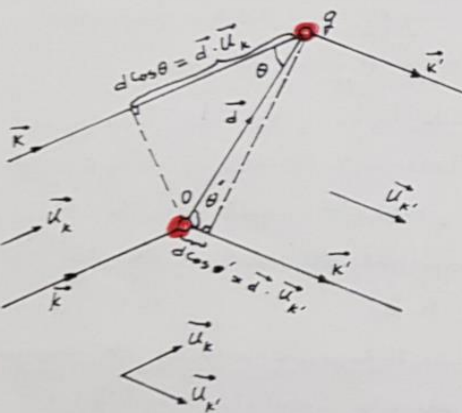
$$(20 - 4) \quad 2d \sin \theta_1 = n \lambda$$

حيث n - عدد صحيح يسمى مرتبة الانعكاس عن المستوى البلوري . وتسمى المعادلة (4 - 20) بشرط برااغ لحدوث نهاية عظمى لشدة الأشعة المنعجة أو شرط انعكاس برااغ .

$$\sin \theta_1 = \frac{n \lambda}{2d_1}$$

5 - انعراج الاشعة السينية - تفسير لاوي:

اعتبر لاوي (1921) البلورة مكونة من عناصر مجهرية متباينة (ذرة أو مجموعة ذرات - أيونات) موزعة على عقد شبكة برافي للبلورة. هذه العناصر المتباينة هي القواعد وتوزيعها يتبع شعاع الانسحاب \vec{R} . وكل عنصر يمكن أن يشتت (أو يعيد اشعاع *Renradiate*) الأشعة السينية الواردة له وذلك في جميع الاتجاهات. والنهيات العظمى لشدة الأشعة المشتتة تلاحظ فقط في تلك الاتجاهات ولذلك أطوال الأمواج المستطرارة (المشتتة) من كل عقد الشبكة والتي يحدث بينها تداخل بناء (constructive interference).



شكل (4 - 10)

وهو يساوي $\frac{2\pi}{\lambda} = \frac{\vec{k}}{k}$ حيث \vec{k} - وحدة الشعاع \vec{k} و λ - هو طول الموجة المستطرارة الذي يساوي طول الموجة الواردة (أي لا يتغير طول الموجة عند الاستطرارة،

ندرس أولاً مركزين للتشتت (0 و 0') المسافة بينهما a تكتب شعاعياً كـ كما في الشكل (4 - 10).
شعاع الموجة السينية الساقطة $\vec{k} = \frac{2\pi}{\lambda}$ حيث μ - وحدة الشعاع \vec{k} ، λ - طول الموجة الشعاع السيني الساقط أو الوارد من مصدره . ونفرض أن \vec{k} هو شعاع الموجة المستطرارة في اتجاه معين (محدد بالزاوية θ)

المتوازية العاكسة، هذه المجاميع تختلف فيما بينها بالفواصل a وبكتافة الذرات كما في الشكل (4 - 9). هذه المجاميع تقوم بأحداث انعكاسات براغية عند تحقق الشرط (4 - 20) لكل منها. فمثلاً للفترة المكعبية حيث:

$$d_{hkl} = \frac{a}{(\sqrt{h^2 + k^2 + l^2})^{1/2}}$$

نجد:

$$(22-4) \quad \frac{2a \sin \theta_{hkl}}{\sqrt{h^2 + k^2 + l^2}} = n \lambda$$

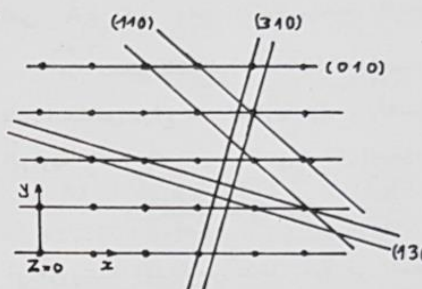
وللمرتبة الأولى نجد زاوية براغ التالية:

$$\sin \theta_{111} = \sqrt{3} \lambda / 2a$$

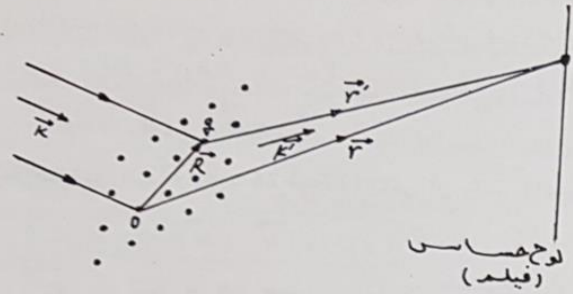
حيث θ_{111} - زاوية سقوط الأشعة وانعكاسها عن المستوى البلوري (111).

فتتحديد الزاوية θ_{111} عملياً (ومعرفتها)

يمكن حساب طول موجة الشعاع λ (الموجود ضمن الحزمة البيضاء) المنعكس. وعلى الأسس أعلاه تستخدم الأشعة السينية في دراسة التركيب البلوري للمواد. ولكن شرط براغ يحدد الفاصلة بين المستويات ولا يتطرق إلى مواقعها. لذلك نحتاج إلى معادلات أخرى (غير شرط براغ) لدراسة التركيب البلوري.



شكل (4 - 9)



شكل (4 - 11)

بعيد، أي أن بعد اللوح عن البلورة المدروسة أكبر بكثير من أبعادها وبالتالي فإن $\frac{1}{R} \ll \frac{1}{d}$ وأن $\frac{1}{R} \approx \frac{1}{d}$ على وجه التقرير الجيد. وال نقطة m هي أحد نقاط اللوح التي تمثل النهاية العظمى للشدة، وموقعها على اللوح يتحدد باتجاه \vec{k} اللازم حدوث التداخل البناء. وشرط حدوث التداخل البناء لكل الأشعة المنعرجة عن كل عقد الشبكة هو تحقق المعادلة (4 - 25) لكل قيمة k في نفس الوقت. وطالما أن عقد الشبكة مزاحة عن بعضها البعض بالأشعة R ، لذلك يمكن تعميم المعادلة (4 - 25) وكتابة شرط التداخل البناء بالصورة:

$$R = 2\pi m \quad (4 - 26)$$

وذلك لـ كل الأشعة R و m - عدد صحيح. أن الشعاع \vec{k} يتحقق الشرط (4 - 26) إذا تحقق، في نفس الوقت المعادلات الثلاثة التالية:

معنى هذا لا يتغير التردد وبالتالي لا تتغير طاقة فوتون الأشعة، وتسمى الاستطارة هنا مرنة elastic). الموجات المستطارة عن المركزين 0 و \vec{k} في الاتجاه \vec{k} تتدخل فيما بينها. وقد يكون هذا التداخل بناءً في بعض الاتجاهات \vec{k} (أول البعض قيم الزاوية θ). عندئذ ستكون الأشعة المحادة في تلك الاتجاهات نهايات عظمى للشدة. وشرط تداخل التقوية (أو التداخل البناء) بين موجتين يعتمد على فرق المسار Δ بينهما. ومن الشكل (4 - 10) يتبيّن أن فرق المسار بين الموجتين المستطارتين في الاتجاه \vec{k} هو:

$$\Delta = \vec{k}_1 - \vec{k}_2 = |\vec{k}_1 - \vec{k}_2| \quad (23-4)$$

وفرق الطور يساوي :

$$\varphi = \frac{2\pi}{\lambda} \Delta = \vec{k}_1 \cdot \vec{d} - \vec{k}_2 \cdot \vec{d} \quad (24-4)$$

$$\varphi = \vec{d} \cdot (\vec{k}_1 - \vec{k}_2)$$

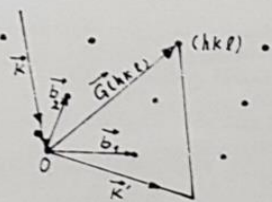
حيث $\vec{k}_1 - \vec{k}_2 = \vec{\Delta}$. وشرط التداخل البناء هو أن يكون فرق المسار عدداً محيحاً لطول الموجة:

$$2\pi m = \vec{d} \cdot \vec{\Delta} \quad (25-4)$$

حيث m - عدد صحيح. وينتاج عن الشرط (4 - 25) أن التداخل البناء يحدث باتجاهات معينة للأشعة المنعرجة.

نعم أعلاه ليشمل كل عقد الشبكة المدروسة (أو كل مراكز التشتت)، أي كل عقد شبكة برافي المحددة بمعجمه الموقع R بالنسبة لـ عقدة "0" من عقد الشبكة وذلك كما في الشكل (4 - 11). حيث تستلم لوحة الانعراج على لوح حساس (فيلم)

* وقد يكون $\vec{k}_1 - \vec{k}_2 = \vec{\Delta}$. أن هذا يعتمد على Δ التي في وضع آخر للمركزين 0 و \vec{k} تساوي $(\vec{k}_1 - \vec{k}_2) \cdot \vec{d} = \Delta$.



$$\vec{k} = \vec{G} - \vec{\kappa}, \text{ فهذا لا يوثر}$$

على معنى الشرط

شكل (4 - 12)

سعة الموجة المنعرجة: نفرض أن الموجة الكهرومغناطيسية المنعرجة عن المركز "O" - مبدأ المحاور - وذلك في النقطة M (الشكل 4 - 11) تعطى باللغة الرمزي لل المجال الكهربائي المكون لها:

$$E_{sc}^{wt} = E_0 e^{j\omega t}$$

عندئذ تعطى الموجة المنعرجة عن العقدة M وذلك في نفس النقطة M العلاقة:

$$(30-4) \quad E_{sc}^{wt} = E_0 e^{j\omega t} = E_{sc}^R \cdot e^{j\omega t} + E_{sc}^L \cdot e^{j\omega t}$$

حيث $\vec{R} \cdot \vec{\Delta k} = 0$. انظر المعادلة (4 - 25) بعد ابدال \vec{R} بالشعاع \vec{R} وهو شعاع موقع العقدة M بالنسبة لمركز المحاور المنطبق على العقدة "O". والموجة الكلية المنعرجة عن جميع عقد الشبكة وذلك في النقطة M هي:

$$(31-4) \quad E_{sc}^{wt} = \sum_{n_1, n_2, n_3} E_{sc}^R \cdot e^{j\omega t} + \sum_{n_1, n_2, n_3} E_{sc}^L \cdot e^{j\omega t}$$

ويتم الجمع على كل عقد الشبكة المحددة بالشعاع R . وسعة الموجة الكلية تساوي:

$$(27-4) \quad \vec{a}_1 \cdot \vec{a}_2 \cdot \vec{a}_3 \cdot \vec{\Delta k} = 2\pi h \quad \vec{a}_1 \cdot \vec{a}_2 \cdot \vec{\Delta k} = 2\pi l$$

وهذه تسمى معادلات لاوي للانسلاخ. حيث h و k و l هي أعداد صحيحة تتحقق المعادلة $h = n_1 + n_2 + n_3$ وحيث n_1, n_2, n_3 تتحقق المعادلة $\vec{R} = n_1 \vec{a}_1 + n_2 \vec{a}_2 + n_3 \vec{a}_3$.

ان شرط التداخل البناء (4 - 26 أو 27) يمكن أن يكتب، بالصورة التالية:

$$(28-4) \quad \exp(j\vec{R} \cdot \vec{\Delta k}) = 1$$

لأن $1 = e^{j2\pi m}$ ، m - عدد صحيح . وبمقارنة المعادلة (4 - 28) مع (2 - 17) المحددة للأشعة الأساسية للشبكة الم-inverse، يتضح أن شرط حدوث التداخل البناء (أي حل معادلات لاوي) هو :

$$(29-4) \quad \vec{\Delta k} = \vec{G} \quad , \quad \vec{G} = \vec{k}' - \vec{k}$$

ومن هنا يتضح شرط التداخل البناء وهو ضرورة تساوي التغير بشعاع الموجة نتيجة الانسلاخ مع أحد أشعة الشبكة الم-inverse حيث :

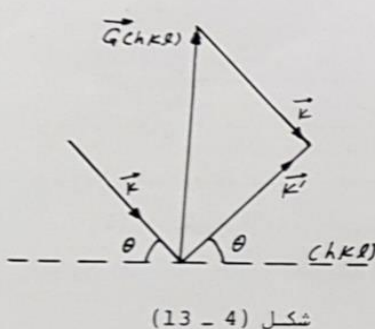
$$\vec{G} \cdot \vec{R} = 2\pi m = 2\pi (h n_1 + k n_2 + l n_3) \quad \text{لـكي يكون } \vec{G} = h \vec{b}_1 + k \vec{b}_2 + l \vec{b}_3$$

وبما أن عقد الشبكة الم-inverse هي رؤوس الأعمدة على المستويات البلورية، وبما أن الشعاع $(h \vec{b}_1 + k \vec{b}_2 + l \vec{b}_3)$ عمودي على المستوى $(h k l)$ لذلك فإن الأعداد الصحيحة h, k و l في معادلات لاوي هي بالذات قرائن ملر للمستويات البلورية.

والمعادلة الشرط (4 - 29) موضع في الشكل (4 - 12) الذي يبين عقد شبكة م-inverse (ML) بدلالة قرائن ملر $(h k l)$ لمستويات الشبكة المباشرة. مع العلم أن الشرط $\vec{G} = \vec{\Delta k}$ يمكن أن يكتب $\vec{G} = \vec{k}' - \vec{k}$ أو

٦٠ - تكافؤ شرط براج وشرط لاوي :

• يمكن استنتاج تكافؤ تفسيرات براغ ولاوي لانعراج الأشعة السينية في البلورات من علاقة الشعاع الاساسي للشبكة المعاكسة ومجموعة المستويات، البلورية . من الحقائقين الضروريتين للتدخل البناء بطريقة لاوي:



(13 - 4) شکل

يُصمم الشكل (4 - 13). ومن هذا يمكن استنتاج أن الشعاعين \overrightarrow{hkl} و $\overrightarrow{k'}$ يشكلان نفس الزاوية مع المستوى (hkl) العمودي على الشعاع $(h'kl')$. لهذا يمكن النظر إلى الانعراج بطريقة لاوي كعملية انعكاس، مآتى عن المستويات

البلورية المتوازية العمودية على (hkl) . مثل هذا الانعكاس افترضه بраг . ولتبين أن مثل هذا الانعكاس يحقق معادلة بраг (4 - 20) نوضح أولاً أن شعاع الشبكة المعاكسة \vec{G} يكون أكبر بعدد صحيح من المرات من الشعاع \vec{G}_0 حيث $G = G_0 \frac{2\pi}{d_{hkl}}$ أصغر شعاع للشبكة المعاكسة بوازي \vec{G} ويتحقق المعادلة $\frac{2\pi}{d_{hkl}} = G_0$ ، أي أن فاصلة المستويات المتوازية العمودية على \vec{G} أو \vec{G}_0 ، أي أن :

(35-4) حيث n - عدد صحيح . ومن الشكل (4 - 13) يتبيّن أن :

حيث ٤١ - عدد صحيح . ومن الشكل (١٣ - ٤) يتبيّن أن :

$$(36-4) \quad k \sin \theta = \frac{n\pi}{d_{hkl}}$$

$$\therefore \text{اذن} : G(hkl) = 2K \sin \theta$$

$$k \sin \theta = \frac{n\pi}{d_{bulk}}$$

$$(32-4) \quad A_{\Delta k} = \sum_{n_1, n_2, n_3} e^{-iR \Delta k}$$

تتغير الارقام ٦، ٣، ٥، ٧ من ٥ الى ١٧ عند وجود ٣ خلية أساسية في الشبكة (٩١، ٩٢، ٩٣ عقدة). وهذه السعة تبلغ أقصى قيمة لها عندما $G = \Delta$ حيث يساوي كل عضو من أعضاء المعادلة $(4 - 32)$ القيمة الواحدة(١).

والسعة الكلية العظمى التي تساوي مجموع الأعضاء تساوي :

$$A_{\max} = A_G = \sum_{n_1=0}^{N-1} \sum_{n_2=0}^{N-1} \sum_{n_3=0}^{N-1} e^{j \frac{2\pi}{N} (n_1 i + n_2 j + n_3 k)}$$

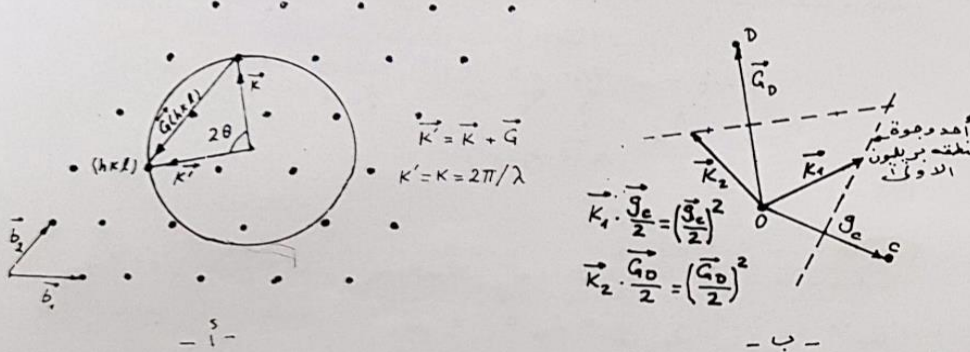
$$(33 - 4) \quad A_G = n^3$$

وهكذا فإن القيمة العظمى لشدة الموجات المتداخلة عند ρ التي عندها يحدث التداخل البنا، تساوى $I = A_G A_G^* = \pi^6$.

. I =

اعتماد السعة الكلية A_{hk} على Δk يبيّن أن أي تغيير قليل لـ Δk عن القيمة Δ يؤدي إلى هبوطها (وبالتالي هبوط الشدة) بشكل كبير. عذّل يمكن القول بأن السعة A وبالتالي الشدة I تساوي صفرًا في كل مكان عدا المنطقة الصغيرة جداً المحيطة بالموقع المحدد بالمعادلة الشرط $\Delta = \Delta_k$ والتي عندما تبلغ أعظم قيمة لها. برهان ما تقدّم يعتمد على اجراء حل المعادلة (4 - 32) والتي ترکها للتطبيقات في نهاية الفصل.

الساقطة على البلورة المدروسة . يرسم في فضاء الشبكة المعكosa (الفضاء - \mathbb{K}) كرّة (تُسمى كرّة الانعكاس) مارّة في العقدة " ٥ " ومركزها منطبقاً على بداية الشعاع \vec{k} أي أن نصف قطرها $\frac{2\pi}{\lambda}$ كما في الشكل (٤ - ١٤) .



شكل (٤ - ١٤)

بصورة عامة ، لا يمر سطح هذه الكرّة بأية عقدة أخرى عدا العقدة " ٥ ". ولكن عند تحقق شرط لاوي تقع على سطح هذه الكرّة عقدة أخرى (حدّاداتها) (في الفضاء \mathbb{K}) هي (hKl) . الشعاع الرابط بين العقدتين هو شعاع الشبكة المعكosa (hKl) . وطبقاً للمعادلة (٤ - ٣٨) نحدد اتجاه الموجة المنعرجة \vec{k} المحقق لشرط التداخل البناء ، أي استنتاج وجود انعكاس براغي عن مجموعة المستويات ، المتوازية (في الشبكة المباشرة) العمودية على (hKl) كما هو موضح في الشكل (٤ - ١٤) حيث تعيّن حدّاديات الشبكة المعكosa (hKl) على أساس محاورها الرئيسية $(\vec{G}, \vec{G}_D, \vec{K})$.

وحيث أن $\frac{2\pi}{\lambda} = \mathbb{K}$ ، لذلك نحصل على معادلة براغ . لهذا فإن القيمة العظمى للانعراج بطريقة لاوي تقابل أو تعني انعكاس براغي من مجموعة مستويات ذريّة (الشبكة المباشرة) عمودية على الشعاع \vec{G} . ومرتبة انعكاس براغ n تساوي طول الشعاع \vec{G} مقسوماً على طول أصغر شعاع للشبكة المعكosa \vec{G} الموازي للشعاع \vec{G} .

٧ - بناء أيوالد (Ewald construction)

عمل أيوالد بناءً هندسياً يستخدم النتائج التجريبية في توزيع القيم العظمى لمخطط انعراج الأشعة السينية لغرض الحصول على التركيب البلوري للمواد .

وبناء أيوالد يعتمد على حقيقةين :

(١) استطارة الأشعة السينية من قبل الذرات تتم بصورة مرنة ، أي أن طاقة الفوتون (أو طاقة الأشعة السينية) لا تتغير أثناء الاستطارة :

$$(37-4) \quad \vec{h} = \vec{n} \times \vec{s} = \vec{n} \times \vec{h}_{\text{س}} = \vec{h}_{\text{س}}$$

حيث \vec{n} ، \vec{s} = توافر الأشعة قبل وبعد الاستطارة . ومنه نجد أن $\vec{h}_{\text{س}} = \vec{h}$ أو $\vec{h} = \vec{h}_{\text{س}}$ - عدم تغير قيمة شعاع الموجة .

(٢) شروط التداخل البناء هو شرط لاوي :

$$(38-4) \quad \vec{\Delta K} = \vec{G} + \vec{K}' = \vec{G} + \vec{K}$$

وبناء أيوالد يتلخص فيما يلي : يفترض تركيب بلوري معين للبلورة المفوصة - أي المستحصل على مخطط انعراج الأشعة السينية عنها ، ثم تتم الشبكة المعكosa لها . وتؤخذ احدى عقدتها كمركز للشبكة المعكosa " ٥ " منطبقاً على رأس الشعاع \vec{k} للموجة الساقطة : طول الشعاع $\frac{2\pi}{\lambda}$. وأتجاهه هو نفس اتجاه الأشعة السينية

* يغيّر الافتراض عند عدم تطابقه مع النتائج العملية .

وباستعمال \vec{G} كشعاع اختياري أكبر من \vec{R} يمكن تصميم حدود مناطق بريليون الثانية والثالثة ... الخ كالشعاع \vec{G} في الشكل (4 - 14 ب).

8 - عامل البنية (Geometrical structure factor)

لقد رأينا أن المعادلة $\frac{1}{e^{(\vec{R} \cdot \vec{G})}}$ توضح شرط حدوث التداخل البناء للأشعة السينية المنعرجة عن شبكة بلورية على أساس أن مراكز التشتت هي العقد. ولكن كل من هذه العقد تمثل حقيقة قاعدة التركيب البلوري. لذلك تتوقع اعتماد النهایات العظمى لشدة الموجة المنعرجة (انعكاسات براغ) على تركيب القاعدة أي على أسلوب تداخل الأشعة المستطرارة عن ذرات القاعدة. وبالتالي تعتمد النهاية العظمى للشدة على عدد وتوزيع الذرات في الخلايا الأولية.

نأخذ عقدة ما من عقد الشبكة "O" ونعتبرها مبدأ لقياس أشعة الأنسحاب، أي نعين موقع آية عقدة أخرى \vec{R} بالشعاع \vec{R} . والعقدة \vec{R} بدورها تعتبر مبدأ لقياس أشعة موقع ذرات القاعدة (المستعرض عنها بالعقدة \vec{R}) أو \vec{L} حيث نتغير من 1 إلى 5 (عدد الذرات التابعة لأية عقدة من عقد شبكة برافي). وعند دخال التشتت عن ذرات التركيب البلوري تتحول المعادلة (4 - 32) إلى الصورة التالية:

$$A_{hk} = \sum_{j=1}^5 \sum_{l=1}^5 f_j \cdot f_l \cdot e^{-(\vec{R} + \vec{R}_{jl})^2 / 2K} \quad (4 - 39)$$

حيث f_j يسمى عامل التشتت الذري ويعتمد على خواص التركيب الإلكتروني للذرة

ويشار لهذا الانعكاس بالأرقام (4 - 38).

لهذا أصبح شرط حدوث الانعكاس (وبالتالي شرط التداخل البناء) هو تمويض عقدة الشبكة المعاكسة على سطح كرة أيوالد. إن عدم حصول مثل هذا التمويض (أي انعدام وجود التداخل البناء، أو انعدام ظهور بقعة الانعراج على اللوح الحساس) يعتمد على قيمة واتجاهها وكذلك على نوع الشبكة المدرسة.

منطقة بريليون: نقوم باستخراج العلاقة بين حدود منطقة بريليون الأولى وشرط انعراج الأشعة السينية ، يمكن كتابة شرط الانعراج بالصورة:

$$\frac{\vec{G}}{2} = \frac{\vec{R}}{2} - \frac{\vec{R}_{jl}}{2} \quad (4 - 38 ب)$$

حيث استعملنا \vec{G} بدلاً من \vec{R} لأن كليهما أشعة للشبكة المعاكسة المتناظرة أقلاباً. ونستطيع استعمال الشعاع \vec{R} في المعادلات، أعلاه كأصغر أشعة للشبكة المعاكسة. نقيم متوايا عمودياً على \vec{R} من منتصفه (المستوى العمودي على \vec{R} في الشكل 4 - 14 ب)، عندئذ أي شعاع \vec{R} يقع "رأس" على هذا المستوى ومبدأ منطبق على مبدأ الشبكة المعاكسة المختار سوف يحقق شرط الانعراج. عندئذ نقول أن هذا المستوى المقصم بهذا الأسلوب، هو أحد حدود منطقة بريليون الأولى. معنى هذا أن حدود منطقة بريليون تتحقق شرط الانعراج.

شعاع الشبكة المعاكسة له طول محدد واتجاه محدد بالنسبة للمحاور البلورية للعينة البلورية المدرسة. والشعاع السيني الساقط على العينة سوف، ينبع فقط عندما تتحقق قيمة واتجاه شعاعه الموجي (4 - 38 ب)، والشعاع المنعرج ينتشر في اتجاه الشعاع $\vec{R} + \vec{R}_{jl}$.

وأخير، نقول أن منطقة بريليون تحدد حسب العلاقة (4 - 38 ب).

$$(41-4) \quad F_G = \sum_{j=1}^s f_j e^{i(\vec{r}_j \cdot \vec{G})}$$

الكمية \vec{F}_G تسمى عامل بنية القاعدة (أو ببساطة عامل البنية) وتبيّن مقاييس نقصان شدة انعكاس براغ ($h\vec{k}$) الناتج عن ذرات التركيب البلوري وذلك بالنسبة لقيمتها عند اعتبار مراكز الاستطارة هي عقد الشبكة فقط، أي بدون ادخال القواعد في الحساب.

و الآن تصوّر المعادلة (41 - 4) بدالة مركبات الأشعة الموجودة فيها. نحدد موقع الذرات \vec{r}_j في وحدة التركيب البلوري على أساس المحاور المنطبقة على أحرفها ونعتبر هذه المحاور أساسية $\vec{a}_1, \vec{a}_2, \vec{a}_3$. فإذا كانت خلية الشبكة الاولية المكافئة لوحدة التركيب البلوري بعد ابدال القواعد بالعقد غير أساسية فتعتبرها أساسية اعتماداً على المبدأ السابق من أنها تكون شبكة مع قواعد عقدية. عندئذٍ :

$$(42-4) \quad \vec{r}_j = x_j \vec{a}_1 + y_j \vec{a}_2 + z_j \vec{a}_3$$

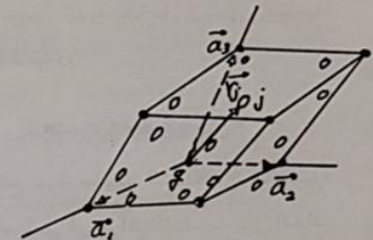
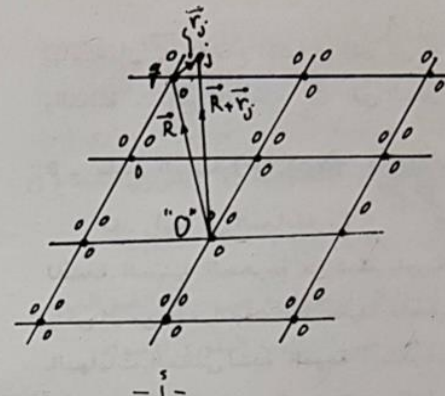
حيث $x_j < 0, y_j < 0, z_j < 0$ كما في الشكل (4-15). والشعاع \vec{G} المبني على أساس الأشعة $\vec{b}_1, \vec{b}_2, \vec{b}_3$ التي يدورها مستقرة من الأشعة $\vec{a}_1, \vec{a}_2, \vec{a}_3$ هو :

$$\vec{G} = h\vec{b}_1 + k\vec{b}_2 + l\vec{b}_3$$

والجاء السلمي $\vec{G} = x_j \vec{a}_1 + y_j \vec{a}_2 + z_j \vec{a}_3$ يستنتج اعتماداً على المعادلة (2-20) لتجد أخيراً :

$$(43-4) \quad F_G = \sum_{j=1}^s f_j e^{i(\vec{r}_j \cdot \vec{G}) + 2\pi h(x_j + y_j + z_j)}$$

حيث h و k و l هي معاملات ملر محسوبة بالنسبة للمحاور $\vec{a}_1, \vec{a}_2, \vec{a}_3$.



شكل (4-15)

المشتقة (البند اللاحق مختص بهذا العامل). فسعة الموجة المنعرجة في المعادلة (4-39) متأتية عن جميع الموجات المستطرارة عن كل ذرات التركيب البلوري:

$$A_{\Delta k} = \left(\sum_{n_1, n_2, n_3} e^{i(\vec{R} \cdot \vec{\Delta k})} \right) \left(\sum_{j=1}^s f_j e^{i(\vec{r}_j \cdot \vec{\Delta k})} \right)$$

و السعة العظمى للموجة المنعرجة (انعكاس براغ) تحدث عندما $\vec{G} = \vec{\Delta k}$ وباستعمال المعادلة (4-33) نجد أن :

$$(40-4) \quad A_G = n^3 F_G$$

حيث :

حيث $\lambda + \kappa + \mu = n$ - عدد صحيح. ونذكر أن قيمة f هي نفسها للذرتين عند العقدتين $\frac{1}{2}, \frac{1}{2}$ لأننا ندرس عنصرًا له نفس الذرات في التركيب. المعادلة (45-4) تبين أن

$$(46-4) \quad F_0 = \begin{cases} 2, & \lambda + \kappa + \mu \\ 0, & \lambda + \kappa + \mu \end{cases}$$

عدد زوجي
عدد فردي

معنى هذا اختفاء الانعكاسات عن المستويات، البلورية عندما يكون مجموع دلائلها (هذه الدلائل محسوبة بالنسبة للمحاور المنطبقة على أحرف المكعب، الأولى) عدداً فردياً. وهذا يميز التركيب bcc . وهذا يتضح عملياً لو فحصنا لوحه الانعراج لمعدن الصوديوم. فشبكة الصوديوم (لو أبدلنا كل ذرة بعقدة) هي مكعبه مركزة (الجسم). والانعراج الناشيء عنه يبين اختفاء انعكاسات، براغ (100) و(001) و(111) و(221). ولكن كيف نفسر فيزيائياً هذا الاختفاء. نأخذ مثلاً المستويات (100): يظهر انعكاس براغ عن المستويات (100) المتوازية عندما يكون فرق الطور بين الأشعة المنعكسة عن المستويين (1) و(3) في الشكل (4 - 16) مساواً إلى 2π ولكن في التركيب bcc توجد مستويات بلورية موازية للمستويات (100) وتقع بينها كما هو واضح في الشكل (4 - 16) وذات امكانية على استطاعة الأشعة

المنطبقة على وحدة التركيب البلوري. وشدة انعكاس براغ (I) تتناسب مع $F_0^2 = F_{111}^2$ أي تتناسب، مع توزيع الذرات وعددتها في التركيب البلوري وبالتالي تعتمد من خلال f على خصوصية استطاعة الأشعة من قبل الذرات، أو الأيونات، المختلفة التركيب، الإلكتروني. ونسوء بأن f (وبالتالي (I)) يمكن أن ساوي صفرًا وذلك عند شروع ذرات القاعدة بشكل يجعل الأشعة المتطابقة منها تترافق، تراكاً هداماً (destructive). لذلك فإن عامل البنية يمكن أن يلغى بعض الانعكاسات، المسماة بالنسبة لعقد الشبكة. وهذه الخاصية تفيدنا بتحديد التركيب البلوري. والآن نأخذ الأمثلة التالية.

المثال الأول: نأخذ عنصرًا ذو تركيب بلوري وحدته مكعبه مركزة الجسم، كمعدن الصوديوم، bcc :

عند أخذ كل ذرة صوديوم (مثلاً) بعقدة فتح محل على الشبكة bcc التي هي شبكة برافو. ومن المريح اعتبار هذه الشبكة bcc كشبكة مكعبه بسيطة $-Sc$ - تولد من الأشعة الأساسية $e^{i(\lambda z + \mu y + \nu x)}$ - لها قاعدة عقدية متكونة من عقدتين في الموقعين:

$$(44-4) \quad f(\lambda z + \mu y + \nu x) = \frac{e^{i(\lambda z + \mu y + \nu x)}}{2} = e^{i(\lambda z + \mu y + \nu x)} = 0$$

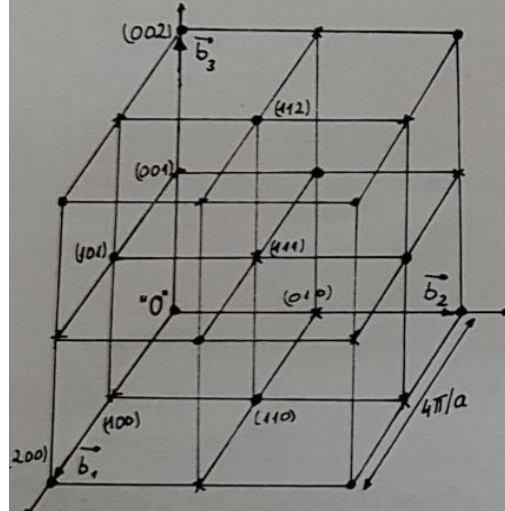
وباستعمال المعادلة (4-43) نجد عامل البنية المناظر لكل انعكاس براغي:

$$(45-4) \quad F_0 = \sum_{n=1}^2 f(e^{i(\lambda z + \mu y + \nu x)}) = f(-1 + e^{i(\lambda z + \mu y + \nu x)})$$

$$F_0 = f(-1)$$

الكلور Cl^- التي تحتل المستويات (200) وذلك لأن أيون Cl^- يحتوي على 18 كترون فقط.

لقد اعتبرنا الشبكة البلورية bcc (على أساس كل عقدة تهوى عن ذرة) عبارة عن شبكة مكعبة بسيطة (Cs) بقاعدة متكونة من عقدتين (تقابل ذرتين). عندئذ تكون الشبكة المعاكسة (على أساس هذا الاعتبار) مكعبة بسيطة أيضاً طول حرف، خليتها الأساسية $1/a\sqrt{2}$. وهذا موضح في الشكل (4 - 17) حيث أحداثيات عقد الشبكة المعاكسة محسوبة بالنسبة بالنسبة للمحاور الأساسية للشبكة



شكل (4 - 17)

وبازالة العقد التي لها $h = 0$ (أي التي لها $h + k + l = 0$) نحمل على خالية أولية للشبكة المعاكسة، في بصورة مكعب، مركز السطوح طول ضلعه $4\pi/a$.

للمحاور الأساسية للشبكة

$$\text{المعاكسة: } \vec{b}_1, \vec{b}_2, \vec{b}_3$$

$$\vec{b}_1 = \frac{2\pi}{a} \hat{b}_1, \vec{b}_2 = \frac{2\pi}{a} \hat{b}_2, \vec{b}_3 = \frac{2\pi}{a} \hat{b}_3$$

وأحداثيات العقد تفشل

قرائن ملر (hkl) ولقد

أشروا على العقدة (x)

$$\text{عندما } h + k + l = 0$$

عدد فردي. وبما أن كل عقدة

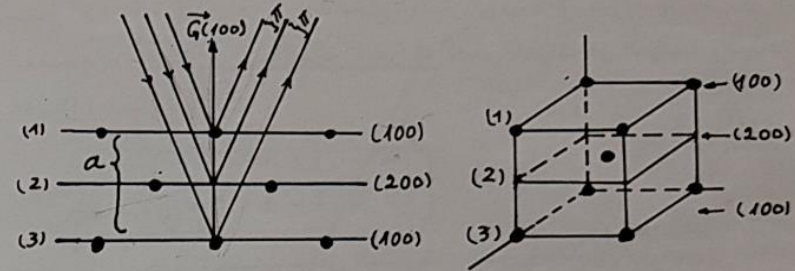
للشبكة المعاكسة تمثل

انعكاس براغي (لأنها تحد

بالشعاع G). لذلك فلكل

منها قيمة

$$F_hkl = F_{h+k+l=0}$$



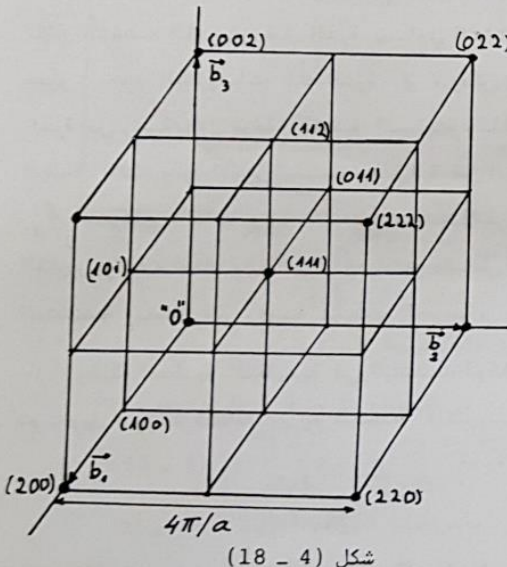
شكل (4 - 16)

السينية تساوي امكانية المستويات (100) ، ولكن بما أن هذه المستويات (200) أو (2) واقعة في منتصف، الفاصل بين المستويات (100) لذلك فإن الشعاع المنعكس عن (2) يختلف بالطور عن الشعاع المنعكس عن المستوى (1) بعده π . لهذا فالتدخل بين كل هذه الأشعة المنعكسة عن (100) و (200) يكون هاماً وبالتالي يختفي الانعكاس (100) . ولو كانت المستويات (100) والموازية لها (200) لا تحتوي على نفس النوع من الذرات، أي أن امكانية استطارة الأشعة السينية عن المستويات (100) تختلف عن امكانية الاستطارة عن المستويات (200) فالتدخل لا يكون هاماً تماماً. لذلك تظهر انعكاسات براغية عن السطح (100) لبلورات كلوريد السيزيوم (الشكل 1 - 18) لأن امكانية أيونات Cl^- التي تحتل المستويات (100) مثلاً على استطارة الأشعة أكبر بكثير من امكانية أيونات

وهذا ما يميز التركيب البلوري f_{CC} . ونذكر بأننا استعملنا نفس قيمة f لكل ذرات، القاعدة لأننا ندرس عنصرًا واحدًا. أما لبعض البلورات، مثل KCl فتتم ذلك النتيجة (4 - 48) وذلك لأن $f_{\bar{c}\bar{c}} \approx f_{k\bar{k}}$ حيث، يتساوى عدد الالكترونات في كلا الايونين $+K$ و $-Cl$. ولكن للبلورة KBr لا تتحقق المعادلة (4 - 48) وذلك لاختلاف عدد الالكترونات في كلا الايونين $+K$ و $-Br$ بحيث $+K \neq -Br$. ولهذا تظهر انعكاسات برا غبية في لوحة الانعراج من المستويات (4 - 48) المختلطة القرائين.

وأ لأن نجري نفس العمل الذي أجريناه للشكل (4 - 17). فلو رسمنا شبكة معكosa مكعبية بسيطة طول ضلعها $\frac{2\pi}{a}$ (إن الشبكة الأصلية f_{CC} هي شبكة مكعبية بسيطة مع قواعد عقدية) ثم أزلينا كل العقد التي لها $0 = F_G$ لحملنا على شبكة معكosa مكعبية مركبة على شكل b_{CC} . وهذه هي نفس النتيجة المعروفة التي تبين أن معكosa الشبكة f_{CC} هو الشكل b_{CC} .

ملاحظة: لو حسبنا (HKL) بالنسبة للمحاور الاساسية المحددة للخلية الاساسية للشبكة f_{CC} و b_{CC} ، فلا يظهر لنا عدم وجود انعكاس (أو لا يظهر كون $F_G = 0$). أن وجود F_G لبعض العقد حدث في الحسابات السابقة بسبب اعتبارنا لمفهوم الشبكة زائد قاعدة عقدية.



شكل (4 - 18)

وأ لأن نجري نفس العمل الذي أجريناه للشكل (4 - 17). فلو رسمنا شبكة معكosa مكعبية بسيطة طول ضلعها $\frac{2\pi}{a}$ (إن الشبكة الأصلية f_{CC} هي شبكة مكعبية بسيطة مع قواعد عقدية) ثم أزلينا كل العقد التي لها $0 = F_G$ لحملنا على شبكة معكosa مكعبية مركبة على شكل b_{CC} . وهذه هي نفس النتيجة المعروفة التي تبين أن معكosa الشبكة f_{CC} هو الشكل b_{CC} .

وهذا فعلاً ما نحصل عليه لو اعتبرنا أشعة الانتعال الأساسية للشبكة b_{CC} عند تحصل على الشبكة المعكosa بصورة f_{CC} ثابتتها $4\pi/a$.

وهكذا فإن لوحة الانعراج تعطي صورة صادقة عن طبيعة الشبكة المعكosa، ومن خلالها عن الشبكة البلورية المباشرة. وكذلك فإن اعتبار الشبكة b_{CC} كشبكة مكعبة بسيطة مع قواعد، هذا الاعتبار يكون صحيحاً أيضاً لوصف انعراج الأشعة السينية بعدأخذ قيم $\frac{2\pi}{a}$ بعين الاعتبار.

المثال الثاني: نأخذ عنصراً ذو تركيب بلوري وحده مكعب مركبة السطوح كمعدن النيكل Ni .

بعد إبدال كل ذرة بعقدة نحصل على الشبكة المكعبة f_{CC} التي تعتبر شبكة مكعبة بسيطة (SC) مع قاعدة عقدية مكونة من أربعة عقد - كل عقدة تقابل ذرة - والأشعة الأساسية ستكون طبقاً لهذا الاعتبار $\vec{r}_1, \vec{r}_2, \vec{r}_3, \vec{r}_4$. وأحداثيات عقد القاعدة أو أحد الشريانات، الذرات هي :

$$(47-4') \quad \vec{r}_1(x_1, y_1, z_1) = \frac{a}{2}(\vec{c} + \vec{a}) , \quad \vec{r}_2(x_2, y_2, z_2) = \frac{a}{2}(\vec{c} + \vec{b}) , \\ \vec{r}_3(x_3, y_3, z_3) = \frac{a}{2}(\vec{a} + \vec{b}) , \quad \vec{r}_4(x_4, y_4, z_4) = \frac{a}{2}(\vec{a} + \vec{c})$$

وبالتعمير عن الأحداثيات في المعادلة (4 - 43) نجد:

$$(48-4) \quad F_G = f \left(1 + e^{\frac{i\pi(h+k)}{a}} + e^{\frac{i\pi(h+l)}{a}} + e^{\frac{i\pi(k+l)}{a}} \right)$$

وهذا نميز حالتين: عندما تكون h, k, l مختلطة أي أن أحدهم فردي والباقيان زوجيان أو العكس، والحالة الأخرى عندما تكون معاملات ملر غير مختلطة أي أنها كلهم أعداد فردية أو كلهم أعداد زوجية:

$$(49-4) \quad F_G = 4f \quad (h, k, l) - \text{غير مختلطة} \\ F_G = 0 \quad (h, k, l) - \text{مختلطة}$$

٩ - عامل التشتت الذري:

The atomic scattering factor

ان العلاقة (٤ - ٣٩) تحتوي على الكمية f_z التي تسمى عامل التشتت الذري، وهذا العامل يعتبر مقياساً لامكانية ذرة ما على استطارة الأشعة السينية. ان قيمة الالكترونات في الذرات هي التي تقوم بعملية استطارة الأشعة، لذلك فان f_z يعتمد على عدد الالكترونات في الذرة Z وكيفية توزيعها وكذلك يعتمد على طول موجة الأشعة المستطارة وعلى زاوية الاستطارة. ونذكر بأنه لو أهمل حجم الذرة او لو اعتبر حجمها صفرياً كالعقدة مثلاً، فلا توجد ضرورة للتعامل مع f_z .

لو تشتت الموجات عن جميع أجزاء الغيمة الالكترونية للذرة بنفس الطور لكان التشتت الكلي من قبل الذرة يساوي التشتت الحادث عن الكترون واحد مضروباً بعدد الكترونات تلك الذرة Z . ولكن هذه الحالة لا تحدث عملياً لأن حجم الذرة من رتبة طول موجة الأشعة السينية. لذلك فان الموجات المتشتتة من أجزاء الغيمة الالكترونية للذرة ليست متطابقة في الطور. ونعرف عامل التشتت الذري f_z للذرة Z بأنه نسبة المساحة المتشتتة من الذرة إلى المساحة المتشتتة من قبل الكترون واحد. لذلك فالعامل f_z يعتبر مقياس لفعالية التداخل في الحزمة المتشتتة ويعتمد على زاوية تشتت الحزمة.

وطبقاً للنظرية التقليدية في التشتت لوحظ تناسب عامل التشتت الذري f_z مع تحويل فورييه لكثافة توزيع الشحنة الالكترونية في الذرة (٤ - ٣٩) :

$$(50-4) \quad f_z(G) = \int e^{\frac{G \cdot r}{\lambda}} \rho(r) dv$$

لذلك فالكمية (٤ - ٣٩) f_z تعتمد على G (أو على زاوية التشتت) وكذلك على التوزيع

الالكتروني في الذرة او الأيون الذي يشغل الموقع \vec{r} في القواعد. ولكن قيمة f_z لا يمكن أن تساوي صفرًا لأن قيمة للشعاع \vec{G} ، كما وأن قيمة f_z لذرة ما (ز) لا تعتمد على موقعها في البلورة.

ولو اعتبرنا توزيع الشحنة الالكترونية في الذرة كرويا أي أن $(4-39)$ $\rho(r) = \frac{4\pi r^2}{3} \sin^2 \theta \sin^2 \phi$ وباستعمال الاحداثيات الكروية (٢ - ٣٠) فإن $dr = r^2 \sin \theta d\theta d\phi d\alpha$ والزاوية بين \vec{G} و \vec{r} تساوي α (اعتبر محور \vec{G} منطبقاً على \vec{r}). نجد:

$$(51-4) \quad f_z(G) = \int_{\alpha=0}^{\pi} \int_{\theta=0}^{\pi} \int_{r=0}^{\infty} dr \rho(r) r^2 \sin \theta \sin \alpha d\alpha d\theta dr$$

$$\text{وباجراء التكامل على } \alpha \text{ و } \theta \text{ نجد:} \\ (51-4) \quad f_z(G) = 2\pi \int_0^{\infty} dr r^2 \rho(r) \frac{e^{-Gr} - e^{Gr}}{Gr}$$

$$\text{أو} \\ (51-4) \quad f_z(G) = 4\pi \int_0^{\infty} r^2 \rho(r) dr \frac{\sin Gr}{Gr}$$

وبتربيع الشرط $\vec{k} + \vec{G} = \vec{k}'$ نحصل على كون $2 \vec{k} \cdot \vec{G} + \vec{G}^2 = 0$

ومنه نجد أن:

$$(52-4) \quad |\vec{G}| = \frac{4\pi}{\lambda} \sin \theta$$

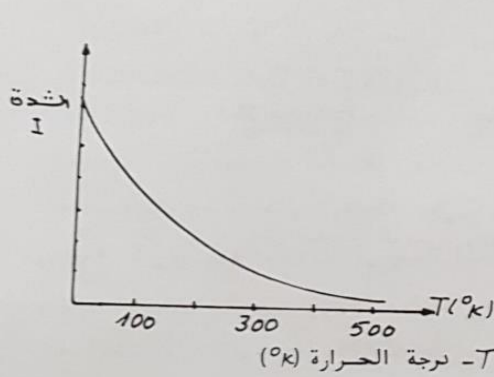
حيث θ - زاوية براغ ، $K = \frac{2\pi}{\lambda}$ ، والزاوية بين \vec{k} و \vec{G} موضحة في الشكل (٤ - ١٣). اذن:

$$(53-4) \quad f_z(G) = \int_0^{\infty} 4\pi r^2 \rho(r) \left(\frac{\sin(\frac{4\pi}{\lambda} r \sin \theta)}{\frac{4\pi}{\lambda} r \sin \theta} \right) dr$$

10 - تأثير درجة الحرارة على شدة انعكاس براغ :

لوحظ عملياً أن شدة انعكاس براغ تتناقص بزيادة درجة حرارة البلورة التي تحدث هذا الانعكاس. ولكن زيادة درجة الحرارة لا تؤثر على تباين (contrast) انعكاس براغ ، أي لا تقوم بنشر بقعة انعكاس براغ على الفيلم الحساس المستلم لها.

أجريت حسابات شدة الموجة المنعرجة I^2 في المعادلة (4 - 32) تحت أداء A^2



المعادلة (4 - 32) الى تصحيح يتعلق بتأثير عامل درجة الحرارة .

نفترض أن متجه موضع ذرة ما في البلورة في اللحظة الزمنية (t) يساوي :

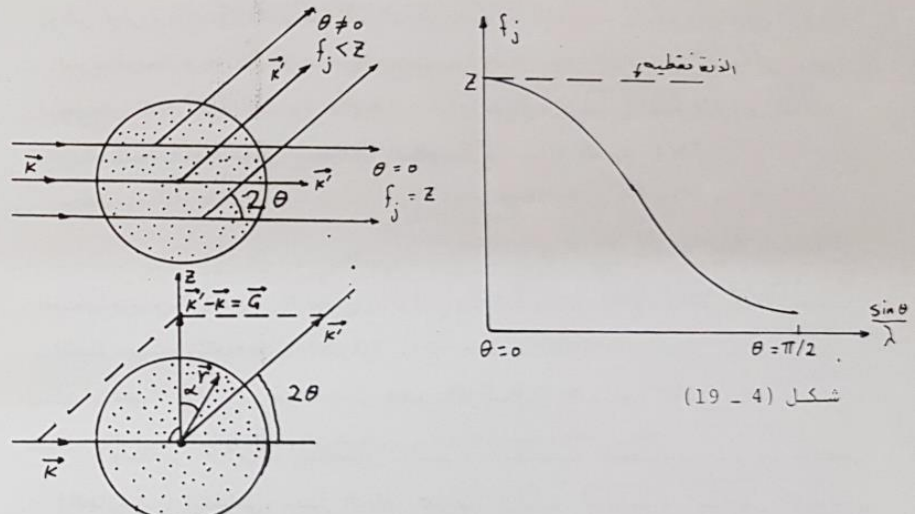
$$\vec{r}(t) = \vec{r}_0 + \vec{v}(t) \quad (4 - 55)$$

حيث \vec{r}_0 يمثل موضع توازن الذرة \vec{z} - على أساس هذا الموضع أجريت الحسابات في المعادلة (4 - 32)، و $\vec{v}(t)$ دالة زمنية شعاعية تمثل مقدار التغير في متجه

وعندما نقترب، $\frac{\sin \theta}{\lambda}$ من الصفر فإن الكمية بين القوسين لتكامل أعلاه تقترب، من الواحد وبالتالي يقترب $f_z(G)$ من القيمة:

$$(4 - 54) f_z(G) \rightarrow \int_0^\infty 4\pi r^2 dr = Z$$

حيث Z - عدد الأكترونات، وذلك لأن $\int_0^\infty 4\pi r^2 dr$ هو احتمال وجود الأكترون واحد في المجال r و $r + dr$. واعتماد $f_z(G)$ على $\frac{\sin \theta}{\lambda}$ موضحة في الشكل (4 - 19).



شكل (4 - 19)

ذلك فال معدل يؤدي إلى ظهور الرقم $\frac{1}{3}$. اذن :

$$\langle e^{i\vec{U}_j \cdot \vec{G}} \rangle \approx 1 - \frac{1}{6} \langle U_j^2 \rangle G^2 \approx -\frac{1}{e^6} \langle U_j^2 \rangle G^2$$

وأخيراً نجد سعة انعكاس براغ:

$$(58-4) \quad A_G = \pi^3 \sum_{j=1}^S f_j e^{i \vec{r}_j \cdot \vec{G}} - \frac{1}{e} \langle U_j^2 \rangle G^2$$

وعلى فرض وجود نوع واحد من الذرات، في البلورة المدروسة وكذلك على فرض أن ذرات النوع الواحد لا يختلف عن بعضها بتذبذبها وذلك بغض النظر عن موقعها في البلورة أو بغض النظر عن المستوى (hkl) الذي تقع فيه . بسبـ، هذه الفروض نستطيع اخراج الحد الحراري في المعادلة أعلاه خارج اشارة الجمع ($\langle m \rangle = \langle z \rangle$) ونحصل بالتالي على:

$$(59-4) \quad A_G = \nabla^3 F_G - e^{\frac{1}{6} \langle u^2 \rangle} G^2$$

وهكذا يتبيّن أن السعة العظمى وبالتالي شدة انعكاس براغ تتناقص طبقاً للحد الأسى حيث بزيادة درجة الحرارة يزداد تذبذب الترددات، وبالتالي يزداد λ^2 . أما الحد $\frac{C}{\lambda^3}$ موجوده يبيّن عدم تأثير تباين الانعكاس بتغيير درجة الحرارة . ولتقدير λ^2 نستعين بالنظرية التقليدية لاستذبذب التوافق .
 (الهارموني) الفضائي . معدل الطاقة الكامنة $\langle L \rangle$ لاستذبذب التوافق الفضائي عند التوازن الحراري يساوي $\frac{K_B}{2} \cdot 3$: ثلاثة درجات حرية لاستذبذب الفضائي لكل درجة $K_B \cdot \frac{1}{2}$. أذن :

$$\langle u \rangle = \frac{1}{2} c \langle u^2 \rangle = \frac{1}{2} m \omega^2 \langle u^2 \rangle = \frac{3}{2} k_B T$$

$m^2 = c$ - ثابت، قوة المتذبذب، m - كتلة الذرة المتذبذبة، c -

موقع الذرة نتيجة تذبذبها الناتج عن الحرارة .

ولتصحیح المعادلة (4 - 39) أو (4 - 40) بادخال عامل تأشیر درجة الحرارة
نستبدل \vec{v} فيهما بالشعاع \vec{r} فنحصل على شدة انعکاس براغ متاثرة بدرجة
الحرارة :

$$(56-4) \quad A_G = \prod^3 \sum_{j=1}^6 f_j e^{i(\vec{r}_j + \vec{u}_j \cdot \vec{\epsilon}) \cdot \vec{G}}$$

حيث، $A_5^2 = I$ شدة انعكاس بраг . وبما أن تذبذب كل ذرة من المذرات حول موضع توازنها يتم بشكل مستقل * وبما أننا نلاحظ عملياً المعدل الزمني لأشدة ذلك نكتب المعادلة (4 - 54) بالصورة التالية :

$$(57-4) \quad A_G = \pi^3 \sum_{j=1}^5 f_j e^{i \vec{r}_j \cdot \vec{G}} < e^{i \vec{u}_j(\text{ct}) \cdot \vec{G}} >$$

حيث < يمثل المعدل الزمني، والعلاقة أعلاه تبسط بأسلوب، المفوك التقريري:>

$$\leq \frac{|\vec{u}_j(t) \cdot \vec{G}|}{\|\vec{u}_j(t)\|} \geq 1 + i \leq \vec{u}_j \cdot \vec{G} \geq -\frac{1}{2} <(\vec{u}_j \cdot \vec{G})^2>.$$

أي نكتفي بثلاثة حدود للتقريب، لأن $\overrightarrow{z_1}$ قليلة أساً. والكمية $= > \overrightarrow{z_2} - \overrightarrow{z_1} <$
 لأن معدل مسقط الشعاع $\overrightarrow{z_1}$ على الاتجاه المحدد $\overrightarrow{z_2}$ يساوي صفرًا بفعل الحركة
 الحرارية الغوائية للذرات والكمية:

$$\langle (\vec{U}_j \cdot \vec{G})^2 \rangle = \frac{1}{3} \langle U_j^2 \rangle G^2$$

فالملهم في المعدل هو سقط زلماً على حكمه، وحيث أن لـ \overrightarrow{LM} هو شعاع فضائي

* هذا تقرير يكون صحيحاً في درجات الحرارة المرتفعة بينما لا يكون جيداً بدرجات الحرارة المنخفضة

$$\therefore e^x = 1 + x + \frac{x^2}{2} + \frac{x^3}{3} + \dots$$

11 - الطرق التجريبية لانعراج الأشعة السينية

ندرس الآن ألم الطرق التجريبية التي تدرس تركيب البلورات، بواسطة انعراج الأشعة السينية. وحرمة الأشعة السينية المستخدمة في هذه التجارب يمكن أن تكون بيضاء، أي حرمة لها طيف مستمر قد يتراوح بين $0,2\text{ \AA}$ و 3 \AA . ويمكن أن تكون أحادية اللون (أي ذات طول موجي معين λ). وللحصول على حرمة سينية أحادية اللون من مصدر أشعه سينية بيضاء توجد طريقتان:

- (1) طريقة الامتصاص: تمرر الحرمة البيضاء خلال مرشحه (Filter) مقدار امتصاصها كبير للأشعة السينية ذات أطوال أمواج تختلف عن الطول λ (مثلاً) بينما يمكن أن تمر من خلالها حرمة أشعة سينية طولها λ بدون امتصاص كبير. في الواقع لا توجد مرشحة عامة تقوم بالخاصية العامة أعلاه. ونحدد مثلاً لفهم هذه الطريقة: يراد الحصول على حرمة من الأشعة السينية طول موجتها $1,542\text{ \AA}$ وهو طول موجة شعاع K الصادر عن النحاس. عندئذ تستعمل النحاس كمصدر في أنبوبة الأشعة السينية، وبتسليط فرق جهد كافي (35 كيلو فولت)، يظهر في الطيف، أشعة التباطؤ (طيف، مستمر) متراكبة مع الأشعاعات المميزة للنحاس وهي $1,542\text{ \AA}$ و $1,39217\text{ \AA}$.
- الحرمة البيضاء خلال مرشحه من النikel الذي له حافة الامتصاص K في الموضع $\lambda = 1,488\text{ \AA}$. فكما هو واضح في الشكل (4 - 7) - اعتبر λ هي $1,488\text{ \AA}$ و K هي $1,542\text{ \AA}$ للنحاس و K - حافة الامتصاص K لمرشحه النikel - سمعت من المرشحة λ أو K وتترك λ أو K يعبر دون امتصاص قوي لكي يستعمل في التجارب التي تتطلب موجة أحادية اللون.

تردد التدبيس، K_B - ثابت بولتزمان. ومنه نجد: $\frac{3K_B T}{m\omega^2} = <\lambda^2>$. وطالما أن $\frac{4\pi}{\lambda} \sin\theta = G$ (المعادلة 4 - 52) حيث θ - زاوية براج، نجد أخيراً:

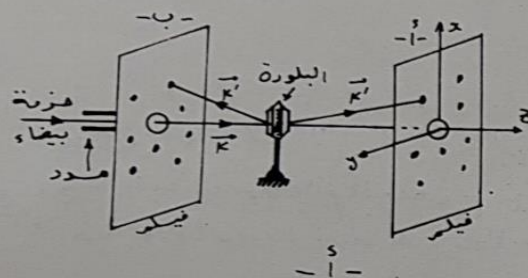
$$(60-4) \quad A_G = \pi^3 F_G e^{-2\pi\tau} \quad \text{حيث:} \\ \pi\tau = \frac{8\pi^2 K_B T}{m\omega^2} - \frac{\sin^2\theta}{\lambda^2} = \frac{B}{2} \frac{\sin^2\theta}{\lambda^2} \\ \text{والحد } e^{-2\pi\tau} = B \frac{\sin^2\theta}{\lambda^2} e^{-2\pi\tau} \text{ يسمى حد ديباي-والر الحراري.}$$

ان التقرير التقليدي أعلاه يمكن أن يصح في درجات الحرارة المرتفعة حيث يتبع نعمان الشدة $A_G^2 = I$ بزيادة درجة الحرارة (T). وهذا النعمان يكون قليلاً في حالة الانعكاسات بزوايا براغية θ مغيرة القيمة ولكنه يزداد بزيادتها مما يؤدي إلى ضعف شديد بشدة الانعكاسات الموافقة لزوايا انعكاس كبيرة وذلك بدرجات الحرارة المرتفعة.

ونفهم سبب نعمان شدة انعكاس براج فيزيائياً من أن جزءاً من فوتونات الأشعة المنعكسة تعاني تصادمات غير مرنة (أي يتغير متعدد الأشعة عند التصادم \rightarrow λ) وبالتالي تتغير طاقة الفوتون عند التصادم) مما يؤدي إلى خروجهما عن الحرمة التي تكون شدة معينة للانعكاس وبالتالي انتشارها وتحولها إلى خلفية للفيلم الحساس المتمثل الانعكاسات.

(1) طريقة لا وي :

من خلال مسد (collimator) صغير - لاختيار حزمة ضيقة متزامنة - تسقط حزمة من الأشعة السينية على بلورة آحادية (Single crystal) صغيرة لا تزيد أبعادها عن 1 ملم. هذه البلورة مشتبة بحيث يكون لها توجه ثابت بالنسبة للحزمة الساقطة كـ . يثبت فيامان مستويان (أمام العينة (البلورة) - الفيلم - 1 -



مخطط لا وي النافذ من الكوارتز، الاشعة الساقطة تتواءى
المحور- C البلورة الميداسية ($D = 5 \text{ cm}$)

شكل (4 - 21)

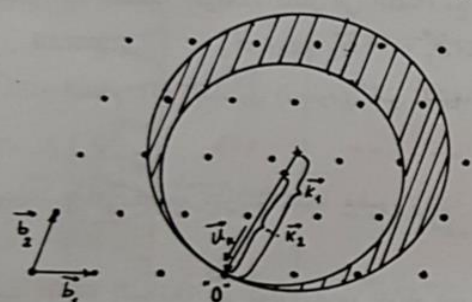
وخارفها - الفيلم ب - وبصورة عمودية على الحزمة الساقطة وعلى بعد حوالي $D = 5 \text{ cm}$ من العينة كما في الشكل (4 - 21)، ويكون الفيلم (ب) مثقوب لممرور الحزمة

(2) طريقة الانعكاس: * ويستخدم جهاز موحد اللون البلوري

(Crystallic monochromator) حيث تسلط حزمة الاشعة السينية على بلورة معينة. هذه البلورة تقوم بفرز الاشعاعات، (الملوشور في حالة الفوء المرئي) أي تعكس أشعة الحزمة بزوايا مختلفة تبعاً لطول الموجة. عندئذ تختار طول الموجة المنعكسة الملائم باختيار زاوية انعكاس معينة.

* و تستعمل هذه الطريقة على الاكثر لاختيار حزمة النيوترونات، الوحيدة اللون اي التي لها طاقة معينة و طول موجي مراافق معين.

الميكانيكية أو الحرارية للبلورات.
وبالإمكان تحليل وتأشير (Indexing) بقع انعراج لاوي على أساس بناء أبولالد، نفرض أن طيف الأشعة الساقطة البيضاء في الحدود من λ_1 إلى λ_2 .
نرسم الشبكة المعكوسة للبلورة المدروسة، ونرسم كرتاً أبولالد المناظرتان لأطوال الأشعة الساقطة λ_1 و λ_2 بحيث تتمسان في نقطة البداية " 0 ". اتجاه



شكل (4 - 22)

الأشعة الساقطة \vec{U}_1 إذن $\frac{2\pi}{\lambda_1} = \vec{k}_1$ ، $\frac{2\pi}{\lambda_2} = \vec{k}_2$ ($k_2 > k_1$).
وهذا موضح في الشكل (4 - 22). عندها سوف تلاحظ علينا انعكاسات براغ التي تناظر كل عقد الشبكة المعكوسة التي تقع على وبين الكرتين والتي عددها يتحدد

الساقطة . يسلح الغيم - أ- الأشعة المنعرجة الى الأمام (النافذة) ويسجل الفيلم بـ .
الأشعة المنعرجة الى الخلف (الراجعة).

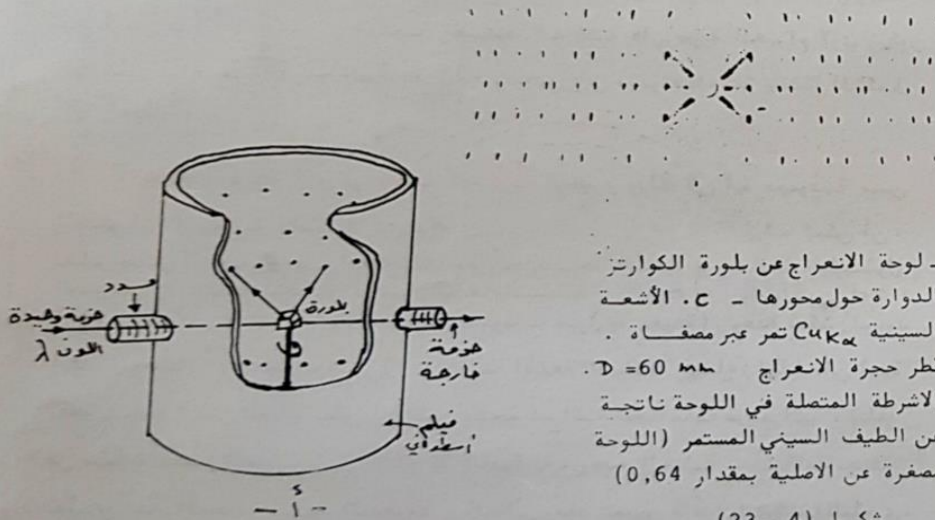
بما أن أطوال الموجات، الساقطة تغطي مجالاً مستمراً كبيراً لذلك فإن كل مجموعة مستويات بلورية متوازية (فاصلتها $d_{hk\ell}$) تنتصب من الحزمة الساقطة شعاعاً طول موجته λ يحقق قانون براغ لكي تتعكس بزاوية $\theta_{hk\ell}$. ونتيجة انعكاسات كل مجتمع المستويات، المتوازية تظهر لوحة (أو صورة) الانعراج (diffraction pattern) بهذه نقاط أو لطخات، على الفيلمين (1) و (2)، موزعة بصورة تُظهر ترجّه البالورة بالنسبة للأشعة الساقطة كما في الشكل (4 - 21 - a). فلو كان للبلورة المدروسة محور تناظر من الدرجة السادسة وموجه بحريث، أن هذا المحور يوازي الأشعة السينية الساقطة فإن صورة انعراج لاوي سيكون لها محور تناظر من الدرجة السادسة أيضاً وعمودي على مستواها، كما يحدث، للشكل (4 - 21 - b).

لا تستخدم طريقة لاوي في تحديد التركيب البلوري وذلك لأن آية مجموعة من المستويات، المتوازية فاصلتها $d_{hk\ell}$ يمكن أن تعكس بنفس الزاوية θ عدة انعكاسات متراكبة مختلفة المرتبة n ومختلفة الطول الموجي λ حتى تتحقق دائماً المعادلة $n \lambda \sin \theta = 2d_{hk\ell}$ (حيث $d_{hk\ell}$ هي ثابتة لمجموعة مستويات متوازية معينة) . وهذا ممكن لوجود آمكانية اختيار " أي " طول مرجح λ ما دامت الأشعة الساقطة بيضاء. لهذا فإن آية بقعة (الطخة) على الغيم يمكن أن تكون نتيجة لتركيب انعكاسات، من مراتب، مختلفة عن مجموعة معينة لمجموعة المستويات البلورية المتوازية. وهذه العملية تعقد امكانية تعيين شدة الأشعة السينية المنعرجة وبالتالي تعقد تعيين قاعدة التركيب البلوري. وطريقة لاوي - كما أسلفنا - تكون ملائمة لتحديد تناظر واتجاه البلورات، المعروفة بالتركيب، كما تستخدم أحياناً في تحديد التشوّهات والعيوب، التي تنشأ عند المعالجة

ب - طريقة البلورة الدوارة :

The rotating crystal method

في هذه الطريقة تحمل البلورة الأحادية (ذات الأبعاد الصغيرة التي لا تزيد عن 1 ملم) على محور ثابت يمر حول نفسه بسرعة زاوية ω . هذا المحور يكون عمودياً على حزمة الأشعة السينية الساقطة الأحادية اللون λ . وتوضع البلورة عادة بحيث أن أحد محاورها البلورية (وليكن a) موازي لمحور الدوران. وصورة الانعراج تسلم على فيلم حساس مثبت على السطح الداخلي لحجرة الانعراج الاسطوانية التي محورها هو نفس محور دوران العينة، كما في الشكل (4 - 23 ب).



- لوحة الانعراج عن بلورة الكوارتز الدوارة حول محورها - c. الأشعة السينية $CuK\alpha$ تمر عبر مصفاة . قطر حجرة الانعراج $D = 60 \text{ cm}$. الشرطة المتصلة في اللوحة ناتجة عن الطيف السيني المستمر (اللوحة مصفرة عن الأصلية بمقدار $0,64$)

شكل (4 - 23)

وعند سقوط الأشعة السينية على البلورة فإنها تتظاهر مشكلة لوحة انعراج على الفيلم الأسطواني بهيئة بقع (اللطخات).

بالمعنى ($k_1 - k_2$) وطبيعة الشبكة البلورية. إن كل انعكاس براغي يؤثر بالارقام ($hk\ell$) التي تناولت أحداشيات عقد الشبكة المعمكسة وهي في الأساس أحداشيات ملر لمجموعة مستويات بلورية متوازية. أي أن اللطخة ($hk\ell$) في لوحة الانعراج متأتية من انعكاس الأشعة السينية عن مجموعة المستويات البلورية ($hk\ell$). وأخيراً نذكر الملاحظات العملية التالية :

1 - بقع (اللطخات) لوحة انعراج لأوي النافذة تتربّع مشكلة قطوع ناقصة مارة بالبقعة المركزية. وبقع القطع الناقص الواحد ناتجة عن مستويات منطقة واحدة محورها [$hk\ell$] وقرائتها تحقق المعادلة $0 = h\ell + k\pi + l\pi$. إن الانعكاسات عن مستويات المنطقة الواحدة تشكّل في الغضاء مع الأشعة الساقطة مخروطاً محوره الشعاع : $\vec{r} = \vec{a}_1 + \vec{a}_2 + \vec{a}_3 = \vec{A}(h\ell + k\pi + l\pi)$. ومنقطع هذا المخروط مع الفيلم (1) المستوى العمودي على الأشعة الساقطة يكون بصورة قطع ناقص.

أما مخروط لأوي المنعكس فيقعه تتربّع بهيئة قطوع زائدة لا تمر بالبقعة المركزية.

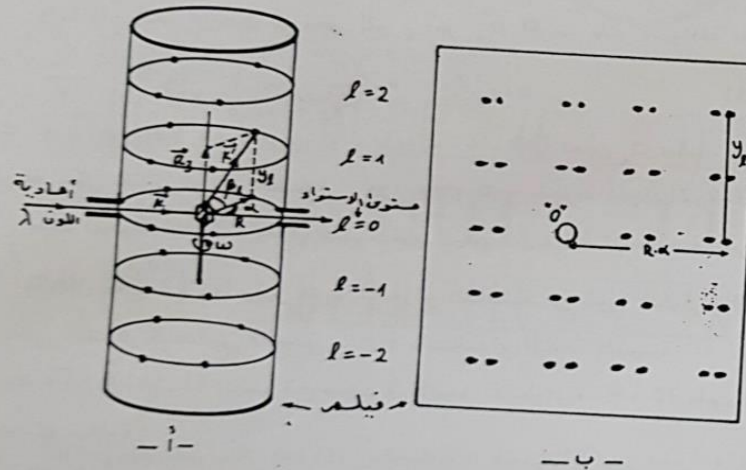
2 - إذا كانت الأشعة الساقطة \vec{r} توازي محور تناول دواري للبلورة الأحادية المدروسة، فينفس هذا التناول (أي بنفس درجته) تظهر لوحة الانعراج على الفيلم.

مخيط لأوي
المنعكس عن
السلikon
($D = 3 \text{ cm}$)



المعكوسه-مسار دائري معين، وانعكاس براغ يحدث في كل مرة يقطع فيها هذا المسار الدائري كرة أيوالد. وهذا موضع تخطيطيا في الشكل (4-23 ج): كرة أيوالد تمر بالعقدة "5" الثابتة - لواقعة على محور الدوران، وشعاع الموجة الساقطة هو الشعاع \vec{k} بينما كل الأشعة من مركز كرة أيوالد الى العقد التي يحدث الانعكاس المعاوقة لها (مؤشرة بالرمز 5) تبين اتجاه الأشعة المنعرجة \vec{k}' .

نفرض أن محور الدوران يوازي المحور البلوري $\vec{\alpha}_3$ الذي يحقق شرط الانبعاث (4-27): $\vec{k} = 2\pi \vec{r}$ حيث \vec{r} قرينة ملر. وحيث أن $\vec{k}' = \vec{k} + \vec{a}_3$ و $0 = \vec{k} \cdot \vec{a}_3$ لأن \vec{a}_3 عمودي على اتجاه الاشعة الساقطة، انظر الشكل (4-24). اذن:



شكل (4-24)

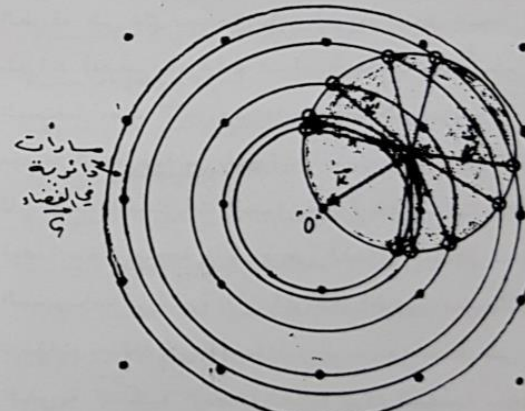
$$\vec{a}_3 \cdot \vec{k}' = 2\pi \vec{r} = a_3 \frac{2\pi}{\lambda} \sin \beta,$$

ومنه:

$$\sin \beta_r = \frac{\lambda l}{a_3} \quad \text{و} \quad \tan \beta_r = \frac{y_r}{R}$$
(4-24)

عند تغير زاوية السقوط θ نتيجة الدوران فإن الحزمة الاحادية اللون سوف تتغير عن كل مجاميع المستويات البلورية المتوازية التي فوائلها تتحقق قانون براغ $\lambda \sin \theta = 2k - \lambda$ - ثابتة، θ و k متغيرة في المعادلة أي لكل فاصلة λ توجد زاوية انعكاس θ تساوي زاوية السقوط. وعموما، ككل المستويات البلورية الموازية لمحور الدوران (والتي تشكل منطقة) تعكس الاشعة على الفيلم الأسطواني في مستوى الاستواء الوسطي (وهو مستوى الحزمة الساقطة). أما المستويات البلورية العاكسة الأخرى فتعطي انعكاسات في مستويات تقع فوق أو تحت مستوى الاستواء . والشكل (4-23 ب) يبيّن لوجة انبعاث أخذت بطريقة البلورة الدوارة .

وبالإمكان توضيح طبيعة الانعكاسات على الفيلم باستخدام بناء أيوالد. عند دوران البلورة فإن شبكتها المعكوسة تدور أيضاً بنفس السرعة الزاوية وحول نفس المحور.



شكل (4-23 ج)

اما كرة أيوالد ثابتة في العداء - \vec{k} لأنها محددة بالشعاع \vec{k} (شعاع الموجة الساقطة) ثابت مقداراً واتجاهـاً. عند الدوران تتحرك كل عقدة من عقد الشبكة

وإذا دارت البلورة حول أي محور اتجاهه \vec{w} حيث $w = \sqrt{h^2 + k^2 + l^2}$ [س ٢٦٣] - أعداد صحيحة، سنحصل على صورة انعراج α السابقة مكونة من طبقات خطية. وبقياس المسافة بينها نحصل على مسافة الدورية (Repetition) أو مسافة التكرار البلورية في الاتجاه [س ٢٦٤].

ونذكر بأنه يمكننا عن طريق الحدس (أو التوقع) معرفة اتجاه محاور البلورة النامية جداً، فالحافة المتشكلة من تقاطع مستويين (h_1, k_1, l_1) و (h_2, k_2, l_2) هي اتجاه بلوري يتحقق له:

$$(hk_2 - h_2 k_1) : (l_1 k_2 - l_2 k_1) : (l_1 h_2 - l_2 h_1) = w : w : w$$

جـ طريقة المسحوق (powder method)

تهدف هذه الطريقة لتحديد التركيب البلوري للمواد. والعينة المستخدمة في هذه الطريقة على شكل مسحوق ناعم. (موجود داخل أنبوبة شعرية قطرها لا يتجاوز 1 ملم) بليراته (مصفر بلورة) لا تتجاوز أبعادها 10^{-3} ملم أو أقل. والاشعاع السيني المستعمل وحيد اللون وهو عادة الخط المزدوج K_{Cu} . والعينة تتصرّجمجموعة كبيرة جداً من بليرات أحادية ولكن ذات توجهات عفوية في الفضاء. فإذا كان توجه المستويات المتوازية (hkl) ذات الفاصلة d_{hkl} في بليرة ما (وهذا متعلق بتوجه البليرة في الفضاء) لا يحقق قانون برااغ، فإنه لنفس هذه المستويات في بليرة (أو بليرات) أخرى يتحقق قانون برااغ لأن هذه البليرات ذات توجهات مختلفة في الفضاء. وبالحقيقة، نحصل على انعكاسات عن جمعيّة المستويات البلورية المعكنة المحقّقة لعلاقة برااغ المحدّدة بطول موجة الأشعة المستعملة λ :

$$(63-4) \quad d_{hkl} \sin \theta = n \lambda \quad \frac{\lambda}{d_{hkl}} > \frac{1}{2}$$

حيث n - نصف قطر الفيلم الاسطوانى، θ هي زاوية "خط العرض" ذو الرقم α على الفيلم الاسطوانى بالنسبة لمستوى الاستواء $0 = \pi$.

وبغض النظر عن القرائن a و b فإن المعادلة (4-61) تبيّن أن كل الانعكاسات عن المستويات التي لها نفس القرينة α تقع في دائرة خط عرض واحدة زاويتها θ . معنى هذا أن الانعكاسات الناشئة عن المستويات التي لها نفس القرينة α تشكّل مخروطاً يقطع الفيلم الاسطوانى بدائرته. فلكل قيمة α (الثانية 2, 1, 0 ... الخ) يتشكل مخروط للأشعة المنعكسة لذلك تبدو لوحة الانعراج على الفيلم بالصورة التي في الشكل (4-24 ب) - هذا الفيلم كان أسطوانة.

وإذا كان الدوران حول أي محور بلوري آخر \vec{a} (قرينة ملر الموافقة له) فإن

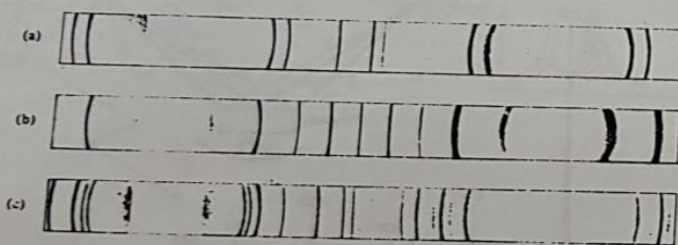
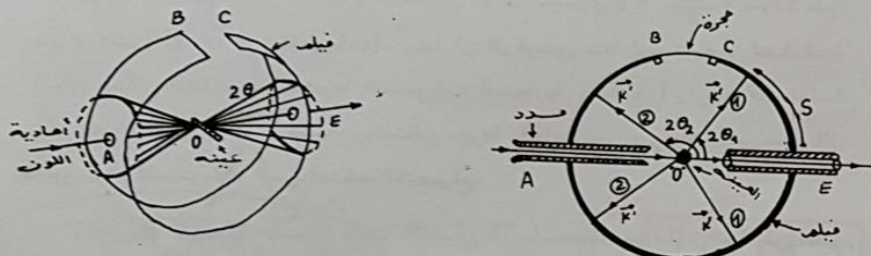
$$(62-4) \quad \sin \beta_n = \frac{\lambda n}{a_n} = \frac{\lambda n}{c} \operatorname{tg} \theta$$

حيث n - رقم دائرة خط العرض. والمعادلات (4-62) تعين a_n عملياً. وبهذه الطريقة يمكن تعين ثوابت الشبكة a, b, c بمعرفة اتجاه (hkl) الانعكاسية على الفيلم. بدون حاجة لمعرفة فئة البلورة أو حتى تأشير البقع (hkl) على الفيلم. والشكل (4-23 ب) يبيّن صورة الانعراج الناشئة عن بلورة الكوارتز الدائرة حول محور التناول السادس (المحور c) باستخدام الأشعة السينية $CuK\alpha$ ($1,542 \text{ \AA}$) ونصف قطر حجرة الأشعة الاسطوانية $R = 30$ ملم. ويمكن حساب c مباشرة:

n	θ (مل)	$\sin \theta$	$c = \lambda n / \sin \theta$
1	9,0	0,300	5,37 \AA
2	20,9	0,698	5,38 \AA

وأن $c = 5,38 \text{ \AA}$ لبلورة الكوارتز. وطول المحور a يستحصل بتدوير بلورة الكوارتز حول محور يوازي المحور \vec{a} لها.

وضع الفيلم في الحجرة او اذا كانت قد حدثت فيه طيات بسيطة ... الخ.



لوحة انعراج الاشعة X (المرشحة ٢٥) (المرشحة ٢٦) للنحاس (a)، والموليبدينيوم (b)، والخارصين (c). $2\theta = 0^\circ$ تقع الى اليسار.

بعد اجراء عملية تسجيل صورة الانعراج على الفيلم يقاس قطر R كل قوسين متقابلين (جزئي حلقة واحدة) على الفيلم $2S = R = 23$. وبما أن :

اي لا يحدث انعكاس عن مجموعة المستويات التي لها $\frac{\lambda}{2} < d_{hkl}$. فاذاكانت $\lambda = 1,542 \text{ \AA}$ فان الانعكاسات تأتي عن كل المستويات التي لها $d_{hkl} > 0,771 \text{ \AA}$.

كل مجموعة من المستويات ((hkl)) فاصلتها $\frac{\lambda}{2} < d_{hkl}$ تصنع زاوية θ_{hkl} (مع الحزمة الساقطة) تحدث انعكاس براغي. وهذه المستويات ((hkl)) موجودة في عدد كبير من البليارات المتوجهة بشكل عفوي، لذلك فان الحزم المنعرجة تشكل زاوية ثابتة θ_{hkl} مع الاشعة الساقطة، ولكن بما أن لها (للحزم المنعرجة) أي توجه حول اتجاه الاشعة الساقطة مشكلة معه زاوية θ_{hkl} ، لذلك فهي تشكل مولدات مخروط نصف زاوية رأس θ_{hkl} . لذا فكل مجموعة مستويات متوازية ((hkl)) يوجد مخروط للاشعة المنعرجة.

تدخل الاشعة الاحادية اللون الى حجرة الانعراج الاسطوانية من الفتحة A (قطرها حوالي 1 ملم)، فتسقط على العينة (المسحوق)، وجزءها الذي لا ينبعج يسمر خارجا من الحجرة عبر الثقب E كما في الشكل (4 - 25). وتوضع العينة (المسحوق) في وسط حجرة الانعراج "O" ، وهي في أغلب الأحوال تدور حول محورها لزيادة التوجهات العفوية للبليارات بالنسبة للاشعة الساقطة. ولتسجيل صورة الانعراج يوضع الفيلم الحساس (الذي هو عبارة عن شريط) داخل الحجرة الاسطوانية وتشبت نهايته بال نقطتين B و C ، بعد أن يعمل فيه ثقبان لمروي أنبوب المسدد A وأنبوب الخروج E . والأشعة المنعرجة بهيئة مخاريط رأسها عند العينة "O" ونصف زاوية الرأس $\theta = 12^\circ$ - زاوية براغ بالنسبة للاشعة النافذة (1) و (2) بالنسبة للاشعة الراجعة (2). وهذه المخاريط تسجل على الفيلم بصورة أقواس دوائر متعرجة. محور المخروط (1) يقابل الزاوية $\theta = 0^\circ$ ومحور المخروط (2) يقابل الزاوية $\theta = 180^\circ$ ، وهذه الزوايا تؤثر على الفيلم وهي لا تعتمد على عدم دقة

والشكل (4 - 26) يمثل تخطيطاً للكمية وضع العداد R (المتصل بجهاز راسم) بالنسبة للعينة "0" وبالنسبة للمصدر S حيث وضع مسددان عند S و R للحصول على حزمة ضيقة. تختار المسافتان $0S$ و $0R$ متساويتان. خلال العمل يقوم العداد بالدوران حول "0" بسرعة زاوية ω بينما قد تقوم العينة "0" بالدوران حول نفسها بسرعة زاوية $\omega/2$ للبقاء على نفس شروط تركيز الأشعة المتعرج نحو العداد.

وأجهاز الرسم المتصل بالعداد يقوم (كما في الشكل 4 - 26) برسم طيف الانعراج (كمية الأشعة - زاوية براغ). المساحة تحت كل نهاية عظمي (انعكاس براغي) تسمى الشدة المتكاملة. والشدة المتكاملة في حالة المسحوق تعتمد على العوامل التالية:

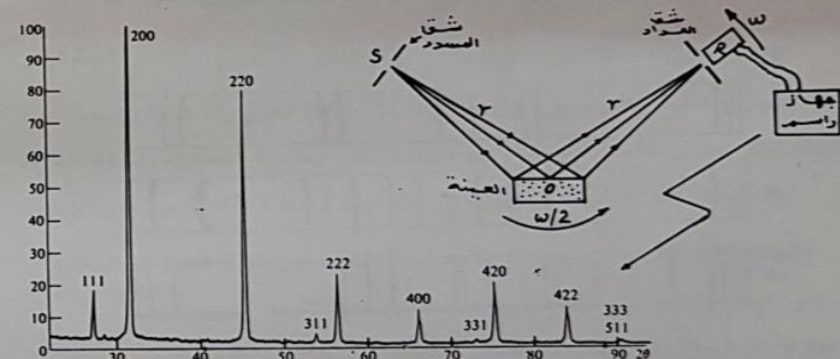
- 1 - مربع السعة في المعادلة (4 - 32) A^2
- 2 - عامل البنية F_1^2
- 3 - عامل التشتيت الذري f_r
- 4 - عامل الحرارة (المعادلة 4 - 60)
- 5 - العوامل العملية الأخرى:

1 - عامل التعددية (*Multiplicity factor*)
ويرمز لهذا العامل بالرمز $M_{\text{عدد}}^{\text{عدد}}$. وهذا العامل ينشأ عن الحقيقة العامة بوجود عدد من مجاميع المستويات المتوازية والتي لها توجهات مختلفة في البلورة ولكنها متماثلة فيما بينها من ناحية الفاصلة $\frac{\lambda}{2}$. وعدد هذه المجاميع من المستويات يسمى التعددية. هذا العامل يعتمد على القرائن λ (كم) وعلى تناول البلورة.

فمثلاً للبلورة المكعبية لدينا مجاميع المستويات المتوازية التي لها نفس الفاصلة: $1/2(\sqrt{h^2 + k^2 + l^2})$ $\text{كم} = \frac{\lambda}{2}$:

(64-4) $2\theta = \frac{S}{D/2} \frac{180^\circ}{\pi} = \frac{180^\circ}{\pi}$
حيث θ - زاوية براغ لانعكاس معين مقاسة بالدرجات، D - قطر حجرة الانعراج الاسطوانية. وتُصنَع حجرة الانعراج بحيث أن قطرها يساوي $D = \frac{180}{\pi} = 57,3$ ملم عند $\theta = 0$ (بالدرجات). وبما أن كل قوسين متقابلين تابعين لحلقة واحدة يمثلان انعكاس عن مجموعة المستويات المتوازية (أكسل) زاويته θ ، لذلك يمكن معرفة كل زوايا براغ عملياً، وبالتالي معرفة الفاصلات $\frac{\lambda}{2}$ من خلال قانون براغ للمستويات التي أحدثت الانعراج.

والطريقة الحديثة لتسجيل طيف الانعراج هو باستعمال عدادات* بدلاً من الفيلم.

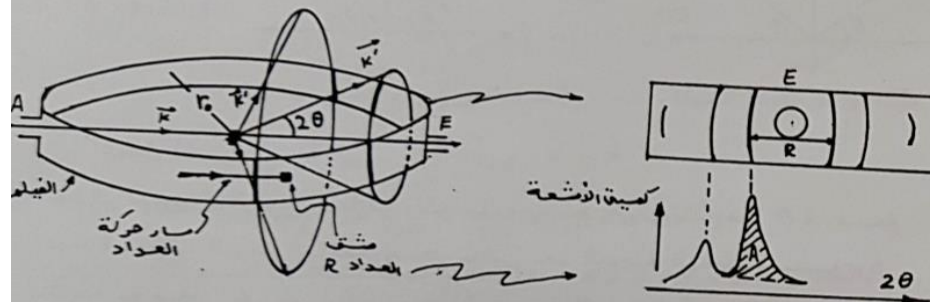


شكل (4 - 26)

تسجيل مخطط (طيف) انعراج مسحوق MgO باستعمال اشعاع $\text{CuK}\alpha$ المُصنَّع
بصفة ٨٦ (المرجع: ص ٥٥، B.E. Warren).

* مثل عداد كايكر أو العداد الومضي.

معنى هذا، أن كمية الاشعاع المقاسة بالعداد أو المسجلة على الفيلم تتناسب مع الكمية $(\sin \theta / 2)$ المعتمدة على قيمة زاوية برااغ وبالتالي على طول موجة الاشعة المستخدمة. ونسمي الكمية λ عامل طول القوس حيث

$$\frac{1}{\sin 2\theta}$$


شكل (4 - 27)

3 - عامل الاستقطاب P : بينت التجارب بأنه عند سقوط أشعة سينية مستقطبة سعتها A وانعكاسها فإن الموجة المنعكسة المستقطبة أيضا تكون ذات سعة A متناسبة مع مركبة سعة الأشعة الساقطة في اتجاه استقطاب الاشعة المنعكسة. فإذا كانت الأشعة الساقطة مستقطبة في اتجاه عمودي على مستوى السقوط-الانعكاسي (مستوى الرسم في الشكل 4 - 28) فإن الأشعة المنعكسة ستكون مستقطبة بنفس اتجاه استقطاب الأشعة الساقطة. وعندما يكون استقطاب الأشعة الساقطة في

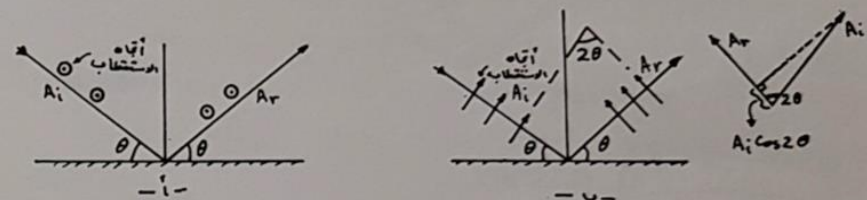
$m_{100} = 6$
 $100,010,010,001,001$
 $110,110,110,101,101,011,011,011$
 $111,111,111,111,111,111,111$
 $m_{111} = 8$
 12
 $m_{110} = 12$
 $110,110,110,101,101,011,011,011$
 $111,111,111,111,111,111,111$
 $m_{101} = 8$
 $101,011,011,011,011,011,011,011$
 $111,111,111,111,111,111,111,111$
 $m_{010} = 8$
 $010,010,010,010,010,010,010,010$

وأعلى تعدادية للفترة المكعبية تساوي 48، وللرباعية 16، وللمعینية المستقيمة 8.

فمثلا، تحقق شرط الانعكاس عن المستويات المتوازية (100) في بليرة معینة θ . بينما في بليرة أخرى تتعكس الاشعة بنفس الزاوية θ ولكن المستويات العاكسة هذه المرة هي المستويات المتوازية (010)، وهكذا لذلك للمسحوق (الذي بليراته متوجهة بشكل عفوی) تكون كمية الاشعة المنعكسة بزاوية معینة نتاجا لعملية تراكب كل الانعكاسات الناشئة عن كل مجامع المستويات المتوازية التي لها نفس الفاصل وعدها m_{hk0} . ولنفس السبب تتناسب كمية الاشعة المنعكسة بزاوية معینة θ مع العدد m_{hk0} . وهذا ما نسميه عامل التعدادية .

2 - عامل طول القوس λ : الاشعة السينية المنعكسة عن العينة - المسحوق تكون موزعة بخاريط فضائية، كل مخروط للاشعة المنعكسة يقابل λ_{hk0} معینة . والمخروط الواحد محوره هو الاشعة الساقطة كما في الشكل (4 - 27) وبنصف زاوية رأس 2θ (حيث θ = زاوية برااغ) ومحيط قاعدة المخروط الدائرية يساوي $2\pi R \sin 2\theta$ حيث R = بعد العداد أو الفيلم عن العينة . ولكن كمية الاشعة السينية المقاسة هي التي تقابل الاشعة المنعكسة لجزء من محيط قاعدة المخروط . وهذا الجزء يحدد بوحدة طول الخط السيني على الفيلم الحساس أو بطول شق العداد a . وعموما، كمية الاشعة المقاسة لوحدة طول محيط قاعدة المخروط بالنسبة للمقدار الكلي للاشعة في المخروط تساوي $\frac{1}{\pi R \sin 2\theta}$.

مستوى السقوط - الانعكاس (الشكل 4 - 28 ب) فإن الأشعة المنعكسة ستكون مستقطبة



شكل (4 - 28)

أيضاً في مستوى السقوط - الانعكاس ولكن يتوجه يصنع زاوية مقدارها θ مع اتجاه استقطاب الموجة الساقطة، عندئذ ستكون شدة الموجة المنعكسة A_r متتناسب مع مسقط A_i على اتجاه استقطاب الموجة المنعكسة أي متتناسب مع الكمية $A_i \cos 2\theta$ الأصغر من A_i ، معنى هذا أن شدة الأشعة المنعكسة في هذه الحالة تكون أقل من شدة الأشعة الساقطة.

وإذا كانت الأشعة الساقطة غير مستقطبة فيمكن حيئن تحليلها إلى موجتين مستقطبتين، كل واحدة يتبعها نصف الشدة (أي بجمع الشكلين 1 و 2 في الشكل 4 - 28)، عندئذ تتتناسب شدة الموجة المنعكسة مع الكمية التي تسمى عامل الاستقطاب $P = \frac{1 + \cos 2\theta}{2}$. والموجة المنعكسة ستكون مستقطبة جزئياً (يسبب نقصان شدة المركبة المنعكسة التي تذبذبها مواز لمستوى السقوط - الانعكاس). وعند الزاوية $\frac{\pi}{2} = \theta$ تكون الموجة المنعكسة مستقطبة كلياً في اتجاه "المركبة" التي تذبذبها عمودياً على مستوى السقوط - الانعكاس.

4 - عامل لوزنتر : أن الانعكاس يمكن أن يحدث حتى عندما يكون اتجاه المستويات العاكسة في البليارات لا يحقق تماماً شرط براغ بل أن زاوية ميل المستويات عن الشعاع المنعرج تختلف قليلاً عن زاوية براغ θ . إن هذا يكفي، القول بأن عقد الشبكة المعكوسة (وهي خريطة الأشعة السينية المنعرج) لها حجم مغير Δ لا يساوي صفرًا. وعند قطع كرة أليوالد لأية نقطة من هذا الحجم Δ يحدث الانعكاس. وعملية قطع العقدة Δ لكرة أليوالد تستغرق وقتاً مقداره Δ لأنها تصور عقد الشبكة المعكوسة للمسحوق وكأنها تدور في الفضاء حول عقدة واحدة مشتة "0" (واقعة على كرة أليوالد المثبتة) وذلك بسبب التوجهات العفوية للبليارات في الفضاء. وكثافة الأشعة السينية المنعكسة سوف تعتمد على الزمن Δ . والزمن Δ متتناسب مع الكمية $\frac{1}{2 \sin \theta}$. والعامل Δ الذي يؤثر على شدة الأشعة المنعكسة المقاسة عملياً يسمى عامل لوزنتر.

5 - عامل الامتصاص: انعكاس الأشعة السينية الساقطة يتم من كل النقاط داخل العينة - المسحوق، لذلك فشدة الأشعة السينية تضعف نتيجة الامتصاص حيث $\propto e^{-\mu t}$ حيث t - معامل الامتصاص الخطى، و x - المسافة التي تتحركها الأشعة داخل العينة وهي تساوي كما في الشكل (4 - 29) إلى $A_p + PB = \frac{2}{5} \sin \theta$ حيث θ - زاوية براغ لأن سطح العينة - المسحوق هو دائماً يشكل زاوية انعكاس براغية، وذلك لأنه متكون من بليارات بتوجهات عفوية. وبما أن الأشعة تدخل إلى داخل العينة لمسافات مختلفة (وتلك التي تتعقب كثيراً تمتلك كلها) لذلك فـأن

$$(66-4) \quad m_{hkl} (LP)_{hkl} (F_T)_{hkl}$$

والعامل الحراري موجود ضمن عامل البنية، وهي يمكن أن تسمى بالشدة النسبية المنشعة المقاسة عملياً من المساحة A تحت القمة كما في الشكل (4-27).

مثال: البلورات المكعبية: الفاصلة بين المستويات المختلفة للبلورات المكعبة تعطى بالعلاقة:

$$(67-4) \quad d_{hkl} = \alpha / (\lambda^2 + k^2 + l^2)^{1/2}$$

حيث α - ثابت الشبكة. عندئذ يأخذ قانون برااغ الصورة التالية:

$$2d_{hkl} \sin \theta_{hkl} = n\lambda$$

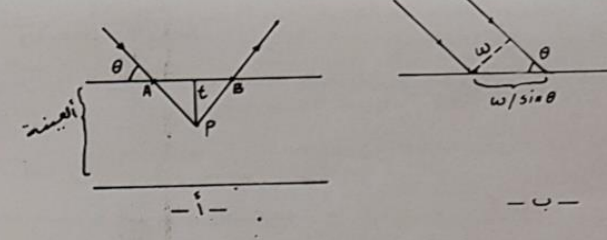
$$(68-4) \quad \frac{A}{\lambda^2} \sin^2 \theta_{hkl} = \frac{1}{\alpha^2} (\lambda^2 + k^2 + l^2)$$

يرمز بالمعنون $N = \lambda^2 / (\lambda^2 + k^2 + l^2)$ - عدد صحيح قيمة التصاعدية حسب الجدول التالي:

hkl	N	hkl	N	hkl	N
100	1	-	-	222	12
110	2	220	8	320	13
111	3	221 300 أو 221 300	9	321	14
200	4	310	10	-	-
210	5	311	11	400	16
211	6	-	-	-	-

حيث يلاحظ غياب الأرقام 15, 7, ..., الخ، لونستروم على نفس منوال الجدول السابق لاكتشافنا غياب الأرقام (غير المسموح بها) وهي 23, 28, 31, 39, ... الخ، أي المساوية إلى $(8n + 7) / 4 = N$ حيث n أعداد صحيحة بضمها الصفر.

وهنا يجب تذكر الشروط (4-46) للشبكة bcc و (4-49) للشبكة fcc . العلاقة (4-68) تضمن سهولة تأشير (Indexing) مخطط انعراج المسحوق:



شكل (4-29)

الامتصاص الكلي متاسب مع التكامل $\int_0^\infty \frac{-2\pi t}{e^{sin\theta}} dt = \frac{\sin\theta}{2\pi}$ أي أن عامل الامتصاص متاسب مع زاوية برااغ.

وأن نفرض أن مقطع حزمة الاشعة الساقطة يساوي w وهذه الحزمة تميل عن سطح العينة بزاوية براغية θ ، لذلك فمساحة جزء سطح العينة المشع يساوي $w \sin\theta$. وبجمع تأثيراً عامل زاوية التشبع وعامل الامتصاص على شدة الاشعة المنشعة ينتج التأثير العام متناسباً مع $(1/w)$ لكل زوايا برااغ. أي أن مجموع هذين العاملين لا يعتمد على زاوية برااغ أو (hkl) .

نسمي العامل

$$(65-4) \quad LP = \frac{1 + \cos^2 2\theta}{\sin\theta \sin 2\theta}$$

عامل لوزنتر - الاستقطابي. لذلك فإن كمية الاشعة المنشعة (في زاوية برااغ معينة) المقاسة عملياً متاسبة مع الكمية:

وباستخدام المعادلة (4 - 68) نجد قيم λ . مع العلم أن أدق قيم للثابت λ تتبع عن زوايا براغ الكبيرة، لذلك يُؤخذ للزوايا الكبيرة "وزن" أكبر عند حساب معدل λ .

(د) نحسب قيم $\frac{\sin \theta}{\lambda}$ وندرجها في العمود (6)، ثم نأخذ من جداول الأشعة السينية قيم عامل التشتت f_{hkl}^A كدالة لقيم $\frac{\sin \theta}{\lambda}$ ونحوذلها في العمود 7 الذي قد يمثل عمودين إذا كانت المادة المدرستة مركبة مثل MgO . عندئذ تُؤخذ من الجداول f_{hkl}^{NA} و f_{hkl}^{CL} .

(هـ) نحسب عامل البنية f_{hkl}^M للمادة المدرستة طبقاً للمعادلة (4 - 43) بعد معرفة تركيبها البلوري من معلومات العمود (4). أي ملاحظة الانعكاسات الممتوحة.

(و) نحسب عامل التكرار، وهو بالنسبة للمجموعة المكعبية عبارة عن عدد طرق تبديل موقع h^+, k^+, l^+ وندرجها في العمود (9):

$$m_{420} = m_{422} = m_{331} = m_{333} = 12, m_{220} = 24, m_{222} = 5, m_{111} = 5, m_{000} = 6$$

وعامل لوزنتر - الاستقطابي يحسب من المعادلة (4 - 65) ويجدول في العمود (10).

(ز) نحسب المساحات تحت كل قيمة (hkl) في مخطط الانعراج بوحدات اختيارية A_{hkl} . ونجدول هذه القيم العملية في العمود (12). إن المساحة A_{hkl} تبقى الشدة المكاملة وهي تساوي (طبقاً للمعادلة 4 - 66) تقريباً:

$$A_{hkl} = K \left(\frac{m_{hkl}}{hkl} \right)^2 \left(\frac{LP}{hkl} \right) e^{-2B \frac{\sin^2 \theta}{\lambda^2}}$$

$$(69-4)$$

(إ) تفاص الزاوية θ عملياً ومنها نستنتج كل القيم $\frac{4 \sin^2 \theta}{\lambda^2}$ حيث λ - طول موجة الأشعة السينية المستخدمة . وهذه القيم تجدول حسب الجدول التالي:

1	2	3	4	5	6	7	8	9	10	11	12	13
$2\theta^\circ$	$\frac{45 \sin^2 \theta}{\lambda^2}$	N	m_{hkl}	$a(\text{\AA})$	$\frac{\sin \theta}{\lambda}$	f_{hkl}^A	f_{hkl}^2	m_{hkl}	LP	$(F_m(LP))_{hkl}$	A_{hkl}	نظرية عملية
27,3	0,0140	3	111	5,65	0,154	8	33,5	91

(ب) - وعند تقسيم قيم العمود (2) على قاسم مشترك (مقداره λ^2) فالنتائج تكون قريبة من أعداد صحيحة N . لذلك سنبحث على القاسم المشترك هذا الذي ينتج نتائج قريبة من أعداد صحيحة لكل عناصر العمود (2). أولاً نعتبر القاسم المشترك متساوياً إلى أقل قيمة عملية للكمية $\frac{45 \sin^2 \theta}{\lambda^2}$ ولتكن 0,014 (مثلاً). فإذا لم نحصل على ما نرغب فيه ، نختار القاسم المشترك $\frac{0,014}{2}$ أو $\frac{0,014}{3}$: إلى أن نحصل على قيم N لكل زوايا الانعكاس (hkl) ونحوذلها في العمود 3.

(ج) - من قيم N نستخرج قيم f_{hkl} (تأشير الانعكاسات) مستفيدين من الجدول السابق ومذكرتين عدم وجود انعكاسات عندما $f_{hkl} = 0$ طبقاً للشروط (4-46 و 49) للشبكتين bcc و fcc على التوالي. في بعض الحالات تقابل قيم N لنوعين من القرائن أو أكثر (مثلاً 221 و 300 تكون $N = 9$ ، و 511 و 333 تساوي $N = 27$) معنى هذا أن مخروط الانعكاس ناتج عن تراكب الانعكاسين من المستويات (221) و (300)، مثلاً.

لذلك فتأشير وتحليل مخطط الانعراج للبلورات الغير مكعبه يتم عن طريق التجربة والخطأ باستخدام الكمبيوتر ، أو باستخدام الطرق البيانية كبيانى هل - ديفي (Davey - Hull) الذي يصلح للبلورات السادسية . وسوف لا نقوم بدراسة هذا الجانب في هذا الكتاب .

وأخيراً نحدد هيئة تخطيطية للانعكاسات المسمومة من قبل العناصر المكعبة

البسيطة و f_{cc} و b_{cc} والumas، وذلك حسب ترتيبها بزيادة θ .

	$h+k+l$	$h+k$	h	$k+l$	k	l
1	(100)	—	—	—	—	—
2	(110)	—	—	—	—	—
3	(111)	—	—	—	—	—
4	(200)	—	—	—	—	—
5	(210)	—	—	—	—	—
6	(211)	—	—	—	—	—
7	(220)	—	—	—	—	—
8	(221) أو (300)	—	—	—	—	—
9	(310)	—	—	—	—	—
10	(311)	—	—	—	—	—
11	(222)	—	—	—	—	—
12	(320)	—	—	—	—	—
13	(321)	—	—	—	—	—
14	(400)	—	—	—	—	—
15	اتجاه زيادة θ	—	—	—	—	—
16	عدد فوري = $h+k+l$	أرقام متتالية: $-4, -3, -2, -1$	أرقام متقطعة: $1, 2, 3, 4$	$4+2 = 6$	$4+4 = 8$	$4+6 = 10$

حيث $A_{hk\ell}$ ثابت التناسب المعتمد على ضروف اجراء تجربة الانعراج . نرسم العلاقة البيانية بين $\frac{A_{hk\ell}}{\sin^2 \theta}$ ضد $\frac{h^2 + k^2 + l^2}{4a^2}$ ونمرر احسن خط مستقيم لنجد منه قيم a و b . بهذه القيم التقريرية نعيد حساب $A_{hk\ell}$ من المعادلة (4 - 69) ونعتبرها قيم نظرية وندرجها في العمود (13) . عندها نستطيع مقارنة العمودين (12) و (13) أي بين القيم النظرية والعملية .

ملاحظة: لقد لاحظنا سهولة تأشير وبالتالي تحليل مخطط انعراج مسحوق البلورات المكعبة . وهذا ناشيء عن وجود ثابت واحد للشبكة البلورية α . وبسبب ذلك وطبقاً للجدول السابق (قيم α) فإن تتابع خطوط الانعراج يتم عموماً في الصورة (100, 100, 110, 110, 111, 111, 200,... الخ) ، عدى اختفاء بعض الخطوط بحكم كون $F_{hk\ell} = 0$ لها ، ولكن التتابع يبقى نفسه لأي تركيب بلوري مكعب . وتزول السهولة عند دراسة البلورات الغير مكعبة . فهذه البلورات تملك ثابتين أو ثلاثة للشبكة وتعقد ذلك العلاقة بين hkl وشوابت البلورة (a, b, c) والفوائل $d_{hk\ell}$.

فضلاً للبلورة الرباعية حيث $b = a$ لدينا:

$$\frac{1}{d_{hk\ell}^2} = \frac{h^2 + k^2}{a^2} + \frac{l^2}{c^2} \quad (70-4) \quad \text{حيث } \sin^2 \theta = \frac{\lambda^2}{4a^2} + \frac{\lambda^2}{4c^2}$$

أن عدم تساوي c مع a (مقارنة بالمعادلة 4 - 67) يعقد الأمور . فمن جهة يزداد عدد الانعكاسات لأن قيمة $d_{hk\ell}$ تكون مختلفة عندما تتبدل موقع h, k, l . فمثلاً الانعكاس 101 يوجد في موضع مختلف عن الانعكاس 110 وهذا لا يحدث في البلورات المكعبة . ومن الجهة الثانية لا يبقى ترتيب تأشير الانعكاسات ثابتاً لكل مخططات الانعراج للمواد المختلفة ذات البلورات الرباعية ، فمثلاً ، الانعكاس 200 قد يقع على آية مسافة قبل أو بعد الانعكاس 111 اعتماداً على (c/a) للبلورة المدرستة .

2 - في تجربة ديباي-شركمان طول الموجة المستخدم $\lambda = 1,54 \text{ \AA}$ والمسحوق البلوري المستخدم من النوع bcc ثابت الشبكة $a = 3,5 \text{ \AA}$

ما هي قرائن الانعكاس (hkl) الملائمة الى أعظم زاوية براغية θ_{\max}

الحل:

نستخدم معادلة براغ:

$$\frac{4a^2 \sin^2 \theta}{\lambda^2} = h^2 + k^2 + l^2 = N$$

$$20,6611 \sin^2 \theta = N$$

حيث N - عدد صحيح ، $\sin^2 \theta < 1$ اذن $20 \leq N$ وأعلى قيمة N هي 20 تلائم القرائن (420)، وأعلى زاوية براغية $\theta_{\max} = \theta_{420}$ هي

$$\sin^2 \theta_{420} = 0,968, \quad \sin \theta_{420} = 0,9838,$$

$$\theta_{420} \approx 80^\circ$$

مرينات الفصل الرابع

1- شدة اشعاع التباطؤ (أو الاشعاع الخلفي) Back-ground الناتج عن أنبوبة الاشعة السينية (I_{ph}) هي:

$$I_{ph} \propto i \cdot z \cdot V^2$$

حيث i - تيار شعيرة الأنبوبة، z - العدد الذري للممعد (الهدف)، V - فرق جهد الأنبوبة. وشدة الاشعة السينية المميزة تناسب مع:

$$I_k \propto i \cdot (V - V_k)^{3/2}$$

حيث V_k - فرق جهد عتبة الخط السيني (هو أقل فرق جهد لازم لاشعاع الخط السيني).

ا - أحسب V_k لأنبوبة الهدف فيها $i = 100$ وتنكستن W .
ب - لغرض الحصول على نسبة معينة $\frac{I_k}{I_{ph}}$ (نسبة القمة / الخلفية) يجب اختيار فرق جهد V معين. ما هو فرق الجهد اللازم للحصول على أعلى قيمة لنسبة (القمة / الخلفية).

الحل:

$$eV_k = hV_k = \frac{hc}{\lambda_k}, \quad V_k = \frac{hc}{e\lambda_k} \quad 1$$

$$V_k = \frac{1,2407 \cdot 10^{-6}}{\lambda_k} \text{ V.m}; \text{ Cu } V_k = \frac{1,2407 \cdot 10^{-6}}{1,54 \cdot 10^{-10}} = 8,056 \text{ KV.}$$

$$W V_k = \frac{1,2407 \cdot 10^{-6}}{0,21 \cdot 10^{10}} = 59,081 \text{ KV}$$

$$\frac{I_k}{I_{ph}} \propto \frac{V^2}{(V - V_k)^{3/2}}, \quad \frac{d(I_k/I_{ph})}{dV} = 0 \quad 2$$

$$V = 4 V_k$$

3 - استخدمنا حزمة أشعة سينية من مصعد حديدي Fe له $\lambda_{\text{Fe}} = 1,939 \text{ \AA} = 1,939 \times 10^{-10} \text{ m} = 1,939 \text{ pm}$. مررت هذه الحزمة خلال مرشحة من المتفجر لها حافة الامتصاص λ تساوي $1,896 \text{ \AA}$ ، والحزمة النافذة استعملت في دراسة بلورة مكعبية غير الماسية ثابت شبكتها $a = 5,42 \text{ \AA}$.

(أ) ما هو طول موجة الشعاع النافذ من المرشحة.

(ب) ما هي زاوية براغ θ الموافقة للانعكاس 300.

(ج) في الحقيقة لا يظهر هذا الانعكاس، ماذاستنتج.

(د) وإذا استعملنا حزمة الاشعة السابقة من دون امرارها بالمرشحة فيظهر انعكاس عند الزاوية θ تقريباً فما هي قرائن المستويات المحدثة له.

(هـ) ما هو التركيب البلوري للبلورة المستعملة.

١- تمتض المرشحة أساسا الخط K_F وتترك K_F يمر من خلالها بدون امتصاص كبير. أي أن طول موجة الاشعة النافذة هي $1,939 \text{ \AA}$.

$$2ds \sin \theta = \lambda^2 \quad \frac{\alpha}{\sqrt{h^2 + k^2 + l^2}} \sin \theta = \lambda_{\text{Fe}}$$

$$\sin \theta_1 = 0,5366 \quad \theta_1 = 32^\circ$$

ج - عدم ظهور الانعكاس (300) يعني أن البلورة ليست sc .

$$d = \frac{4\alpha^2 \sin^2 \theta_1}{\lambda_{\text{Fe}}^2} \approx 11 \rightarrow (hkl) = (311) \rightarrow \text{FCC}$$

٤ - احسب عامل التشتت الذري f لجمع الكترونات (عددتها Z) منتظم داخل كرة نصف قطرها R

الجواب : كثافة الشحنة ثابتة اي أن :

$$e = Z \pi r^2. \text{ ومن تعريف } f \text{ نجد:}$$

$$f_{hkl} = 4 \pi \int_0^R \rho(r) r^2 \frac{\sin Gr}{Gr} dr$$

$$\text{اجعل } x = Gr \quad \text{نجد:}$$

$$f_{hkl} = \frac{2\pi \rho}{G^3} \int_0^{GR} x \sin x dx$$

وبطريقة التجربة نجد التكامل :

$$f_{hkl} = \frac{4\pi \rho}{G^3} (-GR \cos GR + \sin GR)$$

وعندما تكون $1 > GR > 1$ نهمل الحد الثاني بالنسبة للأول لنجد:

$$f_{hkl} = \frac{2\pi}{G^3} \frac{ze}{\frac{4}{3}\pi R^3} GR \cos GR \sim G^{-2} \cos GR$$

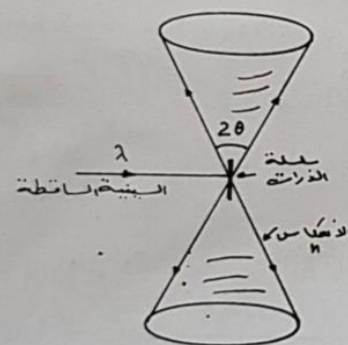
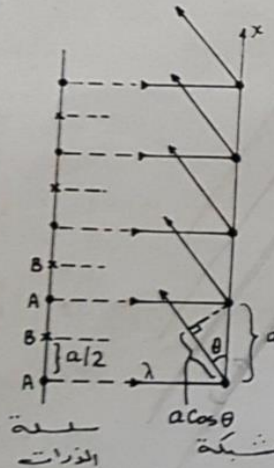
- الشحنة الكلية.

6 - ندرس سلسلة من الذرات $ABABA\cdots$ بحيث أن المسافة $A-B$ تساوي $\frac{a}{2}$. عامل التشتت الذري للذرات A و B هو على التوالي f_A و f_B . حزمة أشعة سينية تسقط بصورة عمودية على خط الذرات.

1 - ما هي شروط التداخل البنا.

ب - ما هي علاقة شدة الحرزة المنعarga مع f_A و f_B .

الحل : نستبدل كل ذرتين A و B بعقدة كما في الشكل المجاور. واحداثيات الذرات (القاعدة) بالنسبة لآية نقطة عقدة هي $(0,0,0)$ و $(\frac{1}{2},0,0)$.



شكل تمرن 6

هذه العقد هي مراكز التشتت. فرق المسار بين كل شعاعين متحاوريين مُمكّن

5 - ما هي طبيعة المعد في أنبوبة الأشعة السينية اللازم لاعطاء خط طيفي K_α يستطيع أن ينعكس براغياً عن المستويات (110) لبلورة مكعب ثابتها $A = 3,6$ أنكستروم استخدم نموذج بور.

الحل: لكي ينعكس خط سيني طول موجته λ عن المستويات البلورية (110) يجب أن يتحقق شرط براوغ $\lambda = \frac{2d \sin \theta}{n}$ ، أي يجب أن يكون $\lambda = 2d \sin \theta$ أو أن $\lambda_{\text{max}} = \frac{2d}{n}$.

$\lambda_{\text{max}} = 5,08 \text{ \AA}$ ، وطاقة فوتون الأشعة السينية يساوي :

$$E_{\text{high}} = \frac{hc}{\lambda_{\text{max}}} \approx \frac{12400}{\lambda_{\text{max}} (\text{\AA})} \approx 2.440,94 \text{ eV}.$$

ومن نظرية بور للإشعاع :

$$E = R Z^2 \left(\frac{1}{n^2} - \frac{1}{m^2} \right)$$

حيث $R = 13,6 \text{ eV}$ وللخط $K_\alpha = 2 + h = 1$ ، نجد أن $\lambda = 15,4 \text{ \AA}$.
فلكي تتحقق شروط السؤال يجب أن تكون $15 > \lambda$ ، فالمعد يمكن أن يكون Fe_{26} مثلا.

ج - سلسلة من ذرات الكاربون متقاربة مع بعضها أزواجاً أزواجاً كما في الشكل بحيث أن $a = 4\text{ \AA} = 5\text{ \AA}$. عموديا على خط السلسلة سقطت أشعة سينية أحادية اللون $\lambda = 0,5\text{ \AA}$ فانعرجت:

- ١ - ما هو شرط التداخل البناء.
- ب - عين عامل بنية القاعدة، ثم أحسب نسبة شدة الأشعة المنعكسة من قبل كل ذرات السلسلة (I_3) إلى شدة الأشعة المنعكسة عن ذرات قاعدة واحدة (I_1).
- ج - رتب النتائج كتطبيق عددي.

الجواب :

١ - الشكل المجاور يبين عقد الشبكة وهي واقعة على خط مستقيم بحيث تكون المسافة بين كل عقدتين a . أما قاعدة الشبكة فمكونة من ذرتين أحاديثما بالنسبة لایة عقدة $(0,0,0)$ و $(\frac{1}{4}, 0, 0)$.

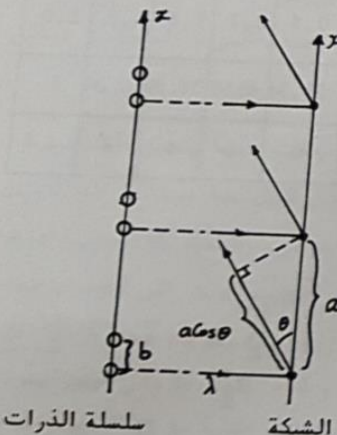
فرق المسار بين كل شعاعين منتعجين عن عقدتين متجاورتين يساوي

$\Delta = a \cos \theta$. ويحدث التداخل

البناء عند ما:

$$\lambda = a \cos \theta = n$$

وهذا شرط التداخل البناء.



شكل تمارين ٦

زاوية θ عن مراكز متجاورين يساوي $\Delta = a \cos \theta$. ولكي يكون التداخل بناء، فان:

$$\Delta = n\lambda \rightarrow a \cos \theta = n\lambda$$

حيث λ - طول موجة الأشعة الساقطة، n - عدد صحيح. وهذا هو المطلوب - ١.

ب - نحسب عامل بنية القاعدة حسب تعريفه :

$$(R^2 f_A + R^2 f_B + Z^2 f_C) e^{i k R \cos \theta} = \sum_z f_z e^{i k z}$$

لدينا أحداشي واحد هو $-x$. وأصغر شعاع "للشبكة" المعكوس هو $\frac{2\pi}{a} = \vec{k}$ ، $\vec{G}_0 = \vec{b}$ ، $\vec{G} = \vec{b} + \frac{2\pi}{a} \hat{x}$ اذن:

$$F(\lambda) = \sum_z f_z e^{i k z} = f_A + f_B e^{\frac{i 2\pi x}{a}} = f_A + f_B e^{i \frac{2\pi x}{a}}$$

وستة الأشعة المنعكسة تتناسب مع :

$$I \sim |f_A + f_B|^2 \quad \text{- زوجي}$$

$$I \sim |f_A - f_B|^2 \quad \text{- فردي}$$

في الحقيقة، ان الأشعة المنعكسة تكون على هيئة مخروط زاوية لأن $\theta < 2$.

٩-١- أحسب شدة الاشعة السينية المترعرجة كدالة للتبغ Δk .

- ب - ثم استنتج شروط لاوي للانعراج.
- ج - قدر عرض قمة انعكاس لاوي.

الحل:

١- نبدأ من معادلة حساب سعة الموجة المترعرجة:

$$A_{\Delta k} = \sum_{n=0}^{\infty} e^{-in(\vec{a}_1 \cdot \vec{\Delta k})}, \quad R = n_1 \vec{a}_1 + n_2 \vec{a}_2 + n_3 \vec{a}_3$$

نفرض أن n^3 هو عدد الخلايا الأساسية (أو عدد العقد) للشبكة المدرورة، إذن:

$$(1) A_{\Delta k} = \sum_{n=0}^{n^3-1} e^{-in(\vec{a}_1 \cdot \vec{\Delta k})} = \sum_{n_2=0}^{n^3-1} e^{-in_2(\vec{a}_2 \cdot \vec{\Delta k})} = \sum_{n_3=0}^{n^3-1} e^{-in_3(\vec{a}_3 \cdot \vec{\Delta k})}$$

$$(2) \sum_{m=0}^{n^3-1} x^m = \frac{1-x^{n^3}}{1-x} \quad \text{وباستعمال العلاقة:} \\ \text{إذا:}$$

$$(3) A_{\Delta k} = \left(\frac{1-e^{-in(\vec{a}_1 \cdot \vec{\Delta k})}}{1-e^{-in(\vec{a}_1 \cdot \vec{\Delta k})}} \right) \left(\frac{1-e^{-in(\vec{a}_2 \cdot \vec{\Delta k})}}{1-e^{-in(\vec{a}_2 \cdot \vec{\Delta k})}} \right) \left(\frac{1-e^{-in(\vec{a}_3 \cdot \vec{\Delta k})}}{1-e^{-in(\vec{a}_3 \cdot \vec{\Delta k})}} \right)$$

وشدة الحرزة $I = A_{\Delta k}^2$ تُحسب حداً حداً:

$$(4) I^{(1)} = \frac{1-e^{-in(\vec{a}_1 \cdot \vec{\Delta k})}}{1-e^{-in(\vec{a}_1 \cdot \vec{\Delta k})}} \times \frac{1-e^{-in(\vec{a}_2 \cdot \vec{\Delta k})}}{1-e^{-in(\vec{a}_2 \cdot \vec{\Delta k})}} = \frac{1-\cos n(\vec{a}_1 \cdot \vec{\Delta k})}{1-\cos(\vec{a}_1 \cdot \vec{\Delta k})} = \frac{\sin^2 \frac{n}{2}(\vec{a}_1 \cdot \vec{\Delta k})}{\sin^2 \frac{1}{2}(\vec{a}_1 \cdot \vec{\Delta k})}$$

حيث استعملنا تعريف الجيب تمام بدلالة الاس العقدي وعلاقة جيب تمام زاوية

ب - نطبق تعريف عامل البنية لإحداثي واحد:

$$F_n = \sum_{j=1}^s f_j e^{jn\pi \frac{x_j}{2}} = f(1+e^{jn\pi \frac{x}{2}}).$$

حيث $f_{1/4} = f_0 = f$ لأن الذرات متعاقبة. ونميز ثلاثة حالات:

$n = 4k$ - زوجي

$$F_n = 2$$

$$I_T = 4I_r$$

$n = 2(2k+1)$ - زوجي

$$F_n = 0$$

$$I_T = 0$$

n - فردي

$$F_n = f(1+i)$$

$$I_T = 2I_r$$

حيث k - عدد صحيح.

ج - تطبيق عددي:

n	1	2	3	4	5	6	7	8	9	10
$\cos \theta = \frac{n\lambda}{a}$	0,1	0,2	0,3	0,4	0,5	0,6	0,7	0,8	0,9	1,0
θ°	84,26	78,47	72,55	64,50	60	53,14	45,58	36,87	25,84	0
I_T / I_r	2	0	2	4	2	0	2	4	2	0

والشكل المجاور يبين تصوير هذه الدالة للقيمة $20 = h$ ، حيث تبلغ أعلى قمة القيمة h^2 ، وكلما ازدادت h كلما ارتفعت القمة وتحفت . وللبلورات الحقيقة h أكبر بكثير من 20 لذلك نستطيع القول أن الدالة $I = A_{\Delta k} \cdot \sin^2 N x_i / \Delta k$ تتبع $\sin^2 N x_i$. وشدة الأشعة كل مكان عدى منطقة ضيقة جدا حول القيم العظمى $x_i = h\pi$. وشدة الأشعة المنعجة تساوي صفرًا عدى في المناطق التي تقترب فيها النسب الثلاثة من قيمهم العظمى . لذلك تتحقق ثلاثة شروط للانتعاج في نفس الوقت :

$$(5) \quad R \cdot \Delta k = 2\pi h \cdot \Delta k = 2\pi k = 2\pi h$$

حيث h, k, l - أرقام صحيحة . وهذه هي معادلات أو شروط لاوي للحبيبة . ويمكن وضعها بشرط واحد ، فبضرب المعادلات على التوالي بالأرقام h, k, l ثم جمعها ينتج :

$$(6) \quad R \cdot \Delta k = 2\pi m$$

حيث $m = h + k + l$ - عدد صحيح . ومن تعريف الشبكة المعاكسة يتضح أن الكمية Δk تساوي أي أن شرط الانعكاس هو $\Delta k = \vec{G}$: مساوات التغير بشعاع الموجة لأحد أشعة الشبكة المعاكسة . وشدة الموجة المنعجة تساوي $I = A^2 = (N^3)^2$.

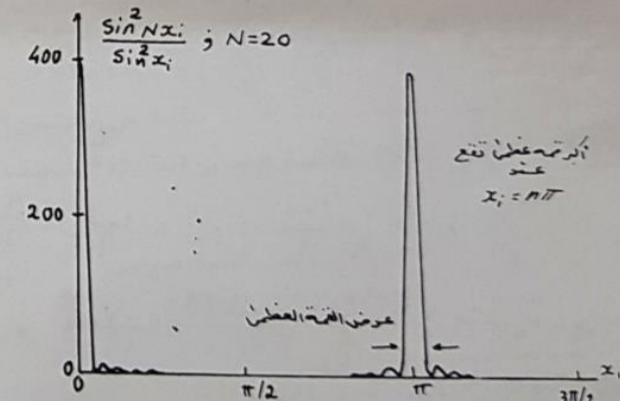
ج - عرض القمة الأعظم - انعكاس براغ - يحدث عندما يتحقق الشرط $R \cdot \Delta k = 2\pi h$ ، أي تغير Δk بمقدار قليل جدا حيث Δk تقابل \vec{G} . \vec{G} ، \vec{A}_1 ، \vec{A}_2 ، \vec{A}_3 و h تقابل h_0 و l على التوالي . والكمية N الصغيرة جداً تقابل عرض انعكاس براغ عندما تؤول الكمية $(\Delta k) = \frac{\pi}{2}$ إلى الصفر - تتعذر شدة الانعكاس : $\sin^2(\frac{\pi}{2}(A_i \cdot \Delta k)) = 0$. ومن قانون جيب جمع زاويتين نستنتج أن $\frac{2\pi}{N} = \epsilon = 0$ وهي أصغر قيمة للكمية N . أي أن عرض القيمة العظمى للانتعاج يتاسب عكسياً مع N الكبيرة جداً ، وهو صغير للغاية بحيث يجعلنا نظرياً اعتبار الشدة الكلية $I = N^3$ في موقعها المحددة بالشروط (5) وتساوي صفرًا في بقية المناطق .

سيب معها . وبنفس الأسلوب حسب الشدة الناتجة عن بقية الحدود لنجد في نهاية المطاف :

$$I = A_{\Delta k} \cdot \frac{\sin^2 \frac{\pi}{2}(A_i \cdot \Delta k)}{\sin^2 \frac{\pi}{2}(A_1 \cdot \Delta k)} = \frac{\sin^2 \frac{\pi}{2}(A_2 \cdot \Delta k)}{\sin^2 \frac{\pi}{2}(A_1 \cdot \Delta k)} = \frac{\sin^2 \frac{\pi}{2}(A_3 \cdot \Delta k)}{\sin^2 \frac{\pi}{2}(A_1 \cdot \Delta k)}$$

فالشدة المنعجة تعتمد على النسب الثلاثة أعلاه ، كل من هذه النسب في الصورة :

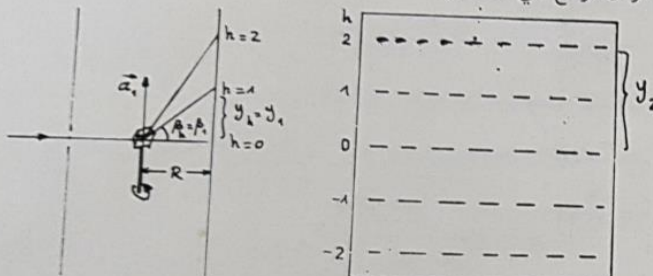
$$y = \frac{\sin^2 N x_i}{\sin^2 x_i} , \quad x_i = \frac{\pi}{2} n_i , \quad n_i = 1, 2, 3, \dots$$



شكل ثمانين 8

10 - في تجربة البلورة الدوارة، كانت البلورة مكعبية بسيطة تدور حول الاتجاه [100]. وكان طول موجة الاشعة السينية الساقطة $\lambda = 1,539 \text{ \AA}$ ونصف قطر حجر الانبعاث $46,2 \text{ ملم}$. ما هي قيمة ثابت شبكة البلورة (R) إذا كانت المسافة بين الانعكاس الاستوائي والمستوى الثاني للانعكاس $24,1 \text{ ملم}$.

الحل: السؤال موضح في الشكل.



شكل تمرين 10

$$\vec{\alpha}_1^0 = \vec{k} - \vec{k}_h \quad \text{و} \quad \vec{\alpha}_1^0 = 2\pi h$$

اذن:

$$(\vec{\alpha}_1^0 \perp \vec{k}) \quad \Rightarrow \quad (\vec{\alpha}_1^0 \perp \vec{k}_h)$$

$$\sin \beta_1 = \frac{h \lambda}{R} \quad \text{و} \quad \frac{h \lambda}{R} = \frac{h \lambda}{a_1} \quad \text{حاله السؤال:}$$

$$\sin \beta_2 = \frac{h_2 \lambda}{R} = \frac{24,1}{46,2} = 0,5216$$

$$\sin \beta_2 = 0,4624$$

$$a_1 = \frac{h \lambda}{\sin \beta_2} = \frac{2 \times 1,539}{0,4624} = 6,65 \text{ \AA}$$

9- بين بأن الأشعة النافذة المنعكسة عن مجموعة مستويات المنطقة في بلورة أحادية (مخطط لاوي) تشكل مخروطاً محوراً هو محور المنطقة.

الحل: محور المنطقة هو:

$$\vec{A} = (\vec{u}, \vec{v}, \vec{w})$$

وكل مستوى (hkl) ينتمي إلى المنطقة (u, v, w) فرائه تحقق المعادلة:

$$h\vec{u} + v\vec{v} + w\vec{w} = 0$$

شرط انعكاس لاوي هو:

$$\vec{k}' = \vec{k} + \vec{G} \quad (hkl)$$

اذن:

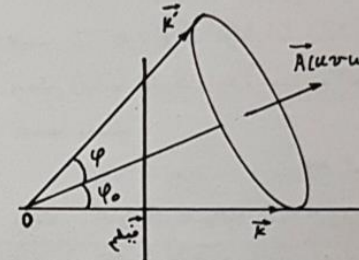
$$\vec{k}' \cdot \vec{A} = \vec{k} \cdot \vec{A} + \vec{G} \cdot \vec{A}$$

والقدر الأخير معروف لأن \vec{G}

عموديا على المستويات

(hkl) وبالتالي يكون

عموديا على المحور \vec{A} .



شكل تمرين 9

اذن: $\varphi = \varphi$ حيث φ زاوية بين الاشعة الساقطة \vec{k} والمحور \vec{A} ، φ زاوية بين الاشعة المنعكسة \vec{k}' والمحور \vec{A} . فكما هو واضح في الشكل فإن الاشعة المنعكسة عن كل مستويات المنطقة (u, v, w) تكون عناصر مخروط يحوي على الشعاع الساقط \vec{k} . ومقطع هذا المخروط مع الفيلم العمودي على \vec{k} يشكل قطعاً ناقصاً، لذلك تلاحظ بقع لاوي النافذة على الفيلم مشكلة قطوعاً ناقصاً مارة بالبقعة المركزية (بقعة الاشعة الساقطة \vec{k}).

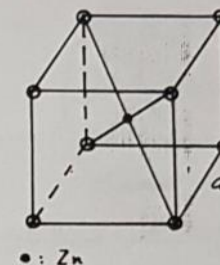
11 - الشبكة مكعبية بسيطة بقاعدة مكونة من أربعة ذرات: Cu_3Au
 $Au(0,0,0), Cu(\frac{1}{2}, \frac{1}{2}, \frac{1}{2}), Cu(\frac{1}{2}, 0, \frac{1}{2}), Cu(0, \frac{1}{2}, \frac{1}{2})$
 محسوبة بالنسبة للمحاور الأساسية المنطبقة على أحرف المكعب. عامل البنية

$$F_{hkl} = f_{Au} + f_{Cu} \left(e^{i\pi(h+k)} + e^{i\pi(h+l)} + e^{i\pi(k+l)} \right)$$

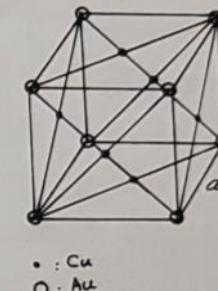
وتعتبر حالتين:

$$\begin{aligned} h, k, l &= \text{مختلطة} & F_{hkl} &= f_{Au} - f_{Cu} \\ h, k, l &= \text{غير مختلطة} & F_{hkl} &= f_{Au} + 3f_{Cu} \end{aligned}$$

11 - وحدة التركيب البلوري المكعب للمركبين $CuZn$ و Cu_3Au في الحالة الطبيعية موضحة في الشكل. والمطلوب حساب نوع الشبكة وعامل البنية لكلا المركبين.



$CuZn$



Cu_3Au

الحل:

شكل تمارين 11

$CuZn$: الشبكة مكعبية بسيطة بقاعدة مكونة من ذرتين: $Zn(0,0,0), Cu(\frac{1}{2}, \frac{1}{2}, \frac{1}{2})$ بالنسبة للمحاور الأساسية المنطبقة على أحرف المكعب:

$$F_{hkl} = \sum_{j=1}^2 f_j e^{i2\pi(hU_j + kV_j + lW_j)} = f_{Cu} + f_{Zn} e^{i\pi(h+k+l)}$$

وتعتبر حالتين:

$$\begin{aligned} h+k+l &= \text{عدد فردي} & F_{hkl} &= f_{Cu} - f_{Zn} \\ h+k+l &= \text{عدد زوجي} & F_{hkl} &= f_{Cu} + f_{Zn} \end{aligned}$$

وحجم الخلية الاولية ((الأساسية)) يساوي :
أشعة الانسحاب للشبكة الم-inverse هي :

$$(1) \quad \begin{aligned} \vec{b}_1 &= 2\pi \frac{\vec{a}_2 \times \vec{a}_3}{\text{~م}} = \frac{2\pi}{\alpha} \vec{c} = 2\pi \text{~\AA}^{-1} \\ \vec{b}_2 &= 2\pi \frac{\vec{a}_3 \times \vec{a}_1}{\text{~م}} = \frac{2\pi}{\beta} \vec{a} = 1\text{~\AA}^{-1} \\ \vec{b}_3 &= 2\pi \frac{\vec{a}_1 \times \vec{a}_2}{\text{~م}} = \frac{2\pi}{\gamma} \vec{b} = 0,5\text{~\AA}^{-1} \end{aligned}$$

وعند الشبكة الم-inverse تعين بالشعاع :

$$(2) \quad \vec{b}_{hk\ell} = 2\pi \left(\frac{1}{h} \vec{a} + \frac{1}{k} \vec{b} + \frac{1}{\ell} \vec{c} \right)$$

عامل البنية للخلية (I) : نعتبر الشبكة (I) كشبكة بسيطة (P) مع قاعدة عقدية متكونة من عقدتين في الموقع (0,0,0) و $(\frac{1}{2}, \frac{1}{2}, \frac{1}{2})$ بالنسبة للاحاديث المنطبقة

على أحرف الخلية الاولية المعينة-المستقيمة . وعامل البنية يساوي :

$$(3) \quad f(\lambda + \mu + \nu)$$

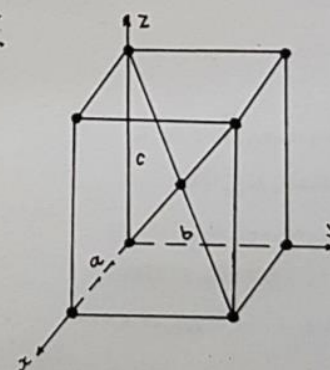
وهذا العامل ينعدم $f_{hk\ell} = 0$ عندما يكون المجموع $\lambda + \mu + \nu = h + k + \ell$ عدد فردي.

الشبكة الم-inverse للشبكة (I) : نرسم شبكة الم-inverse للشبكة (P) على أساس المعادلات (2,1) حيث (λ, μ, ν) هي احداثيات العقدة في القاء الم-inverse . ثم نزيل من هذه الشبكة الم-inverse كل العقد التي لها $\lambda + \mu + \nu = 0$ أي التي لها $\lambda + \mu + \nu = h + k + \ell = 0$ عدد فردي، فتحصل على الشبكة الم-inverse للشبكة (I) . نرسم ونؤشر على العقد التي في المستوى $\vec{b}_1 - \vec{b}_2 = \vec{b}_3$ - احداثياتها (h, k, ℓ) ونؤشر على العقد الملغية بالإشارة +، هذا موضح في الشكل - ب . تأثير العقد يتم بالنسبة للعقدة $(0,0,0)$ المختارة .

12 - شبكة معينة مستقيمة مركزها الجسم (I) أبعاد خليتها الاولية (غير الأساسية) هي $\alpha = \frac{b}{2} = \frac{c}{2} = 3,14 \text{ \AA}^{\circ}$ (وزواياها $\frac{\pi}{2} = \beta = \gamma$) . سقط عليها شعاع أحادي اللون (~\AA^{-1}) عمودياً على المستويات البلورية (230)، التصوير التوضيحي في الشكل (1) .

- (ا) - صم شبكتها الم-inverse مؤسراً على عقدها في المستوى $(\vec{b}_2 - \vec{b}_1)$
- (ب) - أرسم الدائرة الناتجة عن قطع المستوى أعلاه مع كرة أيلوالد المناظرة للشعاع الساقط، وعين قرائن المستوى أو المستويات التي تتحقق شرط براغ، أحسب زاوية براغ .
- (ج) - صم منطقة بربليون الاولى في المستوى أعلاه .

الحل:



شكل تمرين 12 - ا.

(ا) - نعين أولاً الشبكة الم-inverse للشبكة المعينة المستقيمة الأساسية (P) ، ثم نلغي منها العقد التي لها عامل البنية معدوماً، فتحصل على الشبكة الم-inverse للشبكة المعينة المستقيمة الغير أساسية (وهي هنا من النوع I) .

أشعة الانسحاب الأساسية للشبكة (P) تكون منطبقة على أحرف الخلية الاولية (التي تكون أساسية في حالة الشبكة P) المعينة المستقيمة: $\vec{a}_1 = c\vec{k}$, $\vec{a}_2 = b\vec{\ell}$, $\vec{a}_3 = a\vec{\gamma}$.

كما في الشكل (ب). عند ذلك نلاحظ وقوع العقد (200) و (110) على محيط دائرة أيوالد، أي يحدث الانعكاس عن مجموعة المستويات المتوازية (200) ومجموعة المستويات المتوازية (110) ولكن بزاویتين براغیتین مختلفتين:

$$\vec{G} = \vec{k}' - \vec{k} \quad ; \quad \sin \theta_{hkl} = \frac{G_{hkl}}{2k}$$

$$\text{الانعكاس (200) : } \vec{G}_{\bar{x}} = -z \vec{b} = -4 \vec{c}$$

$$\sin \theta_{\bar{z}_{200}} = \frac{4}{2 \times 2,5} = \frac{4}{5} \quad , \quad \theta_{\bar{z}_{200}} = 53,2^\circ$$

الانعکاس (110)

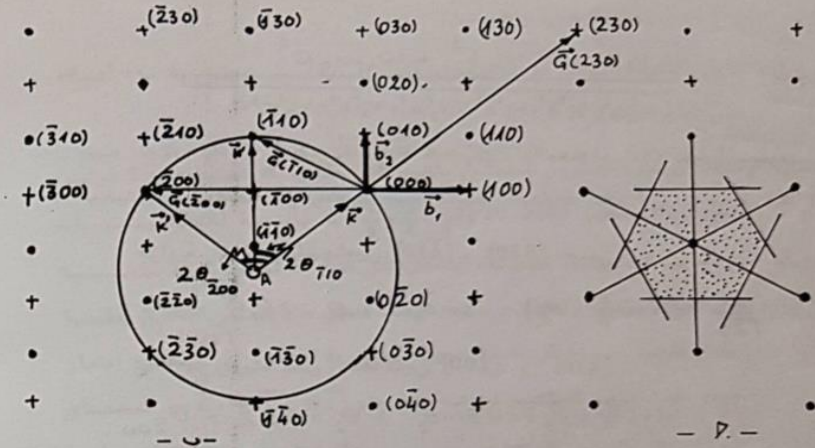
$$\vec{G}_{T_{10}} = -\vec{b}_1 + \vec{b}_2 = -2\vec{i} + \vec{j} \quad , \quad G_{T_{10}} = \sqrt{5}$$

$$\frac{\sin \theta_{T10}}{T_{10}} = \frac{\sqrt{5}}{2 \times 2,5} = 0,448 , \quad \theta_{T10} = 26,5^\circ$$

وحيث أن الانعكاس مرآتي لذلك فإن زاوية سقوط الأشعة على المستويات (200) والمستويات (110) هما على التوالي $53,3^\circ$ و $26,5^\circ$. والشكل (د) يوضح هذه العملية.

العمود على المستويات البلورية :

$$\vec{h}_{(h_{K\sigma})} = \left(\frac{h}{a^2}, \frac{k}{b^2}, \frac{\ell}{c^2} \right)$$



شکل تمرین ۱۲

(ب) شعاع الحزمة الساقطة \vec{G} طوله $2,5 = \frac{2\pi}{\lambda}$ رأسه عند النقطة $(0,0,0)$ التي تعتبر مركزاً للشبكة المعاكسة. الشعاع الساقط عمودي على المستويات المتوازية (230) . وحيث أن الشعاع $(230) \rightarrow G$ - العين في الشبكة المعاكسة - يكون عمودياً على المستوى (230) - وهذه قاعدة عامة - لذلك فالشعاع الساقط \vec{G} يوازي $(230) \rightarrow G$ أو ينطبق عليه بداية الشعاع \vec{A} (النقطة A) تبعد $\lambda / 2$ عن النقطة $(0,0,0)$. والنقطة A تعتبر مركزاً "الدائرة" أيلاد

$$\cos \alpha = \frac{u_1 u_2 \vec{\alpha}_1^2 + v_1 v_2 \vec{\alpha}_2^2 + w_1 w_2 \vec{\alpha}_3^2}{\sqrt{(u_1^2 \vec{\alpha}_1^2 + v_1^2 \vec{\alpha}_2^2 + w_1^2 \vec{\alpha}_3^2)(u_2^2 \vec{\alpha}_1^2 + v_2^2 \vec{\alpha}_2^2 + w_2^2 \vec{\alpha}_3^2)}}$$

حيث $\vec{\alpha}_1 = c \vec{k}$, $\vec{\alpha}_2 = b \vec{j}$, $\vec{\alpha}_3 = a \vec{i}$. والمعادلة أعلاه تصح للمجموعة المعينية المستقيمة (وللمكعب حيث تتبسط العلاقة أعلاه لأن $a = b = c$).

الزاوية α بين الشعاعين $[4\bar{1}0]$ و $[830]$ هي:

$$\cos \alpha_1 = -\frac{2}{\sqrt{20}} = \cos(\frac{\pi}{2} + \theta_1) = -\sin \theta_1 \quad ; \quad \theta_1 = 26,5^\circ = \theta_{\bar{1}10}$$

α_2 - زاوية بين الشعاعين $[\bar{1}00]$ و $[830]$:

$$\cos \alpha_2 = -0,8 = \cos(\frac{\pi}{2} + \theta_2) = -\sin \theta_2 \quad ; \quad \theta_2 = 53,2^\circ = \theta_{\bar{2}00}$$

وهي نفس زوايا براغ الانعكاسية.

(ج) - بالاسلوب الطبيعي نصمم منطقة بربيليون الاولى كما في الشكل - ج - في المستوى $(\vec{b}_2 - \vec{b}_1)$.

حجم كل منطقة بربيليون يساوي :

$$v_k = |\vec{b}_1 \cdot (\vec{b}_2 \wedge \vec{b}_3)| = \frac{(2\pi)^3}{\pi} = \frac{(2\pi)^3}{abc} = 1 \text{ A}^{-3}$$

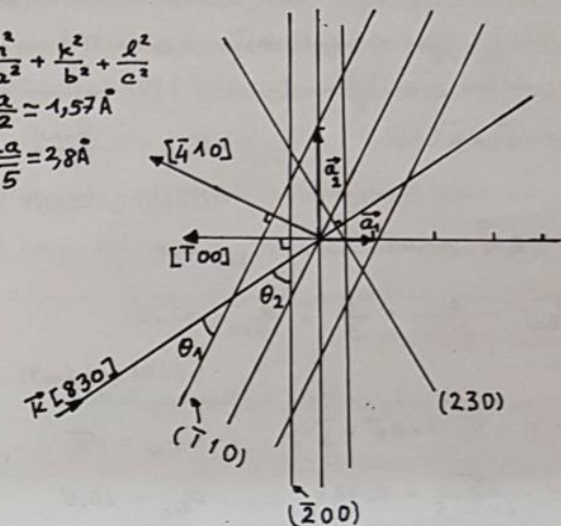
شكل تمرين (12 د)

وهذا يصح للمجموعة المعينية المستقيمة (في حالة الشبكة المكعب حيث $c = b = a$)

فإن الشعاع العمود على المستويات (hkl) هو $(\vec{n}_{hkl}) = (h, k, l)$ إذن ($C = 4a$, $b = 2a$, $c = 2a$)

$$\vec{n}_{(200)} = [\bar{1}00], \quad \vec{n}_{(\bar{1}10)} = [410], \quad \vec{n}_{(230)} = [830]$$

الزاوية α بين الشعاعين $\vec{n}_{(200)} = u_1 \vec{\alpha}_1 + v_1 \vec{\alpha}_2 + w_1 \vec{\alpha}_3$ هي:



13 - اعتبر الماس (الكربون) وأحسب :

- أ - عامل البنية، ب - شروط انعدام عامل البنية، ج - طبق ما جاء أعلاه على بلورة ZnS .

الحل: وحدة التركيب البلوري لالماس مكعب طول ضلعها a تحتوي على 8 ذرات.

نعتبر كل ذرتين في المواقعين $(0,0,0)$ و $(\frac{1}{4}, \frac{1}{4}, \frac{1}{4})$ - بالنسبة للأحداثيات المنطقية على أحرف المكعب - عقدتاً. فنحصل على شبكة الماس بهيئة مكعب f^{CC} فيه طول ضلع المكعب الاصطلاحي a . وعند اعتبار كل عقدتين كقاعدة عقدية لحملنا على شبكة مكعبه بسيطة كل عقدة فيها تقابل 8 ذرات. إذاً نستطيع اعتبار المحاور المنطقية على أحرف المكعب (حرف α) وهي $\alpha_x, \alpha_y, \alpha_z$ كمحاور أساسية ، على أساسها نعين أحداثيات الذرات الثمانية في كل وحدة تركيب بلوري وهي :

$$\begin{aligned} (\chi_1, \chi_2, \chi_3, \chi_4, \chi_5, \chi_6, \chi_7, \chi_8) &= \left(\frac{1}{2}, 0, \frac{1}{2}, 0, \frac{1}{2}, 0, \frac{1}{2}, 0 \right) \\ &= (0, \frac{1}{2}, \frac{1}{2}, 0, 0, 0, 0, 0) \\ &= (\frac{1}{2}, \frac{1}{2}, 0, 0, 0, 0, 0, 0) \\ &= (\frac{1}{4}, \frac{1}{4}, \frac{1}{4}, \frac{1}{4}, \frac{3}{4}, \frac{3}{4}, \frac{3}{4}, \frac{3}{4}) \\ &= (\frac{1}{4}, \frac{1}{4}, \frac{1}{4}, \frac{3}{4}, \frac{1}{4}, \frac{3}{4}, \frac{1}{4}, \frac{3}{4}) \end{aligned}$$

وباستخدام تعريف عامل البنية واعتبار كل الذرات متماثلة (لها نفس عامل التشتيت الذري f) نجد:

$$(1) F_{hkl} = f \left(1 + e^{i\pi(h+k)} + e^{i\pi(h+l)} + e^{i\pi(k+l)} \right) + f e^{i\frac{\pi}{2}(h+k+l)} \left(1 + e^{i\pi(h+k)} + e^{i\pi(h+l)} + e^{i\pi(k+l)} \right)$$

حيث استخرجنا العامل المشترك $(1 + e^{i\frac{\pi}{2}(h+k+l)})$. اذن :

$$(2) F_{hkl} = f \left(1 + e^{i\pi(h+k)} + e^{i\pi(h+l)} + e^{i\pi(k+l)} \right)$$

وهو المطلوب (1)

ب - نميز بصفة f^{CC} حالتين:

$$(h, k, l) - F_{hkl} = 0 \quad (h, k, l) \text{ أعداد مختلطة}$$

$$(h, k, l) - F_{hkl} = 4f \quad (h, k, l) \text{ أعداد غير مختلطة}$$

لهذا لا توجد انعكاسات مثل 110 و 120 - الخ.

في حالة القرائن الغير مختلطة، تناسب شدة الاشعة المنعكسة مع $|F_{hkl}|^2$

$$(3) |F_{hkl}|^2 = F_{hkl} F_{hkl}^* = 16f^2 \left(2 + e^{-i\frac{\pi}{2}(h+k+l)} + e^{-i\frac{\pi}{2}(h+k+l)} \right)$$

اذن :

$$|F_{hkl}|^2 = 32f^2 \left(1 + \cos \frac{\pi}{2}(h+k+l) \right)$$

والآن نميز الحالات التالية (تبقي h, k, l غير مختلطة):

1 - كل القرائن زوجية، وهنا نميز حالتين:

1 - عندما : $h+k+l = 4n$ حيث n - عدد صحيح

$$|F|^2 = 32f^2(1 + \cos 2\pi n) = 64f^2$$

2 - عندما : $h+k+l = 2(2n+1)$ ، عندئذ:

$$|F|^2 = 0$$

وحسبيما جاء لا يوجد انعكاس 222

* ولكن هذا الانعكاس موجود عملياً، لزيادة تركيز الالكترونات بين ذرات الكربون المتجاورة

14 - احسب عامل بنية معدن الزنك

الحل: التركيب البلوري للزنك Zn هو سداسي متراص (hexagonal close-packed) وشبكته سداسية بسيطة قاعدتها مكونة من ذرتين في الموضع $(0,0,0)$ و $(\frac{1}{2}, \frac{1}{2}, \frac{1}{3})$ وذلك بالنسبة للمحاور الأساسية للتركيب السداسي. ومن تعريف عامل البنية نجد:

$$f_{hkl} = f \left(1 + e^{i2\pi \left(\frac{h+2k}{3} + \frac{l}{2} \right)} \right)$$

وشهدة الانعكاس السيني يتناصف مع f_{hkl}

$$|F_{hkl}|^2 = f_{hkl} \bar{f}_{hkl} = 4 f^2 \cos^2 \pi \left(\frac{h+2k}{3} + \frac{l}{2} \right)$$

حيث نميز أربعة حالات (h - عدد صحيح):

$$h+2k=3n \quad f_{hkl}^2 = 4$$

$$h+2k=3n+l \quad f_{hkl}^2 = 0$$

$$h+2k=3n+1+l \quad f_{hkl}^2 = f^2$$

$$h+2k=3n+1+l \quad f_{hkl}^2 = 3f^2$$

حيث استخدمنا قوانين المثلثات في حساب جيب تمام جمع الزوايا.

لذلك فالتركيب السداسي المتراص يتميز باختفاء الانعكاسات التي لها $h+k+l=6n-3k=3n$ أو $h+2k=3n$ - عدد فردي وأما $h+k+l=2(2n+1)$ حيث n' - عدد صحيح أيضا.

ب - كل القرائن فردية:

$$|F_{hkl}|^2 = 32f^2$$

ج - في حالة ZnS حيث تشغله الذرات المواقع التالية:

$$Zn : (0,0,0), (\frac{1}{2}, \frac{1}{2}, 0), (\frac{1}{2}, 0, \frac{1}{2}), (0, \frac{1}{2}, \frac{1}{2})$$

$$S : (\frac{1}{4}, \frac{1}{4}, \frac{1}{4}), (\frac{1}{4}, \frac{3}{4}, \frac{3}{4}), (\frac{3}{4}, \frac{1}{4}, \frac{3}{4}), (\frac{3}{4}, \frac{3}{4}, \frac{1}{4})$$

فتحول المعادلة (2) إلى الصورة التالية:

$$F_{hkl} = \left(1 + e^{i\pi(k+l)} + e^{i\pi(h+l)} + e^{i\pi(h+k)} \right) (f_{2n} + f_s e^{i\frac{\pi}{2}(h+k+l)})$$

ومنه:

$$|F|^2 = 16 \left(f_{2n}^2 + f_s^2 + 2f_{2n}f_s \cos \frac{\pi}{2}(h+k+l) \right)$$

حيث اعتبرنا القرائن غير مختلطة. ونميز 4 حالات:

$$F^2 = 0$$

ب - القرائن غير مختلطة

(1) كل القرائن فردية:

$$|F|^2 = 16 (f_{2n}^2 + f_s^2)$$

(2) كل القرائن زوجية، نميز حالتين:

$$h+k+l=4n$$

$$|F|^2 = 16 (f_{2n} + f_s)^2$$

$$h+k+l=2(2n+1)$$

$$|F|^2 = 16 (f_{2n} - f_s)^2$$

15 - مخطط انبعاج مسحوق ملح الطعام: استعملت أشعة سينية أحادية اللون $\lambda = 1,542 \text{ Å}$ للحصول على مخطط الانبعاج. والنتائج العملية مدرجة في العمودين 14، 2,1 للجدول الرئيسي: القيمة 2θ تفاصيلها مباشرةً، والقيم $\frac{1}{d^2} = \frac{45,000}{\lambda^2}$ تحسب بمعرفة d و λ . والشدة المكاملة تحسب من المساحة تحت قم مخطط الانبعاج المأخوذ بطريقة العداد - الراسم. وقد أدرجت النتائج العملية للشدة النسبية للخطوط السينية، أي نسبة الشدة المكاملة لخط سيني معين إلى الشدة المكاملة لأعظم قمة في المخطط، وتحسب كنسبة مئوية (نرمز لها بالرمز α - عملي). والمطلوب معرفة ثابت الشبكة ومقارنة الشدة النسبية عملياً ونظرياً.

الحل: نقوم أولاً باملاء العمود الثالث للجدول - فطالما أن العينة - المسحوق مكعب التركيب البلوري لذلك نفترض بالقاسم المشترك يساوي:

$$0,094 \quad \text{أو} \quad \frac{0,094}{2} = 0,047 \quad \text{أو} \quad \frac{0,094}{3} = 0,0313$$

وبعد "التجريب" نختار القاسم المشترك $0,0313$ ، وعلى أساسه نكتب أقرب أعداد صحيحة 8 ونجولها في العمود الثالث.

على أساس العمود الثالث نُوشِر على قم مخطط الانبعاج ونجولها في العمود 4

15 - أحسب عامل بنية ملح الطعام:

الحل: وحدة التركيب البلوري لملح الطعام مكعبة طول ضلعها a تحتوي على 8 ذرات: أربعة ذرات f_{cl} تشغل الموضع: $(0, \frac{1}{2}, \frac{1}{2}), (\frac{1}{2}, 0, \frac{1}{2}), (\frac{1}{2}, \frac{1}{2}, 0)$ ، وأربعة ذرات f_{Na} تشغل الموضع:

$(0, 0, 0), (\frac{1}{2}, 0, 0), (0, \frac{1}{2}, 0), (0, 0, \frac{1}{2})$. وذلك محسوبة بالنسبة لأحرف وحدة التركيب - المكعب. تعتبر كل ذرتين في الموقعين $(0, 0, 0)$ و $(\frac{1}{2}, \frac{1}{2}, \frac{1}{2})$ بالنسبة لأحداثيات أحرف المكعب - عقداً. فنحصل على شبكة ملح الطعام بهيئة مكعب

f_{cc} فيه طول ضلع المكعب الاصطلاحي (الخلية الأولية غير الأساسية) a . وعند اعتبار كل عقدتين كقاعدة عقدية لحصلنا على شبكة مكعب بسيطة كل عقدة فيها تقابل 8 ذرات، إذاً نستطيع اعتبار المحاور المت寘بة على أحرف المكعب (الذى هو في الأساس وحدة التركيب البلوري) وهي h, k, l كمحاور أساسية على أساسها نعين (وقد عينا أعلاه) أحداثيات الذرات الثانية.

وبتطبيق التعريف الأساسي حيث $S = 8$ نجد:

$$(1) \quad F_{hkl} = f_{cl} \left(1 + e^{i\pi(h+k)} + e^{i\pi(h+l)} + e^{i\pi(k+l)} \right) + \\ + f_{Na} \left(e^{i\pi(h+k+l)} + e^{i\pi h} + e^{i\pi k} + e^{i\pi l} \right).$$

ونميز هنا ثلاثة حالات:

$$h, k, l : F_{hkl} = 4 (f_{cl} + f_{Na}) \quad \text{- كلها زوجية}$$

$$h, k, l : F_{hkl} = 4 (f_{cl} - f_{Na}) \quad \text{- كلها فردية}$$

$$h, k, l : F_{hkl} = 0 \quad \text{- مختلطة}$$

بمساعدة العود 2 و 3 واستخدام المعادلة :

$$\frac{45 \sin^2 \theta}{\lambda^2} = \frac{h^2 + k^2 + l^2}{a^2} = \frac{N}{a^2}$$

نحسب قيم "a" . ونلاحظ

(1) اختفاء القرائن (l, k, h) المختلطة مما يبين أن ملح الطعام ذو

بلورات مكعبة مركزية السطوح

(ب) أدق قيم للثابت a تحسب عندما تكون زاوية الانعراج كبيرة ، لذلك نختار

$$\text{القيمة } a = 5,64$$

(ج) عدد ذرات Na و Cl في الخلية الاولية المكعبة يحسب من معرفة

الكثافة (ρ) ، عدد أفراد (N_A) ، الكتلة المولية لملح الطعام (M) . حس

العلاقة التالية :

$$a^3 = n \frac{M}{N_A} \quad \text{و} \quad n = \frac{N_A \rho a^3}{M} = \text{كتلة الخلية الاولية}$$

$$n = \frac{0,602 \times 10^{24} \times 2,17 \times (5,64 \times 10^{-8})^3}{(23,0 + 35,5)} = 4,00$$

أي توجد أربعة "جزيئات" NaCl . توجد 4 ذرات Na و 4 ذرات Cl ، في الخلية الاولية . ومن معلوماتنا عن التركيب fcc ، يجب أن تشغل الذرات Cl (أو Na) زوايا المكعب بينما تشغل الذرات Na (أو Cl) منتصفات وجوه المكعب . وعلى هذا الأساس نحسب الكمية F_{hkl}^2 (أمثلة السؤال السابق) حيث يتبيّن أن :

$$\text{لـ } k=0 \text{ - روجية} \quad F_{hkl}^2 = 4 (f_{\text{Cl}} + f_{\text{Na}})^2$$

$$\text{لـ } k \neq 0 \text{ - فردية} \quad F_{hkl}^2 = 4 (f_{\text{Cl}} - f_{\text{Na}})^2$$

$2\theta^\circ$	$\frac{4 \sin^2 \theta}{\lambda^2} = h^2 + k^2 + l^2$	$a(\text{\AA})$	$\frac{\sin \theta}{\lambda}$	f_{Na}	f_{Cl}	F_{hkl}^2	M_{Na}	M_{Cl}	(LP)	$\frac{F_{hkl}^2 M_{\text{Na}}}{1000}$	$\frac{F_{hkl}^2 M_{\text{Cl}}}{1000}$	$\frac{\text{نطري}}{\% \text{Irrel}}$	$\frac{\text{نطري}}{\% \text{Irrel}}$
1	2	3	4	5	6	7	8	9	10	11	12	13	14
27,3	0,0940	3	11,1	5,65	0,154	8,90	13,50	33,8	8	33,5	9,1	8,6	8,6
31,7	0,1255	4	20,0	5,65	0,177	8,70	12,70	73,30	6	24,0	10,57*	100	100
45,5	0,2516	8	22,0	5,64	0,251	7,65	10,50	52,80	12	10,9	6,90	65,3	5
53,9	0,3455	11	31,1	5,64	0,294	7,00	9,60	10,7	24	7,4	1,9	1,8	1,8
56,5	0,3768	12	22,2	5,64	0,307	6,75	9,35	41,50	8	6,6	21,9	20,7	1
66,3	0,5030	16	40,0	5,64	0,354	6,10	8,65	34,90	6	4,7	9,8	9,2	9,2
73,2	0,5980	19	33,1	5,64	0,386	5,65	8,30	11,2	24	3,8	10	0,94	1
75,4	0,6290	20	42,0	5,64	0,396	5,50	8,20	30,10	24	3,6	26,0	24,5	1
84,1	0,7550	24	42,2	5,64	0,434	5,05	7,85	26,60	24	3,05	19,5	18,4	1
90,6	0,8490	27	$\{ \begin{matrix} 5,11 \\ 3,33 \end{matrix} \}$	5,64	0,461	4,75	7,60	13,0 $\{ \begin{matrix} 2,4 \\ 8 \end{matrix} \}$	2,8	1,2	1,1	1,1	1,1

معلومات
علمية

حسابات نظرية

وعلى أساس هذه المعادلة ندرج القيم النظرية للشدة النسبية في العمود (13).
ومن مقارنة العمودين 13 و 14 يلاحظ الاختلاف بين الشدة النسبية
المحسوبة نظرياً والمقاسة عملياً. وهذا الاختلاف يعزى إلى اهتمامنا لعامل ديباي -
والر المعتمد على $\frac{f_{hkl}}{f_{200}}$ والذي يجب أن يتضمن اختلاف التذبذب الحراري
للذرتيين Cl و Cl_2 .

قيمة $\frac{\sin \theta}{\lambda} f_{hkl}$ ، كدوال للكمية $\frac{\sin \theta}{\lambda}$ تؤخذ من
الجدول.

لذلك نجدول في العمود (6) قيمة $\frac{\sin \theta}{\lambda}$ العملية ، وفي العمودين السابعة
والثامن نجدول قيمة f_{hkl} و f_{200} كدالة للكمية $\frac{\sin \theta}{\lambda}$ من جداول الأشعة السينية.
وعلى أساس هذه المعلومات نحسب عامل البنية $\frac{f_{hkl}^2}{f_{200}^2}$ ونجدولها في العمود (9).

ندرج في العمود (10) قيمة عامل التعديبة المعروفة سلفاً لكل hkl :
عدد طرق تبديل مواقع الكيمايات A^+ و B^- و B^+ بالنسبة للبلورات المكعبية.

ندرج في العمود (11) قيمة L_P لوزنتر - الاستقطابي :

$$L_P = \frac{1 + \cos^2 2\theta}{\sin \theta \sin 2\theta}$$

وهذه القيم تحسب بمعرفة θ .

عند حساب الشدة المكاملة للخطوط السينية نترك عامل ديباي - والر الحراري
 $\frac{285\text{م}^2/\text{م}^2}{e^{-2\pi\theta/\lambda}}$
المتساوي إلى $C e^{-2\pi\theta/\lambda}$ ، وذلك لجهلنا
بالثوابت B ، ضمن معطيات السؤال (هذه الثوابت تحسب عملياً عادة). ونقول
أن الشدة المكاملة لأي خط تناسب مع الكمية : $I_{hkl}^2 F_{hkl}^2 M_{hkl}$.
لذلك ندرج القيم $F_{hkl}^2 M_{hkl}$ في العمود الثاني عشر.

وأ لأن نختار أعظم قيمة $[F_{hkl}^2 M_{hkl}]_{\max}$ - حيث نجدها للخط
200، ونحسب الشدة النسبية بالنسبة لهذا الخط :

$$I_{rel} = I_{hkl}^{ref} = \frac{I_{hkl}}{I_{200}} = \frac{F_{hkl}^2 M_{hkl} (LP)_{hkl}}{F_{200}^2 M_{200} (LP)_{200}} \times 100 \%$$

	θ_{hkl}^0	$\sin \theta_{hkl}$	$\frac{4 \sin^2 \theta_{hkl}}{\lambda^2}$	N	(hkl)	$\alpha(\text{deg})$
1	22,1	0,360	0,2177	2	(110)	3,025
2	30,5	0,507	0,4318	4	(200)	3,034
3	38,5	0,622	0,6499	6	(211)	3,03
4	46	0,719	0,8685	8	(220)	3,028
5	53,5	0,804	1,0859	10	(310)	3,029
6	61,7	0,880	1,3009	12	(222)	3,029
7	72	0,951	1,5193	14	(321)	3,029

لتجرب الحلقة الخامسة:

$$\frac{1,0859}{0,2177} = 4,98 \quad , \quad \frac{1,0859}{0,1088} = 9,97$$

ستمر بالحسابات فنأخذ الحلقة السابعة لنجد:

$$\frac{1,5193}{0,2177} = 6,97 \quad , \quad \frac{1,5193}{0,1088} = 12,95$$

وهكذا يتضح ترك القاسم المشترك 0,2177 لأنه يؤدي إلى ظهور 7 المجموع للشبكات المكعبية. لذلك فالقاسم المشترك هو 0,1088 ، تجري عملية قسمة عناصر العمود الرابع على هذا القاسم المشترك ونكتب في العمود الخامس أقرب عدد صحيح لنتائج القسمة. ومن الجداول الرابطة لعلاقة $(\lambda + k + h)^2 = N$ مع (hkl) نؤشر على الحلقات وندرجها في العمود السادس. عندئذ نحسب قيم α باستخدام المعادلة (1) وندرجها في العمود السابع. ومن الجدول يتبيّن:

(1) شبكة الفاناديوم هي مكعبa bcc - بسبب وجود الانعكاسات ذات القراءن $k + h = \text{عدد زوجي}$.

(2) ثابت الشبكة هو 3,029 لأن الزوايا الكبيرة تعطى نتائج أدق.

17- نريد قياس ثابت الشبكة المكعبة (2) للفاناديوم (7). فاستخدمنا الأشعة السينية $\lambda = 1,54\text{\AA}$ لإجراء انبعاث ديفاً شر وحصلنا على المعلومات التالية :

	رقم الحلقة	1	2	3	4	5	6	7
θ_{hkl}^0	زاوية براغ	22,1	30,5	38,5	46	53,5	61,7	72

الحل:

بما أن شبكة الفاناديوم مكعبة لذلك يكتب قانون براغ بالصورة التالية:

$$(1) \quad \frac{4 \sin^2 \theta_{hkl}}{\lambda^2} = \frac{h^2 + k^2 + l^2}{N}$$

حيث α - ثابت الشبكة المطلوب حسابه . ندون حساباتنا في الجدول أدناه . المعلومات العملية والمحضوبة منها مباشرة تكون في العمود الاول الى الرابع .

نبحث عن قاسم مشترك (قيمة $\frac{1}{\alpha}$) الذي عندما نقسم به كل عناصر العمود الثالث ظهر لدينا أرقام قريبة جداً من أرقام صحيحة قليلة .

والقاسم المشترك للمجموعة المكعبة يكون أما 0,2177 (الذي للحلقة الاولى) أو نصفه 0,1088 أو ثلاثة 0,0725 .

نجري عملية القسمة (ال اختيار أحد القواسم) للحلقة الرابعة لنجد:

$$0,8685 \quad , \quad \frac{0,8685}{0,2177} = 3,98 \quad , \quad \frac{0,8685}{0,1088} = 11,96$$

ويتحقق أن القاسم المشترك الملاكم أما الاول او الثاني ،

العمود 5، 6 ثم نجدول قيم α والتركيب FCC
 $\Delta\lambda = 2\sin\theta \Delta d + 2d \Delta \sin\theta$ ، $\lambda = 2d \sin\theta$

$$\text{وبالقسمة على } \lambda \text{ نجد:}$$

$$\frac{\Delta d}{d} = \frac{\Delta\lambda}{\lambda} - \cos\theta \Delta\theta \text{ (rad.)}$$

ونهمل $\frac{\lambda}{d}$ على أساس أن الأشعة المستخدمة أحادية اللون تماماً.

$$\text{وحيث أن } \frac{a}{(4\pi^2 R^2)^{1/2}} = d \text{ إذن } \frac{\Delta a}{a} = \frac{\Delta d}{d}, \text{ إذن:}$$

$$|\frac{\Delta a}{a}| = |\cos\theta| \Delta\theta \text{ (rad.)}$$

وهكذا دقة قياس a تزداد بزيادة θ (أي أن زيادة θ تقلل Δa). لذلك نختار قيمة a من الزوايا الكبيرة ($3,62 \text{ \AA}$).

والآن نقدر دقة قياس a (Δa): لدينا $\theta = \frac{3}{8} R^\circ$ إذن $R^\circ = \frac{3}{8} \theta^\circ$

نقدر $\Delta R \approx 0,5 \text{ mm}$ إذن $\Delta\theta \approx 0,187^\circ$ وتساوي ($0,0033 \text{ rad}$). نضع

$$1 \rightarrow 1 \text{ نستنتج أن:}$$

$$\Delta a \approx 3,62 \times 0,0033 \approx 0,01 \text{ \AA}$$

"الخطأ" أو الدقة أعلاه ناتجة عن عدم دقة R أو عدم دقة القياس النهائي على الفيلم، هذا بفرضنا أن أسلوب اجراء التجربة مثالي. ولكن الواقع يبين أن هناك عدم دقة في وضع الفيلم تماماً ملمساً للحجرة الاسطوانية:

فليدينا من تجربة ديبيا: $\frac{R}{D/2} = 4\theta$ (θ - راد) ومنه:

$$\Delta\theta = \left(\frac{\Delta R}{R} - \frac{\Delta(D/2)}{D/2} \right) \frac{R}{4(D/2)} \text{ أو } \frac{\Delta\theta}{R} = \frac{\Delta R}{R} - \frac{\Delta(D/2)}{D/2}$$

حيث $\frac{\Delta R}{R}$ - ناتج عن الخطأ في قياس R و $\frac{\Delta(D/2)}{D/2}$ ناتج عن عدم دقة وضع الفيلم في الاسطوانة

18 - أجريت تجربة انعراج ديبيا - شر لمحض مكعب التركيب البلوري.
 وكانت قطر دوائر مخطط الانعراج (R) تساوي بالملتر:

57,7 67,4 99 120 126,6 155,8 182 192,9

طول موجة الاشعة المستخدمة λ يساوي $1,54 \text{ \AA}$ ومحيط حجرة ديبيا 240 ملم.

(أ) ما هو نوع الشبكة، أحسب ثابتها.

(ب) برهن أن أفضل دوائر انعراج لقياس ثابت الشبكة a هي الدوائر ذات زاوية الانعراج القريبة من 90° . عندئذ قدر دقة حساب a بالنسبة للزاوية θ .

الحل:

لدينا من هندسة حجرة ديبيا - شر:

$$\theta^\circ = \frac{r}{D} \frac{180}{\pi} = \frac{R}{D} \frac{90}{\pi} = \frac{3}{8} R \text{ (rad.)}$$

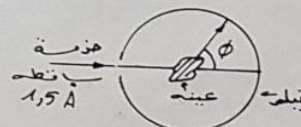
حيث ($r = 240 \text{ mm}$) ، D - قطر الحجرة، R - قطر دائرة الانعراج. وعلى

أساس المعادلة أعلاه نجدول الأعمدة 3,2,1 في الجدول التالي:

$R(\text{mm})$	$\theta^\circ_{\text{inkel}}$	$\sin\theta_{\text{inkel}}$	$\frac{4\sin\theta_{\text{inkel}}}{\lambda^2}$	N	(hkl)	$a(\text{\AA})$
1: 57,7	21,63	0,368	0,2283	3	(111)	3,61
2: 67,4	25,27	0,427	0,3074	4	(200)	3,61
3: 99,0	37,12	0,603	0,613	8	(220)	3,61
4: 120,0	45,00	0,707	0,8427	11	(311)	3,61
5: 126,6	47,47	0,737	0,9165	12	(222)	3,62
6: 155,8	58,43	0,852	1,2238	16	(400)	3,62
7: 182,0	68,30	0,928	1,4544	19	(331)	3,62
8: 192,9	72,33	0,952	1,528	20	(420)	3,62

القاسم المشترك لعنابر العمود 4 هو $\frac{0,2283}{3} = 0,076$ والذي على أساسه نملاً

19 - مسحوق مخلوط من ثلاثة عناصر، أحد هذه العناصر مكعب fcc والآخر مكعب bcc والآخر الماسي التركيب. وعند اجراء تجربة الانتعاج بطريقة ديفي - شرر ميزت أولى حلقات الانتعاج بأسادها الى العناصر التي عكستها بالصورة التالية:



شكل تمرين 19

ϕ	A	B	C
	42,2°	28,8°	42,8°
	49,2°	41,0°	73,2°
	72,0°	50,8°	89,0°
	87,3°	59,6°	115,0°

(أ) ما هو التركيب البلوري للعناصر A ، B ، C .

(ب) ما هو طول حرف الخلية المكعبة الاصطلاحية (h).

(ج) اذا استبدلنا العنصر الماسي بالمادة S_2 التي لها نفس ثابت الشبكة a للعنصر الماسي. فما هي زوايا الانعكاسات الاربعة الاولى.

1 - كل العناصر مكعب التركيب، لذلك تستفيد من العلاقة التالية:

$$(1) \quad \frac{4 \sin^2 \theta}{\left(\frac{1}{a^2} \lambda^2\right)} = h^2 + k^2 + l^2 = N$$

حيث الكمية $\left(\frac{1}{a^2}\right)$ - القاسم المشترك الذي نبحث عنه .

العنصر A: النتائج العملية مدرجة في الجدول التالي، في الاعمدة الاربعة الاولى:

وعلى العموم نستنتج أن $\theta \rightarrow 0 \rightarrow \frac{\pi}{2} \rightarrow \Delta a \rightarrow 0$.

وهنا افترضنا أن العينة موضوعة في مركز الحجرة الاسطوانية تماما. وعموما وجدنا أن :

$$\frac{\Delta a}{a} = - \cot \theta \left(\frac{\Delta R}{R} - \frac{\Delta (D/2)}{D/2} \right) \frac{R}{4(D/2)}$$

العنصر B : النتائج العلمية مدرجة في الأعمدة الأربع الأولى للجدول التالي:

$2\theta_{hkl}^{\circ}$	θ_{hkl}°	$\sin \theta_{hkl}$	$\frac{4}{\lambda^2} \sin^2 \theta_{hkl}$	N	(hkl)	a
28,8	14,4	0,2486	0,1094	2	(110)	4,267
41,0	20,5	0,350	0,2168	4	(200)	4,283
50,8	25,4	0,4289	0,3256	6	(211)	4,283
59,6	29,8	0,4969	0,4370	8	(220)	4,268

والآن نبحث عن القاسم المشترك الذي هو:

$$0,0364 = \frac{0,1094}{3} \text{ أو } 0,0547 = \frac{0,1094}{2} \text{ أما } \\ \text{إذا:}$$

$$\frac{0,2168}{0,0547} = 3,96 \quad \frac{0,3256}{0,0547} = 5,95 \quad \text{و} \quad \frac{0,437}{0,0547} = 7,98$$

$$\frac{0,2168}{0,0364} = 5,95 \quad \frac{0,3256}{0,0364} = 8,94 \quad \text{و} \quad \frac{0,437}{0,0364} = 12,0$$

لا نستعمل القاسم 0,0364 لأنه يؤدي إلى ظهور عدد صحيح مقداره 9 = N وهو فقط يصح للمكعبه البسيطة . لذلك فالقاسم المشترك هو 0,0547 . ندرج الأعداد الصحيحة في العمود (5) . وحيث أن $h^2 + k^2 + l^2 = N$ لذلك نستنتج تأشيرات الحلقات الاربعة الاولى للمسحوق B . ويبعد اختفاء الانعكاسات التي لها $h+k+l=6$ عدد فردي . معنى هذا أن تركيب هو bcc . ونستعمل المعادلة (1) للحصول على قيمة a التي معدلها $4,28 \text{ \AA}$

A :	$2\theta_{hkl}^{\circ}$	θ_{hkl}°	$\sin \theta_{hkl}$	$\frac{4}{\lambda^2} \sin^2 \theta_{hkl}$	N	hkl	$a(\text{\AA})$
	42,2	21,1	0,360	0,22939	3	111	3,616
	49,2	24,6	0,4162	0,3066	4	200	3,612
	72,0	36,0	0,5878	0,6115	8	220	3,617
	87,3	43,65	0,690	0,8426	11	311	3,614
	$4/\lambda^2 = 1,77$						

والآن نبحث عن القاسم المشترك . لا يوجد في المخلوط مادة مكعبه بسيطة لذلك

فالعامل المشترك هو

$$\text{اما } 0,07646 = \frac{0,22939}{3} \text{ او } 0,11469 = \frac{0,22939}{2}$$

إذا:

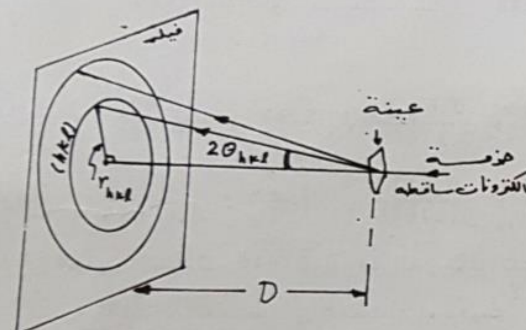
$$\frac{0,3066}{0,11469} = 2,67 \quad , \quad \frac{0,6115}{0,11469} = 5,33 \quad \text{و} \quad \frac{0,8426}{0,11469} = 7,34$$

$$\frac{0,3066}{0,07646} = 4,00 \quad \text{و} \quad \frac{0,6115}{0,07646} = 7,99 \quad \text{و} \quad \frac{0,8426}{0,07646} = 11,02$$

حيث يلاحظ أن القاسم المشترك 0,07646 هو الذي يأتي بنتائج أقرب إلى العدد الصحيح N . ندرج الأعداد الصحيحة في العمود (5) . وحيث $h^2 + k^2 + l^2 = N$ تستخرج تأشيرات الحلقات الاربعة الاولى للمسحوق A . ويبعد اختفاء الانعكاسات التي لها $h+k+l=6$ مختلطة . معنى هذا أن العنصر A هو fcc . نعيد استخدام المعادلة (1) لاستخراج قيمة a ، وندرجها في آخر عمود . والقيمة الحقيقة للثابت a تستخرج من الانعكاسات ذات الزوايا الكبيرة أو من المعدل $A^{3,615}$

20 - عينة على هيئة صفيحة رقيقة جداً من السليكون ($a = 5,34 \text{ \AA}$). وهذه العينة متعددة البلايرات. سقطت عليها حزمة الكترونية متحركة تحت فرق جهد 30 كيلو فولت. فاستلم مخطط انعراج الالكترونات على فيلم يبعد مسافة $D = 30 \text{ cm}$ عن العينة. وكان الفيلم عمودياً على الحزمة الساقطة فظهر مخطط انعراج عبارة عن دوائر متراكبة. ما هي أضاف قطرار (in mm) الدوائر الستة الاولى، أشرها.

الحل:



شكل تمرن 20

طاقة الالكترونات الساقطة 30 كيلو الكترون - فولت. وطول الموجة المترافق مع حركة الالكترونات تساوي:

$$\lambda = \frac{12,26}{\sqrt{30 \times 10^3}} \approx 0,07 \text{ \AA}$$

والسليكون ذو تركيب الماسي حيث تختلف الانعكاسات عن المستويات التي لها:

العنصر C: نجري نفس الأسلوب السابق فنجد أن القاسم المشترك هو $\frac{0,2355}{3} = 0,078$ وعليه نكتب الجدول التالي:

C:	$2\theta_{hkl}$	θ_{hkl}	$\sin \theta_{hkl}$	$\frac{4}{\lambda^2} \sin^2 \theta_{hkl}$	\sim	(hkl)	$a(\text{\AA})$
	42,8	21,4	0,3648	0,2355	3	(111)	3,571
	73,2	36,6	0,5962	0,629	8	(220)	3,571
	89,0	44,5	0,700	0,867	11	(311)	3,571
	115,0	57,5	0,8433	1,258	16	(400)	3,566

القيمة العامة للثابت $a = 3,57 \text{ \AA}$. والتركيب الماسي.

ج - من ملاحظة عامل البنية نستنتج أن الانعكاسات المنوعة هي:
للماسية عندما تكون القرائن مختلطة.

عندما تكون كلها زوجية بحيث أن $h + k + l = 4n + 2$

ZnS : عندما تكون القرائن مختلطة فقط . وترتيب الانعكاسات هو:

ZnS : (111), (220), (311), (400) : الماس

ZnS : (111), (200), (220), (311), (222), (400)

$\sim = 3 \quad 4 \quad 8 \quad 11 \quad 12 \quad 16$

لذلك فالانعكاسات الاربعة الاولى للكبريتيد الزنك ZnS هي (111), (200),

(220), (311). وحيث أن $a = 3,57 \text{ \AA} = \lambda = 1,5 \text{ \AA}$. اذن الانعكاسات الاربعة

الاولى للمركب ZnS هي: $\sin \theta_{hkl} = \frac{\lambda(h^2 + k^2 + l^2)^{1/2}}{2a}$

$$\begin{array}{lllll} \theta_{hkl} & \sim & 21,4 & 24,8 & 36,6 \\ \sim & & 3 & 4 & 8 \\ (hkl) & & (111) & (200) & (220) \end{array} \quad \begin{array}{l} 44,5 \\ 11 \\ (311) \end{array}$$

- قرائين مختلطة : (/)

- كل القرائين زوجية تحقق العلاقة $h+k+l = 4n + 2$. (/) : $N(hkl) = h^2 + k^2 + l^2$

لذلك ستوش على الانعكاسات الممتوحة حسب زيادة

$$N(100) = 1 \quad N(110) = 2 \quad N(111) = 3 \quad N(200) = 4$$

$$N(210) = 5 \quad N(211) = 6 \quad N(220) = 8 \quad N(221) = 9$$

$$N(320) = 10 \quad N(311) = 11 \quad N(322) = 12 \quad N(320) = 13$$

$$N(321) = 14 \quad N(400) = 16 \quad N(410) = 17 \quad N(411) = 18$$

$$N(331) = 19 \quad N(420) = 20 \quad N(421) = 21 \quad N(332) = 22$$

$$N(422) = 24$$

وباستعمال العلاقة :

$$2d_{hkl} \sin \theta_{hkl} = \lambda \quad d_{hkl} = \frac{\lambda}{\sqrt{h^2 + k^2 + l^2}}$$

ستخرج قيم $\sin \theta_{hkl}$ وندرجها في الجدول التالي حسب زيادة N :

قرائين الانعكاس	$d_{hkl} (\text{\AA})$	$\sin \theta_{hkl}$	$\frac{2d_{hkl}}{\lambda}$	$\tan \theta_{hkl}$
(111)	3,14	0,0111	6,65	
(220)	1,92	0,0182	10,9	
(311)	1,64	0,0213	12,75	
(400)	1,36	0,0256	15,4	
(331)	1,25	0,0279	16,7	
(422)	1,11	0,0314	18,8	

حيث d_{hkl} - نصف قطر حلقة الانعراج ويساوي من الشكل :

$$\tan \theta_{hkl} = \frac{v_{hkl}}{D}$$

